

รหัสโครงการ SUT7-711-48-24-67



รายงานการวิจัย

วงจรกรองกำลังแบบแอคทีฟเบนใหม่ที่ใช้การตรวจวัดอาร์มอนิก ในเวลาจริง

(A Novel Active Power Filter Employing Real-Time
Harmonic Identification)

คณะผู้วิจัย

หัวหน้าโครงการ
ศาสตราจารย์ นาวาอากาศโท ดร.สราวุฒิ สุจิตต์
สาขาวิชาวิศวกรรมไฟฟ้า
สำนักวิชาวิศวกรรมศาสตร์
มหาวิทยาลัยเทคโนโลยีสุรนารี

ได้รับทุนอุดหนุนการวิจัยจากมหาวิทยาลัยเทคโนโลยีสุรนารี ปีงบประมาณ พ.ศ. 2548 - 2549
ผลงานวิจัยเป็นความรับผิดชอบของหัวหน้าโครงการวิจัยแต่เพียงผู้เดียว

สิงหาคม 2550

กิตติกรรมประกาศ

ขอขอบคุณ คุณกองพล อารีรักษ์ เป็นอย่างยิ่งในความช่วยเหลือด้านต่าง ๆ มากมาย ขอบคุณ
ศูนย์เครื่องมือวิทยาศาสตร์และเทคโนโลยี มหาวิทยาลัยเทคโนโลยีสุรนารี ที่อำนวยความสะดวก ใน
การใช้ห้องปฏิบัติการ และขอบคุณ มหาวิทยาลัยเทคโนโลยีสุรนารี ในการสนับสนุนงบประมาณการ
เข้าร่วมประชุมวิชาการนานาชาติ

ผู้วิจัย

สิงหาคม 2550

บทคัดย่อ

การกำจัดสารมอนิกในระบบไฟฟ้า นับเป็นสิ่งสำคัญประdeenหนึ่งสำหรับภาคอุตสาหกรรม ทั้งนี้เนื่องจากสารมอนิกก่อให้เกิดปัญหาราคาหลายประการ ซึ่งส่งผลให้อุปกรณ์ต่างๆ ในระบบไฟฟ้าเกิดความเสียหาย และทำงานผิดพลาด งานวิจัยนี้จึงมุ่งเน้นการพัฒนาวิธีการระบุเอกสารลักษณ์สารมอนิกด้วยวิธี DQF ซึ่งเมื่อใช้งานร่วมกับวงจรขยายกำลังที่มีคุณสมบัติرابเรียนมากที่สุดในทางความถี่ เกิดเป็นวงจรกรองกำลังแยกที่ฟ์แบบใหม่ การทดสอบประสิทธิภาพการระบุเอกสารลักษณ์สารมอนิกด้วยวิธี DQF พิ่มพาราจำลองสถานการณ์ด้วยคอมพิวเตอร์ โดยมีการศึกษาเปรียบเทียบกับวิธีการระบุเอกสารลักษณ์อื่นๆ สองวิธี ได้แก่ วิธี DQ และ SWFA ซึ่งจากผลการจำลองสถานการณ์ วิธี DQF สามารถให้ข้อมูลสารมอนิกที่มีความถูกต้องมากที่สุด นำไปสู่การกำจัดสารมอนิกที่เกิดขึ้นในระบบได้ดีที่สุด ด้วยวงจรกรองกำลังแบบแยกที่ฟ์แบบใหม่ของงานวิจัยนี้ นอกเหนือนั้น ยังส่งผลดีให้สามารถรักษาภาวะสมดุลหลังการกำจัดสารมอนิกได้ด้วย ได้มีการพัฒนาต้นแบบวงจรกรองกำลังแบบแยกที่ฟ์แบบใหม่นี้ขึ้นด้วยเทคโนโลยีดิจิตอล และวงจรขยายกำลังแบบแอนะล็อก ระบบที่ใช้ทดสอบเป็นระบบสามเฟสที่มีโหลดไม่เป็นเชิงเส้น เป็นวงจรเรียงกระแสสามเฟสจ่ายกระแสให้ความด้านทานเพียงอย่างเดียว และวงจรเรียงกระแสสามเฟสจ่ายกระแสให้ความด้านทานต่ออนุกรมกับดัวเหนือยาน้ำ ผลการทดสอบของห้องส่องกรณีเป็นที่น่าพึงพอใจย่างมาก โดยรูปคลื่นกระแสไฟฟ้าที่แหล่งจ่ายกำลังไฟฟ้าหลักมีลักษณะใกล้เคียงความเป็นสัญญาณใช้เบรสท์ และค่า %THD_d เฉลี่ยภายนอกหลังการดูดซูญสารมอนิกลดลงถึง 90 เปอร์เซ็นต์ นอกจากนี้ ภายนอกหลังการดูดซูญ ระบบจะกลับสู่สภาวะสมดุลอย่างสมบูรณ์ ถึงแม้ว่าก่อนการดูดซูญระบบมีความไม่สมดุลไปเล็กน้อย

Abstract

Electrical harmonic elimination is an important aspect for industry because harmonic can be troublesome and harmful to electrical devices and equipment. This research aims to develop a new method of harmonic identification namely the DQF method. The DQF method functioning together with a power amplifier with maximally flat frequency response form a novel active power filter. Simulation studies have been used to assess the effectiveness of the DQF method in comparison with the well-known DQ and the SWFA methods, respectively. As a result, the DQF method provides the most accurate harmonic identification in turn leading to the highest achievement in harmonic elimination utilizing the proposed novel filter. Furthermore, our novel filter could maintain the power system balance. A prototype of our novel active power filter has been constructed around a DSP technology and an analog power amplifier. The 3-phase system under test carries a nonlinear load of the type 3-phase rectifier with a resistor and a series resistor-inductor connected in turn, respectively. The test results are very satisfactory and show that the current waveforms at the main source are sinusoidal. The averaged %THD_i after harmonic compensation is complied with the IEEE Std. 519-1992. In other words, the total harmonic reduction is 90%. Additionally, after compensation a slightly unbalanced system can be brought back to a balanced situation completely.

สารบัญ

	หน้า
กิตติกรรมประกาศ	ก
บทคัดย่อภาษาไทย	ข
บทคัดย่อภาษาอังกฤษ	ค
สารบัญ	ง
สารบัญตาราง	น
สารบัญภาพ	ฉ
บทที่ 1 บทนำ	๑
ความสำคัญและที่มาของปัญหาการวิจัย	๑
วัตถุประสงค์ของโครงการวิจัย	๒
ขอบเขตของการวิจัย	๒
ขั้นตอนการวิจัย	๒
ประโยชน์ที่คาดว่าจะได้รับ	๓
บทที่ 2 ทฤษฎีที่เกี่ยวข้องเกี่ยวกับการระบุเอกสารลักษณ์สาร์มอนิก	๔
กล่าวนำ	๔
การระบุเอกสารลักษณ์สาร์มอนิกด้วยวิธีการหมุนแกน	๔
การระบุเอกสารลักษณ์สาร์มอนิกด้วยวิธีวิเคราะห์แบบฟูริเยร์วิน โอล์เลื่อน	๖
การระบุเอกสารลักษณ์สาร์มอนิกด้วยวิธีการหมุนแกนประกอบกับวิธีฟูริเยร์	๙
สรุป	๑๒
บทที่ 3 ผลการจำลองสถานการณ์การกำจัดสาร์มอนิก	๑๓
กล่าวนำ	๑๓
โครงสร้างของระบบสำหรับการจำลองสถานการณ์การกำจัดสาร์มอนิก	๑๓
ผลการจำลองสถานการณ์เมื่อโหลดของระบบเป็นวงจรเรียงกระแสสามเฟส ที่มีโหลดเป็นความต้านทานเพียงอย่างเดียว	๑๔
ผลการจำลองสถานการณ์เมื่อโหลดของระบบเป็นวงจรเรียงกระแสสามเฟส ที่มีโหลดเป็นความต้านทานต่ำนุกรมกับตัวหนี้ของนำ	๑๙
ผลการจำลองสถานการณ์เมื่อระบบไฟฟ้าสามเฟสต่อกับโหลดแบบไม่สมดุล ในแต่ละเฟส	๒๒
สรุป	๒๙

สารบัญ (ต่อ)

	หน้า
บทที่ 4 ผลการทดสอบการกำจัดสารเคมีในน้ำ.....	30
กล่าวว่า.....	30
ผลการทดสอบกรณีให้ลดของวงจรเรียงกระแสเป็นความต้านทานเพียงอย่างเดียว	30
ผลการทดสอบกรณีให้ลดของวงจรเรียงกระแสเป็นความต้านทานต่ออนุกรมกับตัวเหนี่ยว.....	35
สรุป.....	38
บทที่ 5 สรุปและข้อเสนอแนะ	40
สรุป.....	40
ข้อเสนอแนะ.....	43
บรรณานุกรม	44
ภาคผนวก	
ภาคผนวก ก. แบบจำลองทางคณิตศาสตร์ของระบบที่ใช้ในการจำลองสถานการณ์	47
ภาคผนวก ข. การตอบสนองทางความต้องของวงจรขยายกำลัง.....	52
ภาคผนวก ค. บทความที่ได้รับการพิมพ์เผยแพร่และผลงานการจดสิทธิบัตร	53
ประวัติผู้เขียน.....	54

สารบัญตาราง

ตาราง 3.1 ผลการจำลองสถานการณ์ในสภาวะที่ໂຄດของระบบเป็นวงจรเรียงกระแสสามเฟส ที่มีໂຄດเป็นความด้านทานเพียงอย่างเดียว	19
ตาราง 3.2 ผลการจำลองสถานการณ์ในสภาวะที่ໂຄດของระบบเป็นวงจรเรียงกระแสสามเฟส ที่มีໂຄດเป็นความด้านทานต่ออนุกรมกับตัวหนี่ยวนำ.....	22
ตาราง 3.3 ผลการจำลองสถานการณ์ในสภาวะที่ระบบไฟฟ้าสามเฟสต่อกับໂຄດแบบไม่สมดุล ในแต่ละเฟส	27
ตาราง 3.4 เกณฑ์ในการชี้วัดสมรรถนะการระบุเอกสารลักษณ์สาร์มอนิก	29
ตาราง 3.5 สมรรถนะของการระบุเอกสารลักษณ์สาร์มอนิกในแต่ละวิธี	29
ตาราง 4.1 ผลการทดสอบการกำจัดสาร์มอนิกในสภาวะที่ໂຄດของระบบเป็นวงจรเรียงกระแส สามเฟสที่มีໂຄດเป็นความด้านทานเพียงอย่างเดียว	34
ตาราง 4.2 ผลการทดสอบการกำจัดสาร์มอนิกในสภาวะที่ໂຄດของระบบเป็นวงจรเรียงกระแส สามเฟสที่มีໂຄດเป็นความด้านทานต่ออนุกรมกับตัวหนี่ยวนำ	38

สารบัญภาพ

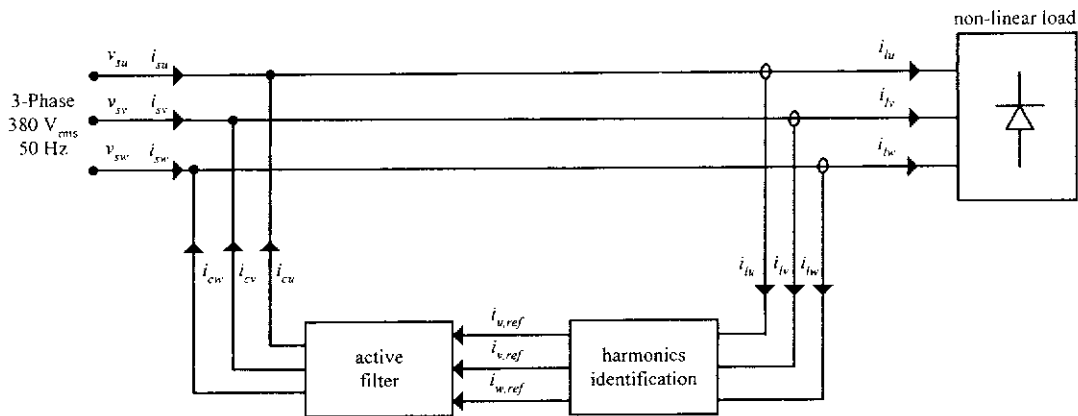
รูปที่ 1.1	แผนภาพแสดงการกำจัดสาร์มอนิกด้วยวงจรกรองกำลังแอคทีฟ	2
รูปที่ 2.1	เวกเตอร์กระแสบนแกนหมุน d-q	5
รูปที่ 2.2	แผนภาพบล็อกการระบุเอกสารลักษณ์สาร์มอนิกด้วยวิธี DQ	6
รูปที่ 2.3	แผนภาพอธิบายการคำนวณค่าสัมประสิทธิ์ A_1 และ B_1	7
รูปที่ 2.4	แผนภาพบล็อกการระบุเอกสารลักษณ์สาร์มอนิกด้วยวิธี SWFA	8
รูปที่ 2.5	แผนภาพบล็อกการระบุเอกสารลักษณ์สาร์มอนิกด้วยวิธี DQF	9
รูปที่ 2.6	แผนภาพอธิบายการคำนวณค่าสัมประสิทธิ์ A_{0d} และ A_{0q}	10
รูปที่ 3.1	โครงสร้างของระบบที่ใช้ในการจำลองสถานการณ์การกำจัดสาร์มอนิก	13
รูปที่ 3.2	โครงสร้างของระบบที่มีวงจรเรียงกระแสต่อ กับ โหลดความต้านทานเพียงอย่างเดียว	14
รูปที่ 3.3	ผลการกำจัดสาร์มอนิกเมื่อระบบมีโหลดเป็นวงจรเรียงกระแสสามเฟส ที่มีโหลดเป็นความต้านทานเพียงอย่างเดียว	18
รูปที่ 3.4	โครงสร้างของระบบที่มีวงจรเรียงกระแสต่อ กับ โหลดความต้านทานอนุกรม กับตัวหนี้ยวนា	19
รูปที่ 3.5	ผลการกำจัดสาร์มอนิกเมื่อระบบมีโหลดเป็นวงจรเรียงกระแสสามเฟส ที่มีโหลดเป็นความต้านทานต่ออนุกรมกับตัวหนี้ยวนा	21
รูปที่ 3.6	โครงสร้างของระบบไฟฟ้าสามเฟสที่ต่อ โหลดแบบไม่สมดุลในแต่ละเฟส	23
รูปที่ 3.7	ผลการกำจัดสาร์มอนิกเมื่อระบบไฟฟ้าสามเฟสต่อ กับ โหลดแบบไม่สมดุล ในแต่ละเฟส	26
รูปที่ 4.1	ระบบที่ใช้ทดสอบการกำจัดสาร์มอนิกของงานวิจัย	31
รูปที่ 4.2	ผลการทดสอบกรณีโหลดของวงจรเรียงกระแสเป็นความต้านทานเพียงอย่างเดียว	32
รูปที่ 4.3	สเปกตรัมของกระแสไฟฟ้าเฟส n ก่อนและหลังการชดเชยกรณีโหลด ของวงจรเรียงกระแสเป็นความต้านทานเพียงอย่างเดียว	33
รูปที่ 4.4	รูปคลื่นกระแสในสายนิวทรัลก่อนและหลังการชดเชยกรณีโหลดเป็นความต้านทาน	34
รูปที่ 4.5	ผลการทดสอบกรณีโหลดของวงจรเรียงกระแสเป็นความต้านทานอนุกรมกับ ตัวหนี้ยวนा	36
รูปที่ 4.6	สเปกตรัมของกระแสไฟฟ้าเฟส n ก่อนและหลังการชดเชยกรณีโหลด ของวงจรเรียงกระแสเป็นความต้านทานต่ออนุกรมกับตัวหนี้ยวนा	37
รูปที่ 4.7	รูปสัญญาณกระแสในสายนิวทรัลก่อนและหลังการชดเชยกรณีโหลดเป็นความต้านทาน อนุกรมกับตัวหนี้ยวนา	38

บทที่ 1

บทนำ

ความสำคัญและที่มาของปัญหาการวิจัย

ปัจจุบันโรงงานอุตสาหกรรมส่วนใหญ่ได้นำเทคโนโลยีคอมพิวเตอร์หรือเล็กทรอนิกส์มาใช้ประโยชน์กันอย่างแพร่หลาย ดังเช่น อุตสาหกรรมเหมืองแร่ การหลอมโลหะ อุตสาหกรรมสิ่งทอ เป็นต้น ค่อนเวอร์เตอร์มีบทบาทสำคัญในการแปลงพลังงาน เนื่องจากค่อนเวอร์เตอร์ทำงานโดยใช้อุปกรณ์สวิตชิ้งกำลัง จึงก่อให้เกิดสารมอนิกขึ้นในระบบไฟฟ้า สารมอนิกเหล่านี้ถือได้ว่าเป็น “มลพิษ” ในระบบไฟฟ้า และทำให้เกิดผลเสียหลายประการ ด้วยเหตุนี้งานวิจัยส่วนหนึ่งทางด้านไฟฟ้ากำลังในปัจจุบัน จึงมุ่งเน้นการแก้ปัญหาสารมอนิก ดังเช่น การใช้วงจรกรองกำลังพาสซีฟ ซึ่งได้แก่ วงจรจูน และวงจรดิจิทัล การใช้วงจรกรองกำลังไฮบริด (Lin, Yang, and Tsai, 2002) และการใช้วงจรกรองกำลังแยกทีฟ ที่ต้องอาศัยอุปกรณ์สวิตชิ้ง จัดการกระแสเพื่อหักล้างกับกระแสสารมอนิกที่เกิดขึ้นในระบบ (Gu, and Gyu, 1998) วงจรกรองกำลังแยกทีฟโดยส่วนใหญ่มีโครงสร้างเชิงระบบดังรูปที่ 1.1 วงจรกรองกำลังแยกทีฟนี้ให้ผลดีในการกรอง มีความอ่อนตัวที่สามารถปรับแต่งให้ทำงานกับระบบได้ฯ ได้ง่าย ตลอดจนประสานปัญหาน้อยจากสภาพแวดล้อมซึ่งในระบบ ดังที่อาจสังเกตจากรูปที่ 1.1 ว่าวงจรกรองกำลังแยกทีฟนี้ส่วนประกอบสำคัญส่วนหนึ่งสำหรับทำหน้าที่ระบุเอกลักษณ์สารมอนิก (harmonic identification) ซึ่งชุดระบุเอกลักษณ์สารมอนิกนี้จะต้องบ่งบอกได้ว่าสารมอนิกที่เกิดขึ้นในระบบมีปริมาณเท่าใด เพราะฉะนั้นวิธีการระบุเอกสารลักษณ์สารมอนิก จึงเป็นขั้นตอนที่สำคัญขั้นตอนหนึ่งสำหรับการกำจัดสารมอนิกในระบบไฟฟ้าอย่างได้ผล และจากการศึกษาค้นคว้าในเรื่องการระบุเอกสารลักษณ์สารมอนิก พบร่วมกับวิธีการระบุเอกสารลักษณ์สารมอนิก แม่ของ ก็ได้เป็นสองกลุ่มด้วยกัน กลุ่มแรกเป็นการระบุเอกสารลักษณ์สารมอนิกที่สนใจ ที่สองเป็นการพัฒนาวิธีการใหม่เพื่อระบุเอกสารลักษณ์สารมอนิก สำหรับใช้งานเป็นส่วนประกอบหลักส่วนหนึ่งของวงจรกรองกำลังแยกทีฟ วงจรกรองกำลังแยกทีฟแบบใหม่ของงานวิจัยนี้ จึงมีส่วนประกอบเป็นชุดระบุเอกสารลักษณ์สารมอนิก ด้วยอัลกอริทึมใหม่ ทำงานร่วมกับวงจรขยายกำลังที่มีการตอบสนองทางความถี่แบบรายเรียบมากที่สุด การพัฒนาชุดระบุเอกสารลักษณ์สารมอนิกในงานวิจัยเลือกใช้การ DSP ของบริษัท Texas Instruments รุ่น eZdspTM F2812 สำหรับการประมวลผล การตรวจสอบผลการระบุเอกสารลักษณ์สารมอนิกของวิธีการที่พัฒนาขึ้น จะดำเนินการศึกษาเปรียบเทียบกับวิธีการต่างๆ ที่ปรากฏในงานวิจัยอื่นมาก่อนแล้ว



รูปที่ 1.1 แผนภาพแสดงการกำจัดสารมอนิกด้วยวงจรกรองกำลังแยกทีฟ

วัตถุประสงค์ของการวิจัย

- พัฒนาวิธีการใหม่สำหรับระบุเอกสารลักษณ์สารมอนิก เพื่อใช้งานในวงจรกรองกำลังแยกทีฟ
- เพื่อพัฒนาเทคโนโลยีด้านแบบสำหรับระบุเอกสารลักษณ์สารมอนิก และกำจัดสารมอนิกในระบบไฟฟ้า

ขอบเขตของการวิจัย

- การวิเคราะห์ และแก้ปัญหาสารมอนิก ผู้นี้เน้นที่การปรับแก้กระแสสารมอนิก
- การระบุเอกสารลักษณ์สารมอนิก เพื่อใช้งานในวงจรกรองกำลังแยกทีฟ ต้องกำจัดสารมอนิกได้ตามมาตรฐาน IEEE Std. 519-1992

ขั้นตอนการวิจัย

- ศึกษาและศึกษาวิธีการระบุเอกสารลักษณ์สารมอนิกต่าง ๆ ที่เคยปรากฏมาก่อนแล้ว
- จำลองสถานการณ์การกำจัดสารมอนิกด้วยคอมพิวเตอร์ โดยใช้วิธีการระบุเอกสารลักษณ์สารมอนิกตามวิธีการที่ปรากฏมาก่อนหน้านี้
 - คิดค้นวิธีการระบุเอกสารลักษณ์สารมอนิกใหม่ ที่มีประสิทธิภาพดีกว่าเดิม
 - จำลองสถานการณ์การกำจัดสารมอนิก โดยใช้วิธีการระบุเอกสารลักษณ์สารมอนิกวิธีการใหม่ที่คิดค้นขึ้น พร้อมทั้งเปรียบเทียบผลการจำลองสถานการณ์ที่ใช้วิธีการระบุเอกสารลักษณ์วิธีการใหม่นี้กับผลการจำลองสถานการณ์ที่ได้จากการใช้วิธีการระบุเอกสารลักษณ์สารมอนิกในอดีต
 - สร้างชุดระบุเอกสารลักษณ์สารมอนิกโดยใช้การ์ด DSP รุ่น eZdsp™ F2812
 - สร้างวงจรกรองกำลังแยกทีฟ ที่ใช้วิธีการระบุเอกสารลักษณ์สารมอนิกวิธีการใหม่ที่พัฒนาขึ้น

- ทดสอบการกำจัดชาร์มอนิกในทางปฏิบัติ โดยใช้วงจรกรองกำลังแอกทีฟที่สร้างขึ้น
- ตรวจสอบผลการกำจัดชาร์มอนิกในทางปฏิบัติ และปรับปรุงแก้ไขเพื่อให้ผลการกำจัดชาร์มอนิกเป็นไปตามมาตรฐาน IEEE Std. 519-1992

ประโยชน์ที่คาดว่าจะได้รับ

- ได้อัลกอริทึมใหม่เพื่อการระบุเอกสารกัมม์ชาร์มอนิกที่มีประสิทธิผล สำหรับใช้งานในวงจรกรองกำลังแอกทีฟสามเฟส
- ได้อุปกรณ์ต้นแบบสำหรับการระบุเอกสารกัมม์ชาร์มอนิกที่มีประสิทธิผล
- ได้ต้นแบบวงจรกรองกำลังแอกทีฟที่กำจัดชาร์มอนิกได้ตามมาตรฐาน IEEE Std. 519-1992

บทที่ 2

ทฤษฎีที่เกี่ยวข้องเกี่ยวกับการระบุเอกลักษณ์สาร์มอนิก

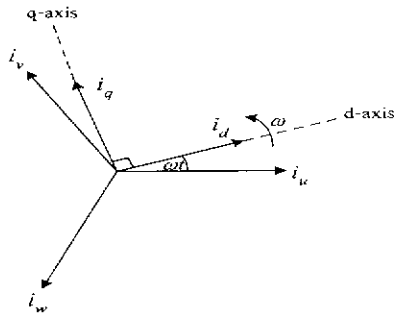
กล่าวนำ

การระบุเอกลักษณ์สาร์มอนิก สำหรับวงจรกรองกำลังแอคทีฟ เป็นขั้นตอนที่สำคัญขึ้นตอนหนึ่ง สำหรับการกำจัดสาร์มอนิกในระบบไฟฟ้า และจากการศึกษางานวิจัยในอดีต พบว่า การระบุเอกลักษณ์สาร์มอนิกแบ่งออกเป็นสองกลุ่มด้วยกัน คือ การระบุเอกลักษณ์สาร์มอนิกที่ต้องการกำจัดสาร์มอนิกทั้งหมดในระบบ และการระบุเอกลักษณ์สาร์มอนิกที่ต้องการกำจัดสาร์มอนิกบางอันดับ ซึ่งงานวิจัยนี้ มีวัตถุประสงค์เพื่อคิดค้นวิธีการระบุเอกลักษณ์สาร์มอนิกวิธีการใหม่ สำหรับกำจัดสาร์มอนิกทั้งหมดในระบบ เนื้อหาในบทนี้จึงทบทวนอัลกอริทึมการระบุเอกลักษณ์สาร์มอนิก สองวิธี ได้แก่ วิธีการหมุนแกน (d-q axis หรือแกน direct และแกน quadrature) ซึ่งต่อไปจะเรียกว่า วิธี DQ (Takeda, Ikeda, Teramoto, and Aritsuka, 1988) และวิธีวิเคราะห์แบบฟูริเยร์วินโคล์เลื่อน (sliding window Fourier analysis) ซึ่งต่อไปจะเรียกว่า วิธี SWFA (El-Habrouk, and Darwish, 2001) ซึ่งอัลกอริทึมดังกล่าวใช้สำหรับระบุเอกลักษณ์สาร์มอนิกที่ต้องการกำจัดสาร์มอนิกทั้งหมดในระบบ นอกจากนี้ในบทนี้ได้นำเสนอวิธีการระบุเอกลักษณ์วิธีการใหม่ที่พัฒนาขึ้น ที่เรียกว่า วิธีการหมุนแกนประกอบกับวิธีฟูริเยร์ (DQ axis with Fourier) ซึ่งต่อไปจะเรียกว่า วิธี DQF วิธีการระบุเอกลักษณ์สาร์มอนิกวิธีการใหม่ที่พัฒนาขึ้นนี้เป็นการทดสอบข้อดีของวิธี DQ และวิธี SWFA นั้นเอง

การระบุเอกลักษณ์สาร์มอนิกด้วยวิธีการหมุนแกน (วิธี DQ)

การระบุเอกลักษณ์สาร์มอนิกด้วยวิธี DQ ในขั้นต้นอาศัยการแปลงค่ากระแสไฟฟ้าสามเฟส คือ i_u , i_v และ i_w เป็นกระแสไฟฟ้าสเปชเวกเตอร์ (space vector) บนแกน α , β และ 0 (i_α , i_β และ i_0) โดยใช้การแปลงเมตริกซ์ดังสมการที่ (2-1) หลังจากนั้นจะนำค่ากระแสบนแกน α (i_α)

$$\begin{bmatrix} i_\alpha \\ i_\beta \\ i_0 \end{bmatrix} = \sqrt{\frac{2}{3}} \begin{bmatrix} 1 & -\frac{1}{2} & -\frac{1}{2} \\ 0 & \frac{\sqrt{3}}{2} & -\frac{\sqrt{3}}{2} \\ \frac{1}{\sqrt{2}} & \frac{1}{\sqrt{2}} & \frac{1}{\sqrt{2}} \end{bmatrix} \begin{bmatrix} i_u \\ i_v \\ i_w \end{bmatrix} \quad (2-1)$$



รูปที่ 2.1 เวกเตอร์กระแสบนแกนหมุน d-q

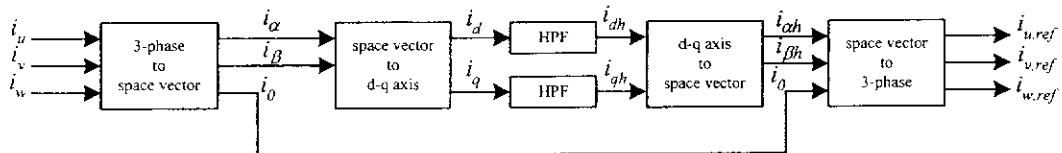
และแกน β (i_β) ไปอยู่บนแกนหมุน d-q (i_d และ i_q) ด้วยเมตริกซ์ดังสมการที่ (2-2) จากสมการดังกล่าวค่า ω คือ ความถี่เชิงมุม (เรเดียน/วินาที) ซึ่งการระบุเอกสารยักษ์莎ร์มอนิกเพื่อต้องการทราบสารมอนิกทั้งหมดในระบบจะกำหนดให้ ω เท่ากับ ความถี่มูลฐานของระบบ ด้วยเหตุนี้เวกเตอร์กระแสไฟฟ้า i_d และ i_q จะหมุนด้วยความเร็วเท่ากับความถี่มูลฐาน ซึ่งแสดงดังรูปที่ 2.1 โดยในประเทศไทย ความถี่มูลฐานมีค่าเท่ากับ 50 เฮิรตซ์ หรือ 314.16 เรเดียน/วินาที จากรูปที่ 2.1 เมื่อพิจารณาบนแกนหมุน d-q กระแสที่ความถี่มูลฐานเปรียบเสมือนสัญญาณกระแสตรงในขณะที่กระแสสารมอนิกเปรียบเสมือนสัญญาณกระแสสลับ ด้วยเหตุนี้การแยกองค์ประกอบของกระแสสารมอนิกที่อยู่บนแกนหมุน d-q (i_{dh} และ i_{qh}) และกระแสที่ความถี่มูลฐาน ทำได้โดยใช้วงจรกรอง

$$\begin{bmatrix} i_d \\ i_q \end{bmatrix} = \begin{bmatrix} \cos(\omega t) & \sin(\omega t) \\ -\sin(\omega t) & \cos(\omega t) \end{bmatrix} \begin{bmatrix} i_\alpha \\ i_\beta \end{bmatrix} \quad (2-2)$$

$$\begin{bmatrix} i_{dh} \\ i_{qh} \end{bmatrix} = \begin{bmatrix} \cos(\omega t) & -\sin(\omega t) \\ \sin(\omega t) & \cos(\omega t) \end{bmatrix} \begin{bmatrix} i_{dh} \\ i_{qh} \end{bmatrix} \quad (2-3)$$

$$\begin{bmatrix} i_{u,ref} \\ i_{v,ref} \\ i_{w,ref} \end{bmatrix} = \sqrt{\frac{2}{3}} \begin{bmatrix} 1 & 0 & \frac{1}{\sqrt{2}} \\ -\frac{1}{2} & \frac{\sqrt{3}}{2} & \frac{1}{\sqrt{2}} \\ -\frac{1}{2} & -\frac{\sqrt{3}}{2} & \frac{1}{\sqrt{2}} \end{bmatrix} \begin{bmatrix} i_{dh} \\ i_{qh} \\ i_0 \end{bmatrix} \quad (2-4)$$

ผ่านสูง (high-pass filter) หลังจากนั้นแปลงค่ากระแสอาร์มอนิกบนแกนหมุน d-q กลับเป็นกระแสอาร์มอนิกบนแกน α และแกน β ($i_{\alpha h}$ และ $i_{\beta h}$) ดังสมการที่ (2-3) ส่วนกระแสเพาเวอร์บนแกน 0 (i_0) จะนำไปใช้ในการคำนวณค่ากระแสอ้างอิงสามเฟสให้กับวงจรของกำลังออกทิฟ ($i_{u,ref}$, $i_{v,ref}$ และ $i_{w,ref}$) โดยใช้การแปลงเมตริกซ์ดังสมการที่ (2-4) จากกระบวนการหักห้ามดสำหรับการระบุเอกสารลักษณ์าร์มอนิกด้วยวิธีนี้ได้อธิบายเป็นแผนภาพไว้ดังรูปที่ 2.2



รูปที่ 2.2 แผนภาพบล็อกการระบุเอกสารลักษณ์าร์มอนิกด้วยวิธี DQ

การระบุเอกสารลักษณ์าร์มอนิกด้วยวิธีเคราะห์แบบฟูริเยร์วินโคร์เลื่อน (วิธี SWFA)

การระบุเอกสารลักษณ์าร์มอนิกด้วยวิธี SWFA อาศัยการคำนวณจากสมการของอนุกรมฟูริเยร์ซึ่งการคำนวณจะดำเนินการเฉพาะค่ากระแสไฟฟ้าที่ความถี่มูลฐาน (i_1) ดังสมการที่ (2-5) โดยที่ค่าสัมประสิทธิ์ A_1 และ B_1 คำนวณได้จากสมการที่ (2-6) และ (2-7) ตามลำดับ จากสมการดังกล่าว T คือ ค่าวремาในการหักตัวอย่าง (วินาที), ω คือ ความถี่มูลฐาน (เรเดียน/วินาที), N คือ จำนวนจุดข้อมูลในการคำนวณต่อหนึ่งคาน และ N_0 คือ ตำแหน่งของจุดข้อมูลเริ่มต้นสำหรับการคำนวณ หลังจากคำนวณ

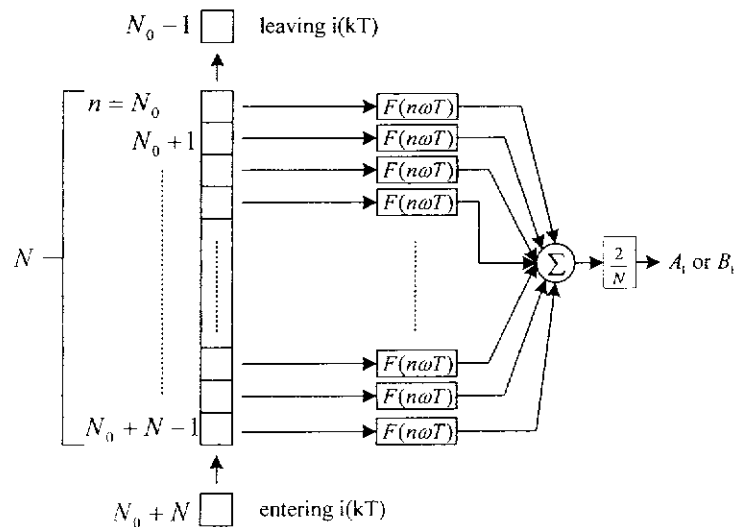
$$i_1(kT) = A_1 \cos(\omega kT) + B_1 \sin(\omega kT) \quad (2-5)$$

$$A_1 = \frac{2}{N} \sum_{n=N_0}^{N_0+N-1} i(nT) \cos(n\omega T) \quad (2-6)$$

$$B_1 = \frac{2}{N} \sum_{n=N_0}^{N_0+N-1} i(nT) \sin(n\omega T) \quad (2-7)$$

ค่ากระแสไฟฟ้าที่ความถี่มูลฐาน นำค่ากระแสไฟฟ้าที่ได้จากการคำนวณไปหักลบออกจากค่ากระแสไฟฟ้าที่วัดได้จากแหล่งจ่ายกำลังไฟฟ้าหลัก (i) ดังสมการที่ (2-8) จะได้กระแสอาร์มอนิกที่เกิดขึ้นทั้งหมดในระบบ (i_h) โดยในขั้นแรกจะรับข้อมูลกระแส i จำนวนหนึ่งคาน ซึ่งมีทั้งหมด N ข้อมูลหลังจากนั้นทำการคำนวณค่า A_1 และ B_1 จากสมการที่ (2-6) และ (2-7) เพื่อคำนวณค่ากระแส i_1

จากสมการที่ (2-5) ค่าสัมประสิทธิ์ A_i และ B_i ที่ได้จากการคำนวณในช่วงแรกนี้จะถูกเก็บเป็นข้อมูลในรูปแบบของแผลคำดับดังรูปที่ 2.3 ซึ่งในรูปดังกล่าว $F(n\omega T) = \cos(n\omega T)$ ในกรณีคำนวณค่า A_i และ $F(n\omega T) = \sin(n\omega T)$ ในกรณีคำนวณค่า B_i กระบวนการดังกล่าวทั้งหมดข้างต้นเป็นการคำนวณเพื่อกำหนดค่าเริ่มต้นให้กับอัลกอริทึมการระบุเอกสารลักษณ์สาร์มอนิก คิวบิชี SWFA และในรอบการคำนวณถัดไป เริ่มต้นจากการรับข้อมูลกระแสค่าใหม่ $i(N_0 + N)$ จากแหล่งจ่ายกำลังไฟฟ้าหลัก และลบข้อมูลกระแสค่าเดิม $i(N_0 - 1)$ เพื่อคำนวณค่าสัมประสิทธิ์ A_i ค่าใหม่ ($A_i^{(new)}$) และค่าสัมประสิทธิ์ B_i ค่าใหม่ ($B_i^{(new)}$) ดังสมการที่ (2-9) และ (2-10) ตามลำดับ โดยที่ $A_i^{(old)}$ คือค่าสัมประสิทธิ์ A_i ค่าเดิมที่ได้จากการคำนวณก่อนหน้านี้ และ $B_i^{(old)}$ คือค่าสัมประสิทธิ์ B_i ค่าเดิมที่ได้จากการคำนวณก่อนหน้านี้ซึ่งเดียวกัน จากการวนการดังกล่าวทั้งหมดข้างต้น มีการคำนวณค่ากระแสสาร์มอนิกที่เกิดขึ้นในทุกรอบของการรับข้อมูลกระแสที่แหล่งจ่ายกำลังไฟฟ้าหลัก โดยช่วงเวลาการรับข้อมูลในแต่ละรอบจะเท่ากับ T วินาที



รูปที่ 2.3 แผนภาพอธิบายการคำนวณค่าสัมประสิทธิ์ A_i และ B_i

$$i_h = i - i_1 \quad (2-8)$$

$$A_i^{(new)} = A_i^{(old)} + \frac{2}{N} \{i[(N_0 + N)T] \cos[(N_0 + N)\omega T] - i[(N_0 - 1)T] \cos[(N_0 - 1)\omega T]\} \quad (2-9)$$

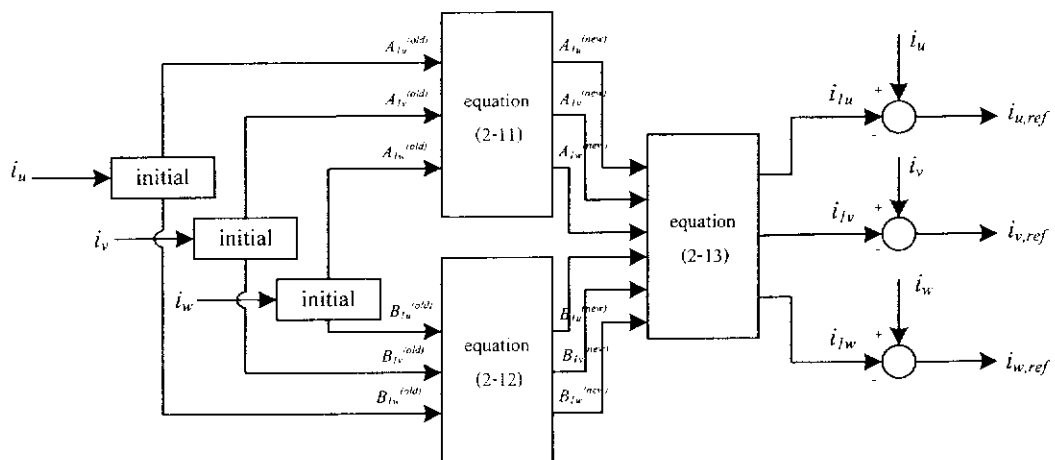
$$B_i^{(new)} = B_i^{(old)} + \frac{2}{N} \{i[(N_0 + N)T] \sin[(N_0 + N)\omega T] - i[(N_0 - 1)T] \sin[(N_0 - 1)\omega T]\} \quad (2-10)$$

จากการอธิบายข้างต้น เป็นการคำนวณสำหรับหนึ่งเฟส การนำวิธี SWFA นี้ไปคำนวณค่าสัมประสิทธิ์ A_i และ B_i กับระบบไฟฟ้าสามเฟส ทำได้โดยใช้สมการที่ (2-11) และ (2-12) ตามลำดับ ส่วนการคำนวณค่ากระแสไฟฟ้าที่ความถี่นุ่มนวลทั้งสามเฟสคำนวณได้จากสมการที่ (2-13) การระบุเอกสารยังคงเป็นแบบเดียวกันกับที่ได้กล่าวไว้ในหัวข้อ 2.4

$$\begin{bmatrix} A_{lu}^{(new)} \\ A_{lv}^{(new)} \\ A_{lw}^{(new)} \end{bmatrix} = \begin{bmatrix} A_{lu}^{(old)} \\ A_{lv}^{(old)} \\ A_{lw}^{(old)} \end{bmatrix} - \frac{2}{N} \begin{bmatrix} i_u[(N_0-1)T] \\ i_v[(N_0-1)T] \\ i_w[(N_0-1)T] \end{bmatrix} \cos[(N_0-1)\omega T] + \frac{2}{N} \begin{bmatrix} i_u[(N_0+N)T] \\ i_v[(N_0+N)T] \\ i_w[(N_0+N)T] \end{bmatrix} \cos[(N_0+N)\omega T] \quad (2-11)$$

$$\begin{bmatrix} B_{lu}^{(new)} \\ B_{lv}^{(new)} \\ B_{lw}^{(new)} \end{bmatrix} = \begin{bmatrix} B_{lu}^{(old)} \\ B_{lv}^{(old)} \\ B_{lw}^{(old)} \end{bmatrix} - \frac{2}{N} \begin{bmatrix} i_u[(N_0-1)T] \\ i_v[(N_0-1)T] \\ i_w[(N_0-1)T] \end{bmatrix} \sin[(N_0-1)\omega T] + \frac{2}{N} \begin{bmatrix} i_u[(N_0+N)T] \\ i_v[(N_0+N)T] \\ i_w[(N_0+N)T] \end{bmatrix} \sin[(N_0+N)\omega T] \quad (2-12)$$

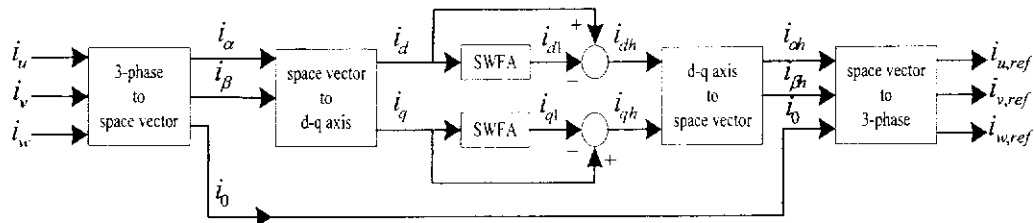
$$\begin{bmatrix} i_{lu}(kT) \\ i_{lv}(kT) \\ i_{lw}(kT) \end{bmatrix} = \begin{bmatrix} A_{lu} & B_{lu} \\ A_{lv} & B_{lv} \\ A_{lw} & B_{lw} \end{bmatrix} \begin{bmatrix} \cos(\omega kT) \\ \sin(\omega kT) \end{bmatrix} \quad (2-13)$$



รูปที่ 2.4 แผนภาพบล็อกการระบุเอกสารยังคงเป็นแบบเดียวกับวิธี SWFA

การระบุเอกสารลักษณ์สาร์มอนิกด้วยวิธีการหมุนแกนประกอบกับวิธีฟูริเยร์ (วิธี DQF)

การระบุเอกสารลักษณ์สาร์มอนิกด้วยวิธี DQF ในขั้นตอนแปลงค่ากระแสไฟฟ้าสามเฟส คือ i_u , i_v และ i_w เป็นกระแสไฟฟ้าสเปชเวกเตอร์ (i_α , i_β และ i_0) ดังสมการที่ (2-1) ต่อจากนั้นแปลงค่ากระแสบนแกน α และ β (i_α และ i_β) ไปอยู่บนแกนหมุน d-q (i_d และ i_q) ด้วยความสัมพันธ์ ดังสมการที่ (2-2) ในสมการดังกล่าวค่า ω คือ ความถี่เชิงมุม (เรเดียน/วินาที) การระบุเอกสารลักษณ์สาร์มอนิกเพื่อต้องการทราบสาร์มอนิกทั้งหมดในระบบ จะกำหนดให้ ω เท่ากับ ความถี่มูลฐานของระบบ ด้วยเหตุนี้เวกเตอร์กระแสไฟฟ้า i_d และ i_q จึงหมุนด้วยความเร็วเท่ากับความถี่มูลฐาน การคำนวณตามกระบวนการดังกล่าวทั้งหมดข้างต้นของวิธี DQF ในช่วงแรกนี้จะเหมือนกับวิธี DQ ทุกประการ และถ้าพิจารณาบนแกนหมุน d-q กระแสที่ความถี่มูลฐานเปรียบเสมือนสัญญาณกระแสตรง ในขณะที่กระแสสาร์มอนิกเปรียบเสมือนสัญญาณกระแสสลับ การแยกองค์ประกอบสัญญาณกระแสตรง ซึ่งเป็นกระแสที่ความถี่มูลฐานออกจากการคำนวณจะแตกต่างกับวิธี DQ ที่ใช้วงจรกรองผ่านสูง โดยการระบุเอกสารลักษณ์สาร์มอนิก ด้วยวิธี DQF จะแยกองค์ประกอบดังกล่าวโดยใช้หลักการของวิธี SWFA ดังแสดงไว้ในรูปที่ 2.5 ซึ่งค่ากระแสความถี่มูลฐานที่ได้ มี



รูปที่ 2.5 แผนภาพบล็อกการระบุเอกสารลักษณ์สาร์มอนิกด้วยวิธี DQF

ความถูกต้องแม่นยำกว่าการใช้วงจรกรองผ่านสูง การใช้วิธี SWFA ในที่นี้เริ่มต้นจากการพิจารณาความสัมพันธ์อยเลอร์-ฟูริเยร์ (Euler-Fourier formulas) ดังสมการที่ (2-14) ซึ่งมีองค์ประกอบสองเทอม คือ เทอมที่เป็นองค์ประกอบสัญญาณกระแสตรง และเทอมที่เป็นองค์ประกอบสัญญาณกระแสสลับ เมื่อกระแสที่ความถี่มูลฐานเปรียบเสมือนสัญญาณกระแสตรง การระบุเอกสารลักษณ์สาร์มอนิกด้วยวิธี DQF จึงคำนวณเฉพาะค่าสัมประสิทธิ์ A_0 เท่านั้น ซึ่งการคำนวณหาค่า A_0 คำนวณ

$$i(kT) = \frac{A_0}{2} + \sum_{h=1}^{\infty} [A_h \cos(h\omega kT) + B_h \sin(h\omega kT)] \quad (2-14)$$

$$A_h = \frac{2}{N} \sum_{n=N_0}^{N_0+N-1} i(nT) \cos(nh\omega T) \quad (2-15)$$

ได้จากการแทนค่า $h = 0$ ในสมการที่ (2-15) เพราะฉะนั้นจากรูปที่ 2.5 ค่ากระแสไฟฟ้าที่ความถี่มูลฐานบนแกน d (i_{d1}) และค่ากระแสไฟฟ้าที่ความถี่มูลฐานบนแกน q (i_{q1}) คำนวณได้จากสมการที่ (2-16) และ (2-17) ตามลำดับ ค่า A_{0d} และ A_{0q} จากสมการดังกล่าวคำนวณได้จากสมการที่ (2-18) และ (2-19) ซึ่งการคำนวณเริ่มด้วยการกำหนดค่าเริ่มต้นของ A_{0d} และ A_{0q} โดยรับข้อมูลกระแส i_d และ i_q มาหนึ่งค่า ซึ่งมีทั้งหมด N ข้อมูล มาคำนวณตามสมการที่ (2-18) และ (2-19)

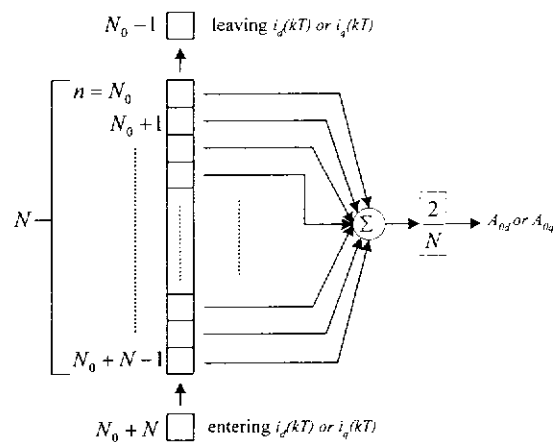
$$i_{d1}(kT) = \frac{A_{0d}}{2} \quad (2-16)$$

$$i_{q1}(kT) = \frac{A_{0q}}{2} \quad (2-17)$$

$$A_{0d} = \frac{2}{N} \sum_{n=N_0}^{N_0+N-1} i_d(nT) \quad (2-18)$$

$$A_{0q} = \frac{2}{N} \sum_{n=N_0}^{N_0+N-1} i_q(nT) \quad (2-19)$$

$$\begin{bmatrix} A_{0d}^{(new)} \\ A_{0q}^{(new)} \end{bmatrix} = \begin{bmatrix} A_{0d}^{(old)} \\ A_{0q}^{(old)} \end{bmatrix} - \frac{2}{N} \begin{bmatrix} i_d[(N_0-1)T] \\ i_q[(N_0-1)T] \end{bmatrix} + \frac{2}{N} \begin{bmatrix} i_d[(N_0+N)T] \\ i_q[(N_0+N)T] \end{bmatrix} \quad (2-20)$$



รูปที่ 2.6 แผนภาพอธิบายการคำนวณค่าสัมประสิทธิ์ A_{0d} และ A_{0q}

หลังจากนั้นเก็บค่าดังกล่าวในรูปแบบของแผลลำดับดังรูปที่ 2.6 ส่วนในรอบการทำงานล็อกไปเริ่มต้นจากการรับข้อมูลกระแส i_d และ i_q ค่าใหม่ ($i_d(N_0 + N)$ และ $i_q(N_0 + N)$) และลบข้อมูลกระแส i_d และ i_q ค่าเก่า ($i_d(N_0 - 1)$ และ $i_q(N_0 - 1)$) เพื่อคำนวณค่าสัมประสิทธิ์ A_{0d} ค่าใหม่ ($A_{0d}^{(new)}$) และค่าสัมประสิทธิ์ A_{0q} ค่าใหม่ ($A_{0q}^{(new)}$) ดังสมการที่ (2-20) โดยที่ $A_{0d}^{(old)}$ คือ ค่าสัมประสิทธิ์ A_{0d} ค่าเก่าที่ได้จากการคำนวณก่อนหน้านี้ และ $A_{0q}^{(old)}$ คือ ค่าสัมประสิทธิ์ A_{0q} ค่าเก่าที่ได้จากการคำนวณก่อนหน้านี้ เช่นกัน ซึ่งการคำนวณค่าสัมประสิทธิ์ $A_{0d}^{(new)}$ และ $A_{0q}^{(new)}$ ในทุกรอบของการรับข้อมูลกระแส i_d และ i_q ค่าใหม่ ทำให้ได้ค่ากระแส i_{d1} และ i_{q1} ในทุกรอบของการคำนวณ โดยช่วงเวลาการรับข้อมูลในแต่ละรอบจะเท่ากับ T วินาที หลังจากที่คำนวณค่ากระแส i_{d1} และ i_{q1} นำค่ากระแสเดิมกล่าวไปหักลบออกจากค่ากระแส i_d และ i_q ดังสมการที่ (2-21) และ (2-22) จะได้กระแสสารมอนิกทั้งหมดในระบบแกนหมุน d-q) i_{dh} และ i_{qh} (หลังจากนั้นแปลงค่ากระแส สารมอนิกบนแกนหมุน d-q กลับเป็นกระแสสารมอนิกบนแกน α และ β) $i_{\alpha h}$ และ $i_{\beta h}$ (ดังสมการที่ (2-3) ส่วนกระแส i_0 จะนำไปใช้ในการคำนวณค่ากระแสอ้างอิงสามเฟสให้กับวงจรรองกำลังแยกที่ฟ้าสามเฟส ($i_{u,ref}$, $i_{v,ref}$ และ $i_{w,ref}$) โดยใช้การแปลงเมตริกซ์ดังสมการที่ (2-4)

$$i_{dh} = i_d - i_{d1} \quad (2-21)$$

$$i_{qh} = i_q - i_{q1} \quad (2-22)$$

จากกระบวนการระบุเอกสารลักษณ์สารมอนิกด้วยวิธี DQF ตามที่ได้อธิบายข้างต้น สังเกตได้ว่า ในช่วงแรกของการคำนวณ และในช่วงสุดท้ายของการคำนวณ จะเหมือนกับกระบวนการระบุเอกสารลักษณ์สารมอนิกด้วยวิธี DQ ทุกประการ ทั้งนี้เนื่องจากข้อดีของการคำนวณตามวิธี DQ มีการคำนวณค่ากระแสไฟฟ้าในลำดับศูนย์ (zero sequence) หรือ i_0 ซึ่งกระแสเดิมกล่าวจะเกิดขึ้นในระบบไฟฟ้าที่ไม่สมดุล เมื่อคำนึงถึงค่ากระแสลำดับศูนย์ จะส่งผลให้วงจรรองกำลังแยกที่ฟ้าสามารถฉีดกระแสเดย์ได้อย่างเหมาะสม เพื่อให้ระบบกลับมาอยู่ในสภาพสมดุลได้ หลังจากนั้นจะทำการคำนวณค่ากระแสสารมอนิก ประเด็นที่แตกต่างกันระหว่างวิธี DQ และวิธี DQF อยู่ที่การแยกองค์ประกอบสัญญาณกระแสตรงออกจากองค์ประกอบสัญญาณกระแสสัม�ทาน โดยวิธี DQF ได้นำข้อดีของวิธี SWFA มาใช้ในส่วนนี้ แทนการใช้วงจรรองผ่านสูงตามวิธี DQ ทั้งนี้เนื่องจากวิธีการคำนวณตามหลักการของวิธี SWFA เหมาะกับการใช้งานในเวลาจริง อีกทั้งมีความถูกต้องสูง เมื่อเทียบกับการใช้วงจรรองผ่านสูง นอกจากนี้เมื่อระบบมีโหลดไม่เป็นเชิงเส้นเปลี่ยนไปจากเดิม รูปแบบของกระแสสารมอนิกจะเปลี่ยนไปด้วยเช่นกัน สถานการณ์ดังกล่าวอาจส่งผลให้การออกแบบวงจรรองผ่านสูงตามวิธี DQ ต้องคำนึงถึงใหม่เพื่อให้เหมาะสม กับรูปแบบของกระแสสารมอนิกที่เกิดขึ้น แต่ในทางกลับกัน การแยกองค์ประกอบดังกล่าวโดยใช้วิธี

SWFA สามารถใช้ได้กับรูปแบบกระแสสาร์มอนิกได้ทุกรูปแบบ โดยไม่ขึ้นอยู่กับโหลดไม่เป็นเชิงเส้นของระบบ

สรุป

วิธี DQF สำหรับการระบุเอกสารลักษณะสาร์มอนิก ตามที่ได้นำเสนอในบทนี้ เป็นวิธีการที่พัฒนาขึ้นใหม่ จากการทดสอบข้อดีของวิธี DQ และวิธี SWFA เข้าไว้ด้วยกัน ข้อดีของวิธี DQ คือ มีการคำนวณค่ากระแสไฟฟ้าลำดับศูนย์ ซึ่งส่งผลให้การนัดกระแสชาดเชยของวงจรกรองกำลังแยกทีฟในระบบไฟฟ้าที่ไม่สมดุลเป็นไปอย่างเหมาะสม สามารถนำระบบให้กลับมาอยู่ในสภาพสมดุล หลังการกำจัดสาร์มอนิก ส่วนข้อดีของวิธี SWFA ที่นำมาใช้กับวิธี DQF คือ การคำนวณเพื่อแยกองค์ประกอบสัญญาณกระแสตรงออกจากสัญญาณกระแสสลับให้ความถูกต้องสูง และมีความอ่อนตัว สามารถปรับใช้กับระบบใด ๆ ได้ง่ายกว่าการใช้วงจรกรองผ่านสูง นอกจากนี้การคำนวณด้วยวิธี SWFA ใช้เวลาการคำนวณสั้น ซึ่งหมายความว่าการใช้งานในเวลาจริง นอกเหนือจากนั้นแล้ว วิธี DQF ยังสามารถแก้ไขคดด้อยของวิธี DQ และวิธี SWFA ได้อีกด้วย โดยจุดด้อยของวิธี DQ คือ การแยกองค์ประกอบสัญญาณกระแสตรงออกจากองค์ประกอบสัญญาณกระแสสลับ ที่ใช้วงจรกรองผ่านสูง มีความคลาดเคลื่อนมากกว่าวิธี DQF ส่วนจุดด้อยของวิธี SWFA คือ ไม่มีการคำนวณค่ากระแสไฟฟ้าลำดับศูนย์ ซึ่งส่งผลให้การกำจัดสาร์มอนิกในระบบไฟฟ้าที่ไม่สมดุล ไม่สามารถทำให้ระบบกลับมาอยู่ในสภาพสมดุล ได้ภายในหลังการกำจัดสาร์มอนิก รายละเอียดค่าต่าง ๆ เกี่ยวกับการวิเคราะห์ประสิทธิภาพ รวมถึงข้อดี และข้อเสียของการระบุเอกสารลักษณะสาร์มอนิกในแต่ละวิธีจะนำเสนอไว้ในบทที่ 3 ซึ่งเป็นผลการจำลองสถานการณ์การกำจัดสาร์มอนิกที่อาจมีการระบุเอกสารลักษณะสาร์มอนิกในแต่ละวิธีเปรียบเทียบกัน

บทที่ 3

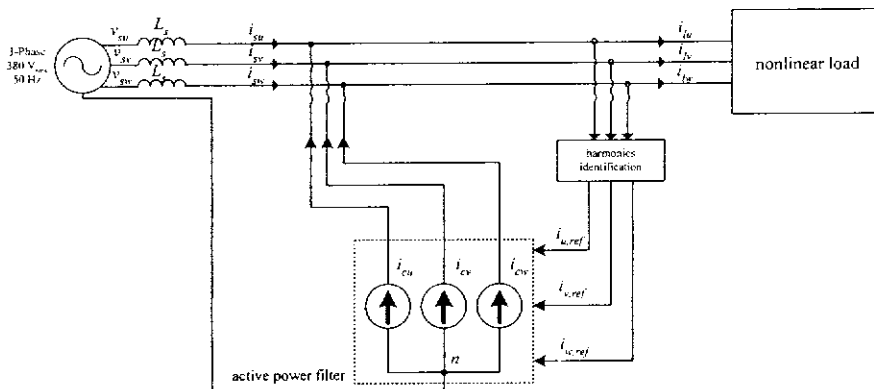
ผลการจำลองสถานการณ์การกำจัดสารมอนิก

กล่าวนำ

การจำลองสถานการณ์การกำจัดสารมอนิกที่นำเสนอในบทนี้ พิจารณาแบบจำลองของวงจรกรองเป็นแหล่งจ่ายกระแสอุดมคติ ที่กำจัดสารมอนิกได้อย่างสมบูรณ์ ทั้งนี้เพื่อการศึกษาเบริญเทียน สมรรถนะของอัลกอริทึมการระบุเอกสารกษณ์สารมอนิก อัลกอริทึมเหล่านี้ ได้แก่ วิธี DQ วิธี SWFA และวิธี DQF ใน การจำลองสถานการณ์ได้พิจารณาระบบ 3 รูปแบบที่มีโหลดไม่เป็นเชิงเส้นแตกต่าง กัน ได้แก่ วงจรเรียงกระแสสามเฟสที่มีโหลดเป็นความต้านทานเพียงอย่างเดียว วงจรเรียงกระแสสามเฟสที่มีโหลดเป็นความต้านทานต่ออนุกรมกับตัวเหนี่ยวนำ และระบบไฟฟ้าสามเฟสที่ต่อโหลดแบบไม่สมดุลในแต่ละเฟส โหลดดังกล่าว เมื่อไม่ติดตั้งตัวเก็บประจุในการปรับเรียบแรงดัน สามารถพิจารณาเป็นโหลดในกลุ่มแหล่งจ่ายกระแสไม่เป็นเชิงเส้น (current-source nonlinear load, CSNL) ด้วยที่ปรับสิทธิผลการกำจัดสารมอนิกที่ใช้อัลกอริทึมการระบุเอกสารกษณ์สารมอนิกแต่ละวิธี ใช้ค่า %THD₁ และ %unbalance ภายหลังการซัดเซยเป็นสำคัญ ทั้งนี้เพื่อศึกษาเบริญเทียนปริมาณสารมอนิก และความสมดุลของระบบไฟฟ้าภายหลังการซัดเซย การแสดงผลการจำลองสถานการณ์ ในบทนี้จึงพิจารณาวงจรกรองกำลังแบบแยกที่ฟีเป็นแหล่งจ่ายกระแสอุดมคติ ที่สามารถจ่ายกระแสซัดเซยสารมอนิกได้จริงตามผลการคำนวณ สมการทางคณิตศาสตร์ที่เป็นแบบจำลองของแต่ละกรณี ได้ยกแสดงไว้ในภาคผนวก บทนี้จึงนำเสนอผลการจำลองสถานการณ์และอภิปรายผลไปพร้อมกัน

โครงสร้างของระบบสำหรับการจำลองสถานการณ์การกำจัดสารมอนิก

โครงสร้างของระบบสำหรับการจำลองสถานการณ์ สามารถแทนได้ด้วยแผนภาพในรูปที่ 3.1 ดังสังเกตได้ว่ามีองค์ประกอบหนึ่งเป็นการระบุเอกสารกษณ์สารมอนิก (harmonics identification)



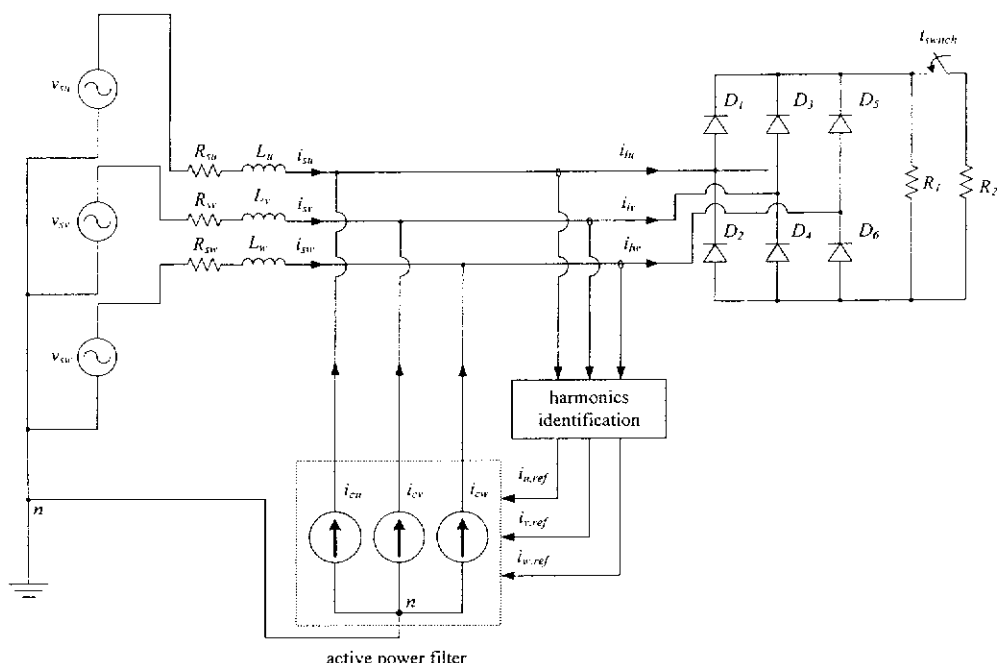
รูปที่ 3.1 โครงสร้างของระบบที่ใช้ในการจำลองสถานการณ์การกำจัดสารมอนิก

ซึ่งหมายรวมถึง วิธีการอย่างใดอย่างหนึ่ง ต่อไปนี้ วิธี DQ วิธี SWFA หรือวิธี DQF การจำลองสถานการณ์ได้พิจารณาระบบ 3 รูปแบบที่มีโหลดไม่เป็นเชิงเส้นแตกต่างกัน

ผลการจำลองสถานการณ์เมื่อโหลดของระบบเป็นวงจรเรียงกระแสสามเฟสที่มีโหลดเป็นความต้านทานเพียงอย่างเดียว

โครงสร้างของระบบที่ใช้ในการจำลองสถานการณ์การกำจัดสารมอนิกในหัวข้อนี้แสดงไว้ในรูปที่ 3.2 โดยค่า R_u , R_v และ R_w ที่ใช้ในการจำลองสถานการณ์มีค่าเท่ากับ 0.001 โอม ค่า L_u , L_v และ L_w มีค่าเท่ากับ 100 ไมโครเฮนรี ส่วนค่าโหลดความต้านทาน R_1 และ R_2 มีค่าเท่ากับ 870 โอม ในเบื้องต้น ถ้าพิจารณาว่าไม่มีวงจรกรองกำลังแยกที่ฟ กระแสไฟฟ้าที่แหล่งจ่ายกำลังไฟฟ้าหลัก (i_{su} , i_{sv} และ i_{sw}) จะมีค่าเท่ากับกระแสไฟฟ้าที่โหลดเข้าโหลด (i_{lu} , i_{lv} และ i_{lw}) แต่ถ้าพิจารณาในกรณีที่มีวงจรกรองกำลังแยกที่ฟ ฉีดกระแสแซดเซย (i_{cu} , i_{cv} และ i_{cw}) เพื่อกำจัดสารมอนิก จะได้ความสัมพันธ์ของกระแสไฟฟ้าทั้งสาม โดยอาศัยกฎของคอนซอร์ชอฟท์ ดังสมการที่ (3-1) ในสมการใช้ i เป็นตัวห้อย แสดงเฟส u เฟส v หรือ เฟส w เมื่อพิจารณาเฟส u จะแทน i ด้วย n ถ้าเป็นเฟส v จะแทน i ด้วย n และถ้าเป็นเฟส w จะแทน i ด้วย w

$$i_{su} = i_{lu} - i_{cu} \quad (3-1)$$



รูปที่ 3.2 โครงสร้างของระบบที่มีวงจรเรียงกระแสต่อ กับโหลดความต้านทานเพียงอย่างเดียว

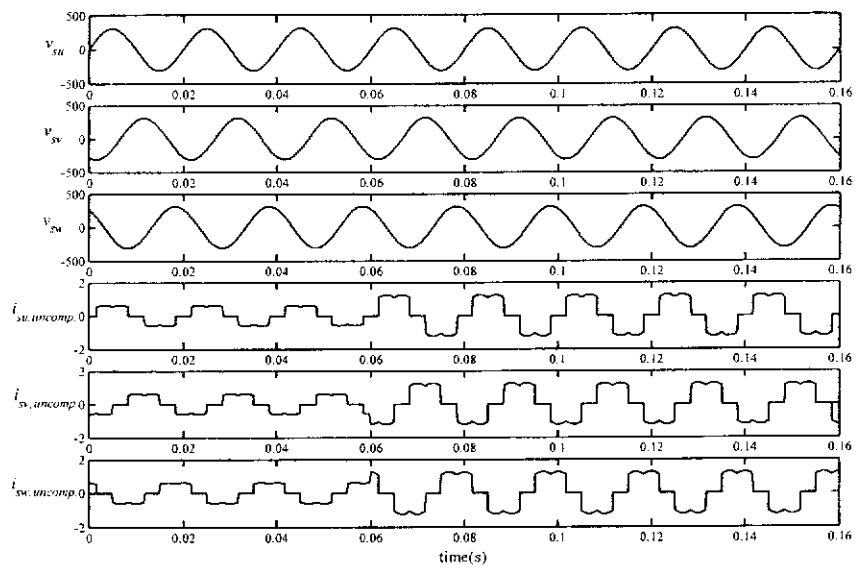
ผลการจำลองสถานการณ์ก่อนการขาดเชย รูปสัญญาณแรงดันไฟฟ้า (v_{su} , v_{sv} และ v_{sw}) และกระแสไฟฟ้าที่เหลื่งจ่ายกำลังไฟฟ้าหลักก่อนการขาดเชย ($i_{su,uncomp.}$, $i_{sv,uncomp.}$ และ $i_{sw,uncomp.}$) แสดงไว้ในรูปที่ 3.3 ก) ส่วนรูปสัญญาณของกระแสชดเชย (i_{cu} , i_{cv} และ i_{cw}) และกระแสไฟฟ้าที่เหลื่งจ่ายกำลังไฟฟ้าหลักหลังการขาดเชย ($i_{su,comp.}$, $i_{sv,comp.}$ และ $i_{sw,comp.}$) ที่ใช้การระบุนออกลักษณะาร์มอนิกคัววิธี DQ SWFA และDQF แสดงไว้ดังรูปที่ 3.3 ข) (ถึง 3.3 ง) ตามลำดับ จากรูปที่ 3.3 ก) สังเกตได้ว่าค่า $i_{su,uncomp.}$, $i_{sv,uncomp.}$ และ $i_{sw,uncomp.}$ มีลักษณะบิดเบี้ยวไม่เป็นรูปสัญญาณไซน์ ในขณะที่แรงดันไฟฟ้ายังคงรูปคลื่นสัญญาณไซน์อยู่ นอกจากนี้ในการจำลองสถานการณ์ กำหนดให้มีการสวิตช์โหลดความต้านทาน R_2 ต่อขนานกับ R_1 ที่เวลา 0.06 วินาที เพื่อศึกษาถึงสภาพะหัวครู่ที่อาจส่งผลกระทบต่อการทำงานของอัลกอริทึมการระบุนออกลักษณะาร์มอนิก ตลอดจนการขาดเชยสาร์มอนิก จึงส่งผลให้แอมเพลจุดของ $i_{su,uncomp.}$, $i_{sv,uncomp.}$ และ $i_{sw,uncomp.}$ มีค่าเพิ่มขึ้นตั้งแต่เวลา 0.06 วินาทีเป็นต้นไป ซึ่งสังเกตได้อบย่างชัดเจนในกรณีไฟส. ว. ที่ค่ากระแส $i_{sw,uncomp.}$ มีค่าเพิ่มขึ้นทันทีทันใดที่เวลา 0.06 วินาที ในขณะที่ค่า $i_{sv,uncomp.}$ มีค่าเพิ่มขึ้นช้ากว่ากันแต่มีค่าเพิ่มขึ้นทางซีกขอบของรูปสัญญาณ เนื่องจากในช่วงเวลาดังกล่าวเป็นช่วงเวลาที่สัญญาณ $i_{sv,uncomp.}$ มีค่าเป็นลบ ส่วนกรณีไฟส. ว. ค่า $i_{su,uncomp.}$ ไม่มีการเปลี่ยนแปลงอย่างชัดเจน เนื่องจากที่เวลา 0.06 วินาที ค่า $i_{su,uncomp.}$ มีค่า เป็นศูนย์ เพราะฉะนั้นถึงแม้ว่าจะมีการสวิตช์โหลดเพิ่มเข้าไปในช่วงนี้ ค่า $i_{su,uncomp.}$ ยังคงมีค่าเป็นศูนย์เช่นเดิม และถ้าพิจารณาค่า $\%THD_i$ ในแต่ละเฟสก่อนการขาดเชย ที่แสดงไว้ในตารางที่ 3.1 สังเกตได้ว่าค่า $\%THD_i$ มีค่ามากกว่า IEEE Std. 519-1992 โดยค่า $\%THD_i$ เฉลี่ย ($\%THD_{i,ave}$) ก่อนการขาดเชยมีค่าเท่ากับ 28.65 เมอร์เซ็นต์ ค่า $\%THD_i$ เฉลี่ยดังกล่าวคำนวณได้จากการที่ (3-2) เมื่อ

$$\%THD_{i,ave} = \sqrt{\frac{\sum_{k=u,v,w} (\%THD_{i(k)})^2}{3}} \quad (3-2)$$

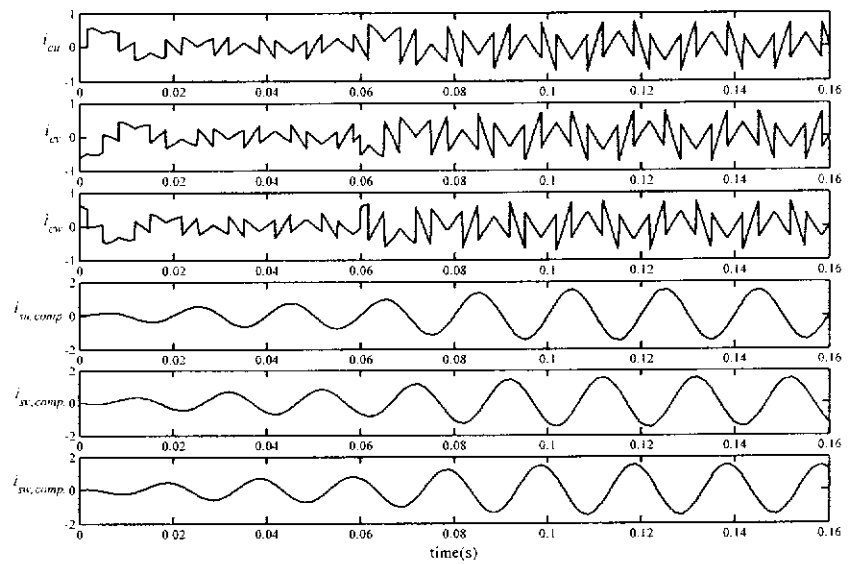
ได้มีการขาดเชยสาร์มอนิกแล้ว กระแส $i_{su,comp.}$, $i_{sv,comp.}$ และ $i_{sw,comp.}$ มีลักษณะใกล้เคียงรูปสัญญาณไซน์มาก อาจมีการบิดเบี้ยวบ้างแต่เพียงเล็กน้อย ซึ่งอาจสังเกตได้จากรูปคลื่นของสัญญาณเหล่านี้ในรูปที่ 3.3 ข) (ถึง 3.3 ง) ตามลำดับ ข้อมูลด้าน $\%THD_i$ เฉลี่ยและ $\%unbalance$ ได้รับการรวมรวมแสดงไว้ในตารางที่ 3.1 จากข้อมูลในตารางดังกล่าวอาจสังเกตได้ว่า วิธี SWFA และ DQF เป็นวิธีการระบุนออกลักษณะาร์มอนิกที่มีความถูกต้องมากที่สุดเมื่อเปรียบเทียบกับวิธีอื่น ๆ จึงส่งผลให้การกำจัดสาร์มอนิกได้ผลดีที่สุด โดยภาพหลังการขาดเชย ค่า $\%THD_i$ เฉลี่ยมีค่าเท่ากับ 0 เมอร์เซ็นต์ ในขณะที่วิธี DQ ให้ผลการระบุนออกลักษณะาร์มอนิกได้ไม่ดีเท่ากับ จึงส่งผลให้การกำจัดสาร์มอนิกได้ผลไม่ดีไปด้วย เช่นกัน โดยค่า $\%THD_i$ เฉลี่ยมีค่าเท่ากับ 1.02 เมอร์เซ็นต์ แต่อย่างไรก็ตามค่าดังกล่าวยังอยู่ภายใต้ขอบเขตตามมาตรฐาน IEEE 519-1992 นอกจากนี้เมื่อพิจารณาผลการกำจัดสาร์มอนิก ที่ใช้วิธีการ

ระบุเอกสารลักษณะด้วยวิธี SWFA และ DQF ในรูปที่ 3.3 ค) และ 3.3 ง) สังเกตได้ว่าในช่วง 0.02 วินาทีแรกยังไม่มีการกำจัดสาร์มอนิกเกิดขึ้น โดยไม่มีการฉีดกระแสเดย์ดาย เท่านี้เนื่องจากวิธีการดังกล่าวต้องใช้เวลาสำหรับเริ่มต้น (initialisation) ให้กับการคำนวณ และเมื่อพิจารณาผลการจำลองสถานการณ์ในสภาวะชั่วครู่เนื่องจากการสวิตช์โหลดความต้านทานต่อขนาดเพิ่มเข้าไปในระบบที่เวลา 0.06 วินาที สังเกตได้ว่ากระแส i_{cu} , i_{cv} และ i_{cw} ที่ได้จากการระบุเอกสารลักษณะสาร์มอนิกในแต่ละวิธีมีการเปลี่ยนแปลงอย่างฉับพลันที่เวลาดังกล่าว โดยสังเกตได้จากรูปที่ 3.3 ข) ถึง 3.3 ง) โดยเฉพาะเฟส v และเฟส w สามารถเห็นการเปลี่ยนแปลงของกระแส i_{cv} และ i_{cw} อย่างเห็นได้ชัด ในขณะที่เฟส u ค่ากระแส i_{cu} ไม่สามารถสังเกตถึงการเปลี่ยนแปลงได้อย่างเด่นชัด ทั้งนี้อาจเนื่องมาจากการที่เวลา 0.06 วินาที กระแส $i_{su,uncomp}$ ที่ใช้ในกระบวนการการระบุเอกสารลักษณะสาร์มอนิกไม่มีการเปลี่ยนแปลง และมีค่าเป็นศูนย์ที่เวลาดังกล่าว จึงส่งผลให้การระบุเอกสารลักษณะสาร์มอนิกในเฟส u ที่ให้ผลลัพธ์เป็นกระแส i_{cu} ไม่ปรากฏการเปลี่ยนแปลงอย่างเด่นชัดเหมือนกับเฟส v และเฟส w นอกจากนี้เมื่อพิจารณาผลการจำลองสถานการณ์การกำจัดสาร์มอนิกที่ใช้วิธีการระบุเอกสารลักษณะสาร์มอนิกด้วยวิธี DQ (ดังรูปที่ 3.3 ข) ยังสังเกตได้อีกว่า การระบุเอกสารลักษณะสาร์มอนิกใช้เวลาประมาณ 0.04 วินาที จึงเข้าสู่สภาวะคงตัวหลังจากมีการสวิตช์โหลดความต้านทาน จึงส่งผลให้ค่ากระแส $i_{su,comp}$, $i_{sv,comp}$ และ $i_{sw,comp}$ เข้าสู่สภาวะคงตัวที่เวลาประมาณ 0.1 วินาที ทั้งนี้อาจเนื่องมาจากวิธีการระบุเอกสารลักษณะสาร์มอนิกด้วยวิธี DQ ใช้วงจรกรองผ่านสูงในการแยกองค์ประกอบสาร์มอนิกออกจากองค์ประกอบมูลฐานตามที่ได้อธิบายไว้ในบทที่ 2 ซึ่งการใช้วงจรดังกล่าวอาจทำให้เกิดเวลาประวิงได้ ส่วนผลการจำลองสถานการณ์ที่มีการระบุเอกสารลักษณะด้วยวิธี SWFA และ DQF (ดังรูปที่ 3.3 ค) และ 3.3 ง) สังเกตได้ว่ากระแสเดย์ดายที่ได้จากการระบุเอกสารลักษณะสาร์มอนิกด้วยวิธีนี้ ใช้เวลาประมาณ 0.02 วินาที จึงเข้าสู่สภาวะคงตัวหลังจากสวิตช์โหลดความต้านทาน ทั้งนี้เนื่องจากวิธี SWFA และ DQF มีขั้นตอนกำหนดค่าเริ่มต้นให้กับการคำนวณ ซึ่งใช้เวลาประมาณ 0.02 วินาที อย่างไรก็ตามผลการจำลองสถานการณ์ในสภาวะชั่วครู่ดังกล่าวข้างต้น พบว่า การระบุเอกสารลักษณะสาร์มอนิกในแต่ละวิธีสามารถให้ข้อมูลสาร์มอนิกได้อย่างถูกต้องตามการเปลี่ยนแปลงอย่างฉับพลันของกระแส $i_{su,uncomp}$, $i_{sv,uncomp}$ และ $i_{sw,uncomp}$ นอกจากนี้ความสมดุลทั้งก่อนและหลังการชดเชยสามารถพิจารณาได้จากค่า %unbalance ในตารางที่ 3.1 โดยคำนวณค่าดังกล่าวตามสมการที่ (3-3) ตามมาตรฐาน IEEE Std. 141-1993 โดยก่อนการชดเชยค่า %unbalance เท่ากับ 0 เปอร์เซ็นต์ ในขณะที่หลังการชดเชยที่ใช้วิธีการระบุเอกสารลักษณะสาร์มอนิกแต่ละวิธี ต่างก็ให้ %unbalance เท่ากับ 0 เปอร์เซ็นต์เช่นเดียวกันทั้งสิ้น ซึ่งหมายถึงระบบทั้งก่อนและหลังการชดเชยอยู่ในสภาวะสมดุล

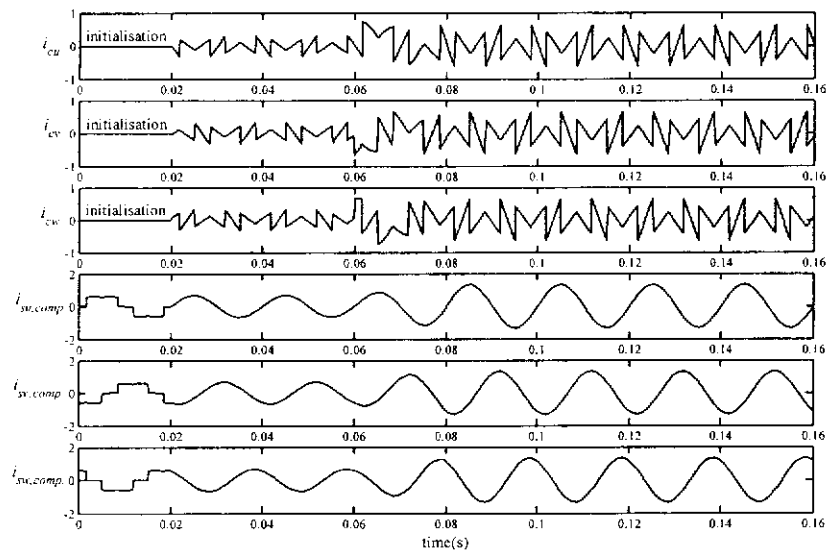
$$\% \text{ unbalance} = \frac{\left| \text{maximum current deviation from average rms current} \right|}{\text{average rms current}} \times 100\% \quad (3-3)$$



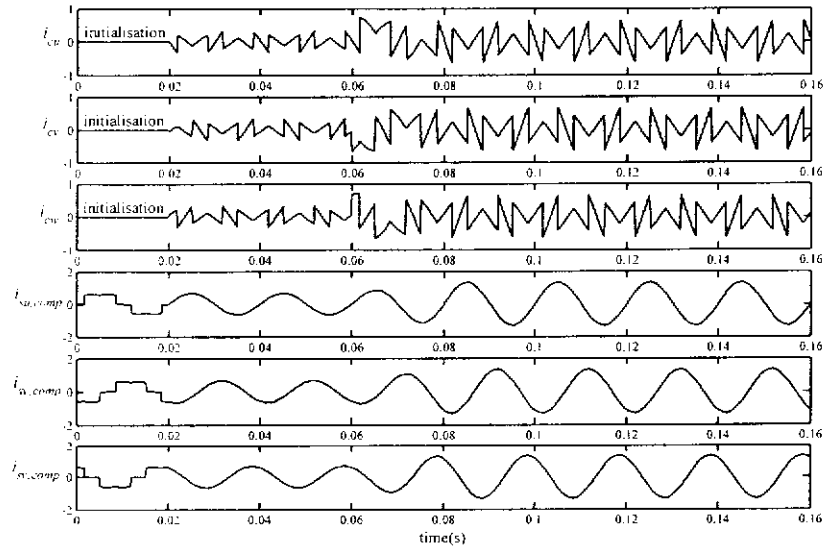
ก) แรงดันไฟฟ้าและกระแสไฟฟ้าที่เหล่งจ่ายกำลังไฟฟ้าหลักก่อนการซัดเชย



ข) ผลการจำลองสถานการณ์เมื่อใช้วิธี DQ ในการระบุเอกสารกัญแจร์มอนิก



ค) ผลการจำลองสถานการณ์เมื่อใช้วิธี SWFA ในการระบุเอกสารลักษณ์สาร์มอนิก



ง) ผลการจำลองสถานการณ์เมื่อใช้วิธี DQF ในการระบุเอกสารลักษณ์สาร์มอนิก

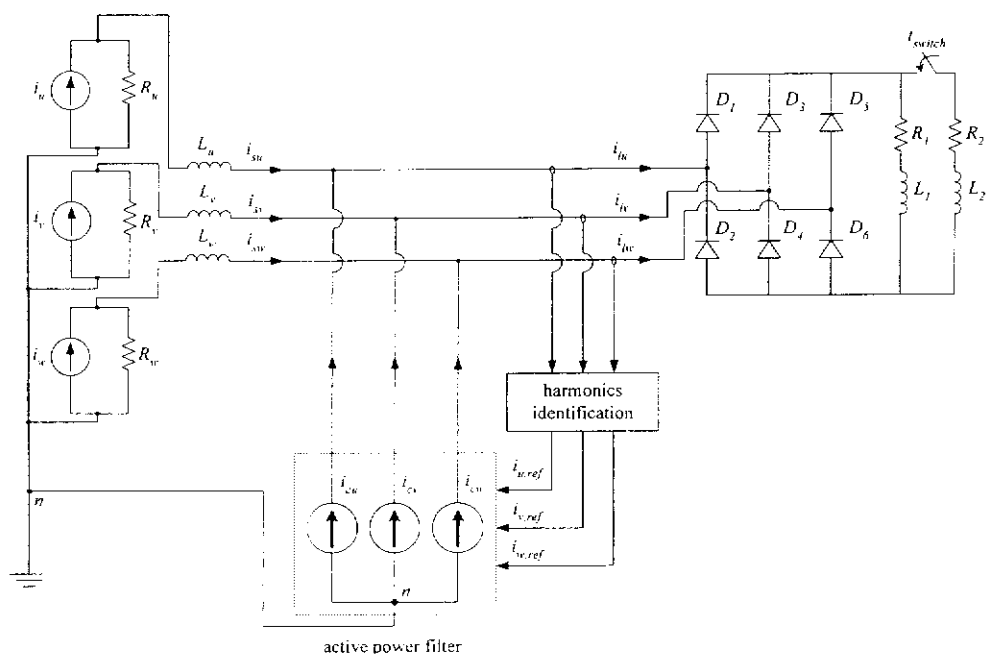
รูปที่ 3.3 ผลการกำจัดสาร์มอนิกเมื่อระบบมีโหลดเป็นวงจรเรียงกระแสสามเฟส
ที่มีโหลดเป็นความต้านทานเพียงอย่างเดียว

ตารางที่ 3.1 ผลการจำลองสถานการณ์ในสภาวะที่โหลดของระบบเป็นวงจรเรียงกระแสสามเฟส
ที่มีโหลดเป็นความต้านทานเพียงอย่างเดียว

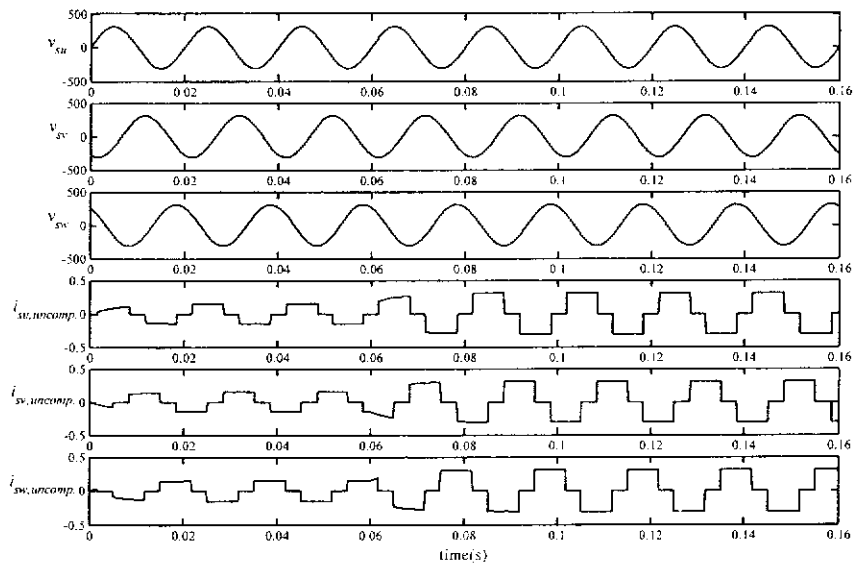
วิธีการระบุ เอกสารย่อสาร์มอนิก	%THD _u เฟส u	%THD _v เฟส v	%THD _w เฟส w	%THD _i เฉลี่ย	i_{su} (rms)	i_{sv} (rms)	i_{sw} (rms)	unbalance (%)
ก่อนการซัดเชย	28.43	29.09	28.42	28.65	0.96	0.96	0.96	0
หลังการซัดเชย								
วิธี DQ	0.81	1.08	1.13	1.02	1.02	1.02	1.02	0
วิธี SWFA	0	0	0	0	0.93	0.93	0.93	0
วิธี DQF	0	0	0	0	0.93	0.93	0.93	0

ผลการจำลองสถานการณ์เมื่อโหลดของระบบเป็นวงจรเรียงกระแสสามเฟสที่มีโหลดเป็นความต้านทานต่ออนุกรมกับตัวเหนี่ยวนำ

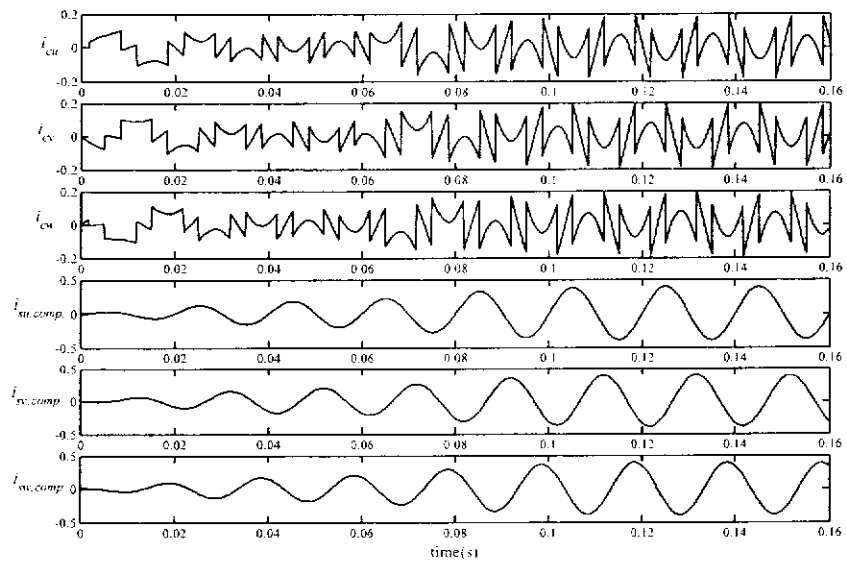
โครงสร้างของระบบที่ใช้ในการจำลองสถานการณ์การกำจัดสาร์มอนิกในหัวข้อนี้แสดงไว้ในรูปที่ 3.4 โดยค่า R_u , R_v และ R_w ที่ใช้ในการจำลองสถานการณ์มีค่าเท่ากับ 0.001 โอม ค่า L_u , L_v และ L_w มีค่าเท่ากับ 100 ไมโครเอนรี ค่าโหลดความต้านทาน R_1 และ R_2 สมมติให้มีค่าเท่ากับ 3.37 กิโลโอม ล่วงค่าโหลดตัวเหนี่ยวนำ L_1 และ L_2 สมมติมีค่าเท่ากับ 19.8 เเอนรี โดยรูปคลื่นสัญญาณแรงดัน v_{su} , v_{sv} และ v_{sw} และกระแส $i_{su,uncomp.}$, $i_{sv,uncomp.}$ และ $i_{sw,uncomp.}$ แสดงไว้ดัง



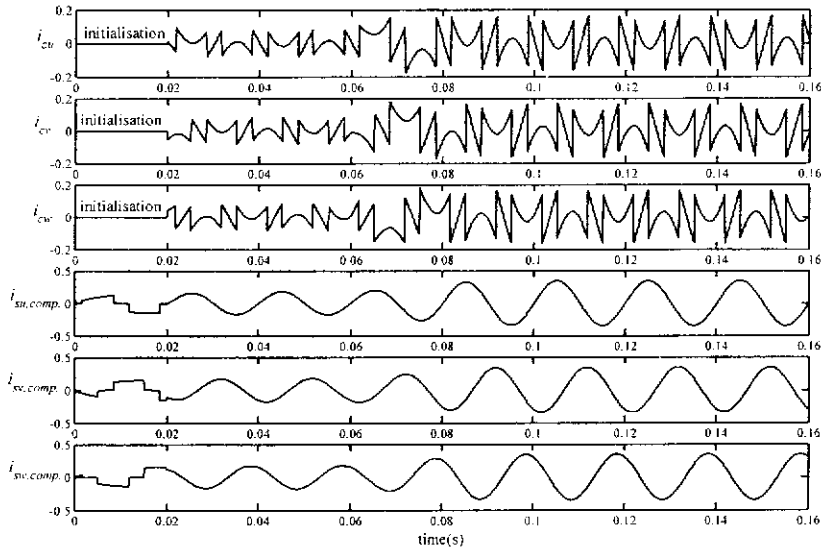
รูปที่ 3.4 โครงสร้างของระบบที่มีวงจรเรียงกระแสต่อ กับโหลดความต้านทานอนุกรมกับตัวเหนี่ยวนำ



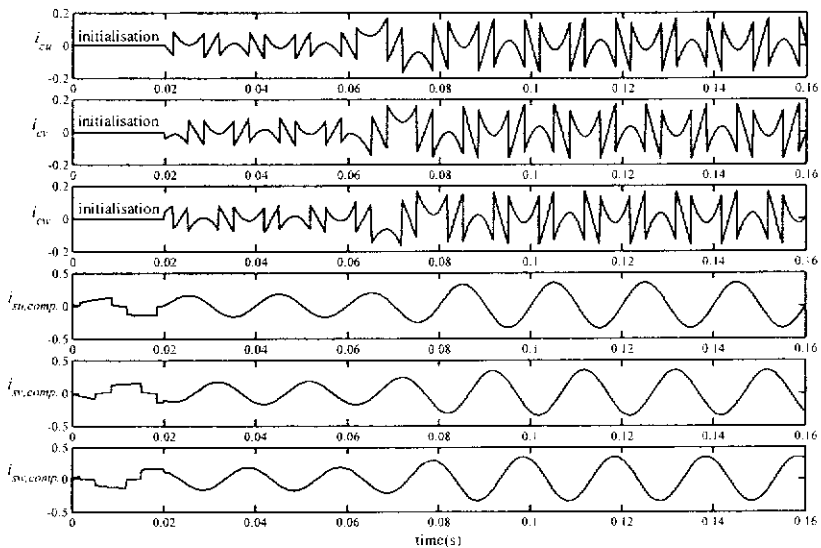
ก) แรงดันไฟฟ้าและกระแสไฟฟ้าที่แหล่งจ่ายกำลังไฟฟ้าหลักก่อนการซัดเชย



ข) ผลการจำลองสถานการณ์เมื่อใช้ราก DQ ในการระบุเอกสารกមน์หาร์มอนิก



ก) ผลการจำลองสถานการณ์เมื่อใช้วิธี SWFA ในการระบุเอกสารลักษณ์ชาร์มอนิก



ง) ผลการจำลองสถานการณ์เมื่อใช้วิธี DQF ในการระบุเอกสารลักษณ์ชาร์มอนิก

รูปที่ 3.5 ผลการจำลองสถานการณ์เมื่อระบบมีโหลดเป็นวงจรเรียงกระแสแบบเฟส
ที่มีโหลดเป็นความต้านทานต่ออนุกรมกับตัวเหนี่ยวนำ

รูปที่ 3.5 ก) การจำลองสถานการณ์ดังกล่าว กำหนดให้มีการสวิตช์โหลดความต้านทานที่ต่ออนุกรมกับตัวเหนี่ยวนำชุดที่สองต่อขนาดกับชุดที่หนึ่งที่เวลา 0.06 วินาที จึงส่งผลให้ค่าแอมเพิลิจูดของ $i_{su,uncomp.}$, $i_{sv,uncomp.}$ และ $i_{sw,uncomp.}$ มีค่าเพิ่มขึ้นตั้งแต่เวลา 0.06 วินาที ส่วนรูปคลื่นสัญญาณของกระแส i_{cu} , i_{cv} และ i_{cw} และกระแส $i_{su,comp.}$, $i_{sv,comp.}$ และ $i_{sw,comp.}$ ที่ได้จากการระบุเอกสารลักษณ์มาตรฐานนิกด้วยวิธี DQ SWFA และ DQF แสดงไว้ดังรูปที่ 3.5 ข) ถึง 3.5 ง) ตามลำดับ จากผลการจำลองสถานการณ์สามารถสังเกตได้ว่าก่อนการซัดเซย กระแส $i_{su,uncomp.}$, $i_{sv,uncomp.}$ และ $i_{sw,uncomp.}$ มีลักษณะบิดเบี้ยวไม่เป็นรูปสัญญาณไซน์ โดยคุณภาพจากรูปที่ 3.5 ก) ในขณะที่หลังการซัดเซยกระแส $i_{su,comp.}$, $i_{sv,comp.}$ และ $i_{sw,comp.}$ มีลักษณะใกล้เคียงรูปสัญญาณไซน์มากขึ้น ทั้งนี้อาจดูได้จากค่า %THD_i ในตารางที่ 3.2 โดยค่า %THD_i เคลื่อนก่อนการซัดเซยมีค่าเท่ากับ 28.52 เปอร์เซ็นต์ ซึ่งมีค่ามากกว่ามาตรฐาน IEEE Std. 519-1992 อุ่นมาก แต่ภายหลังการซัดเซย สังเกตได้ว่าการระบุเอกสารลักษณ์มาตรฐานนิกด้วยวิธี SWFA และ DQF ให้ผลการระบุเอกสารลักษณ์ได้ดีที่สุด จึงส่งผลให้การคำนวณนิกด้วยวิธีดังกล่าวมีค่าเท่ากับ 0 เปอร์เซ็นต์ ในขณะที่การซัดเซยที่ใช้วิธี DQ 在การระบุเอกสารลักษณ์มีค่า %THD_i เคลื่อนหลังการซัดเซยเท่ากับ 0.93 เปอร์เซ็นต์ ซึ่งมีค่ามากที่สุด และจากการจำลองสถานการณ์ผลการตอบสนองในสภาวะชั่วครู่ และค่า %unbalance พบว่ามีผลที่คล้ายคลึงกันที่ปรากฏในค่าอธิบายและอภิปรายผลในหัวข้อที่ผ่านมาแล้ว

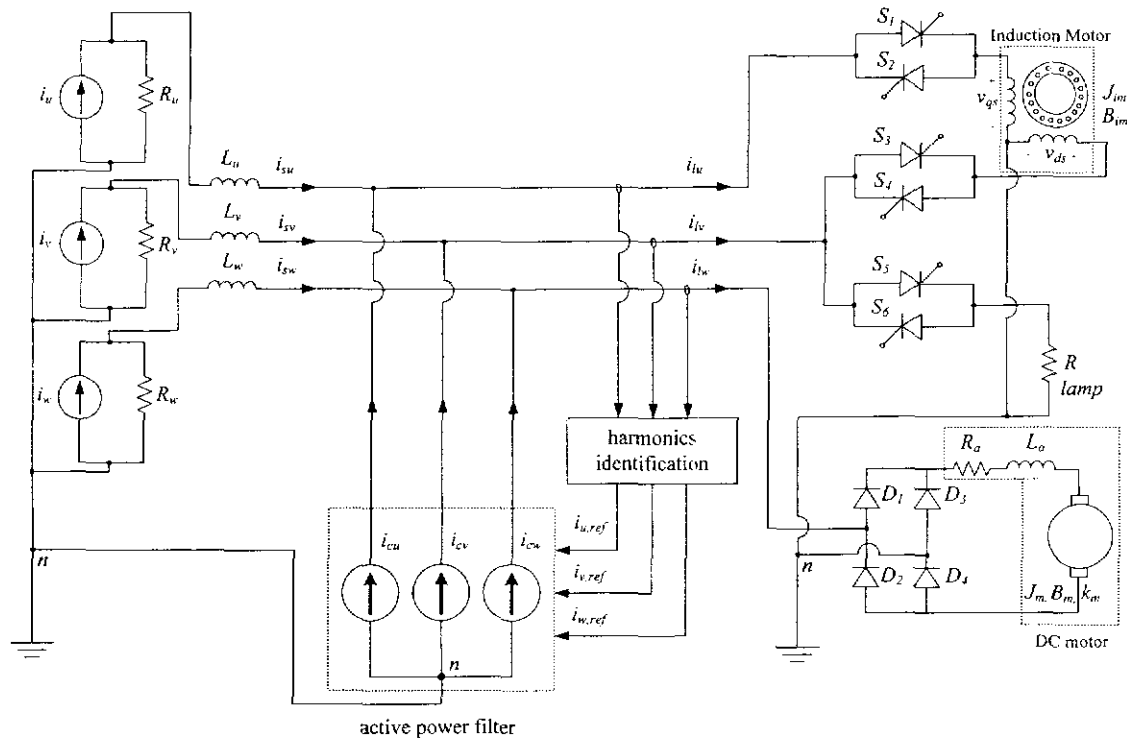
ตารางที่ 3.2 ผลการจำลองสถานการณ์ในสภาวะที่โหลดของระบบเป็นวงจรเรียงกระแสสามเฟส

ที่มีโหลดเป็นความต้านทานต่ออนุกรมกับตัวเหนี่ยวนำ

วิธีการระบุเอกสารลักษณ์มาตรฐานนิกด้วย	%THD _i เฟส u	%THD _i เฟส v	%THD _i เฟส w	%THD _i เฉลี่ย	i_{su} (rms)	i_{sv} (rms)	i_{sw} (rms)	unbalance (%)
ก่อนการซัดเซย	28.35	28.86	28.35	28.52	0.25	0.25	0.25	0
หลังการซัดเซย								
วิธี DQ	0.67	1.01	1.07	0.93	0.27	0.27	0.27	0
วิธี SWFA	0	0	0	0	0.24	0.24	0.24	0
วิธี DQF	0	0	0	0	0.24	0.24	0.24	0

ผลการจำลองสถานการณ์เมื่อระบบไฟฟ้าสามเฟสต่อ กับโหลดแบบไม่สมดุลในแต่ละเฟส

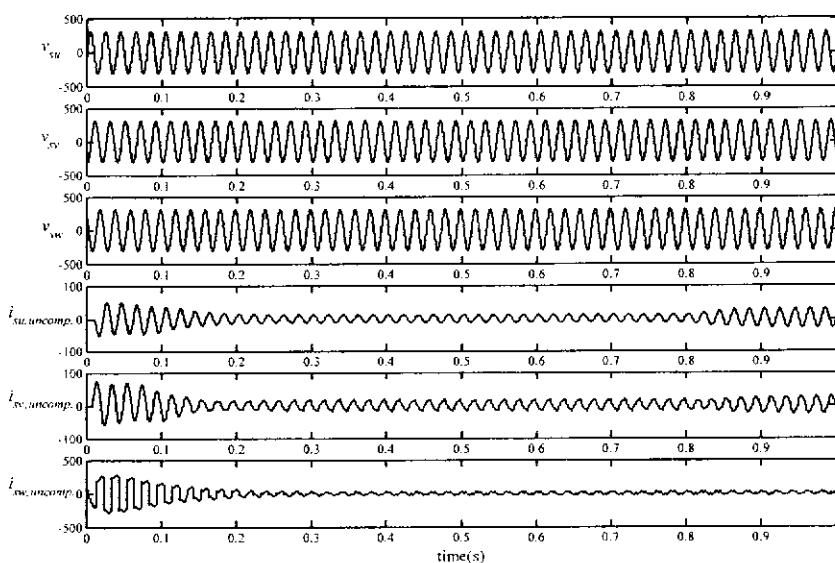
โครงสร้างของระบบที่ใช้ในการจำลองสถานการณ์การคำนวณนิกด้วยวิธีในหัวข้อนี้แสดงไว้ในรูปที่ 3.6 โดยค่า R_u , R_v และ R_w ที่ใช้ในการจำลองสถานการณ์มีค่าเท่ากับ 0.001 โอม ค่า L_u , L_v และ L_w มีค่าเท่ากับ 100 ไมโครเ亨รี ค่าพารามิเตอร์ต่างๆ ของมอเตอร์ไฟฟ้ากระแสตรงชนิด



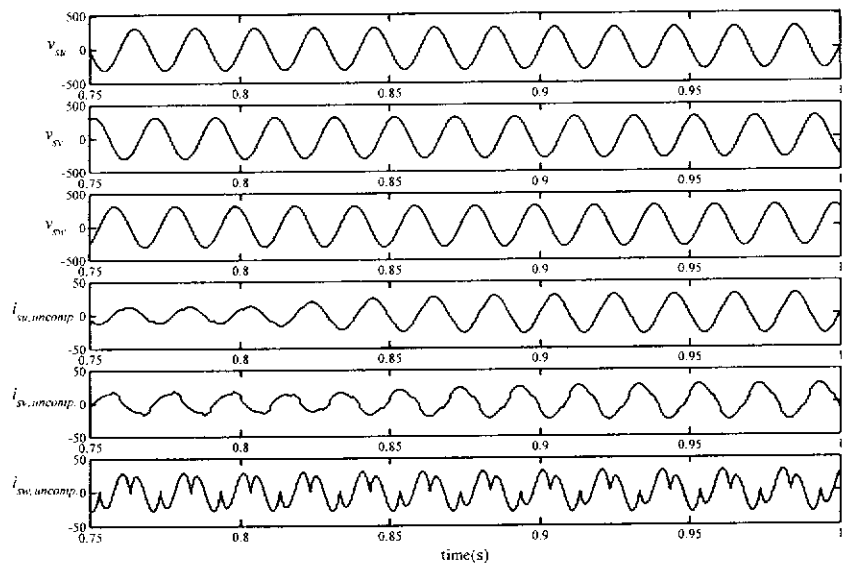
รูปที่ 3.6 โครงสร้างของระบบไฟฟ้าสามเฟสที่ต่อให้ลอดแบบไม่สมดุลในแต่ละเฟส

วงจรสามแยกส่วนมีค่า R_a เท่ากับ 0.6 โอม L_a เท่ากับ 8 มิลลิเอนรี J_m เท่ากับ 0.0465 กิโลกรัม \times เมตร² B_m เท่ากับ 0.004 นิวตัน \times เมตร \times วินาที/เรเดียน และค่า k_m เท่ากับ 0.55 นิวตัน \times เมตร/แอมป์ (Sousa and Bose, 1994) ส่วนค่าพารามิเตอร์ต่าง ๆ ของมอเตอร์ไฟฟ้ากระแสสลับ หนึ่งเฟสที่ใช้ในการจำลองสถานการณ์ประกอบด้วย ค่า r_{qs} เท่ากับ 2.6 โอม r_{ds} เท่ากับ 1.3 โอม r_{rr} เท่ากับ 2.01 โอม L_{mqs} เท่ากับ 0.2785 เ申รี ค่า L_{lr} เท่ากับ 0.0074 เ申รี ค่า L_{lqs} และ L_{lds} เท่ากับ 0.0053 เ申รี ค่า J_{im} เท่ากับ 0.3 กิโลกรัม \times เมตร² และค่า B_{im} เท่ากับ 0.005 นิวตัน \times เมตร \times วินาที/เรเดียน (Rahim, 2002) นอกจากนี้ในการจำลองสถานการณ์ กำหนดให้มุม จุดชนวนเกทของออสซิลาร์ S_1 , S_2 , S_3 และ S_4 ที่ควบคุมมอเตอร์ไฟฟ้ากระแสสลับในรูปที่ 3.6 มี ค่าเท่ากับ 20 องศา ในขณะที่มุมจุดชนวนเกทของออสซิลาร์ S_5 และ S_6 ที่ควบคุมความสว่างของ หลอดไฟที่แทนด้วยความต้านทาน R เท่ากับ 50 โอม มีค่าเท่ากับ 60 องศา รูปสัญญาณแรงดัน v_{su} , v_{sv} และ v_{sw} และกระแส $i_{su,uncomp.}$, $i_{sv,uncomp.}$ และ $i_{sw,uncomp.}$ ที่ได้จากการจำลองสถานการณ์ แสดงไว้ในรูปที่ 3.7 (ก) จากรูปดังกล่าวสังเกตได้ว่าในช่วง 0.3 วินาทีแรก $i_{su,uncomp.}$, $i_{sv,uncomp.}$ และ $i_{sw,uncomp.}$ มีค่าสูงมากและมีค่าลดลงเรื่อยๆ จนเข้าสู่สภาวะคงตัว ทั้งนี้เนื่องจากในช่วงเวลาดังกล่าว เป็นช่วงการเริ่มเดินเครื่องของมอเตอร์ไฟฟ้ากระแสตรงและมอเตอร์ไฟฟ้ากระแสสลับ การจำลอง สถานการณ์ดังกล่าว กำหนดให้มอเตอร์ไฟฟ้ากระแสตรงต่อกับโอลด์ 2 นิวตัน \times เมตร และมอเตอร์

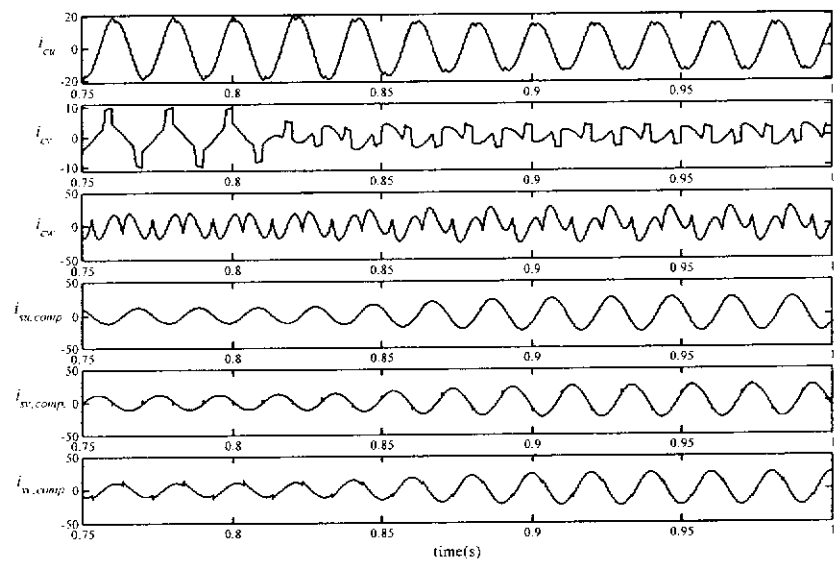
ไฟฟ้ากระแสสลับหนึ่งเฟสต่อกับโหลด 40 นิวตัน×เมตร ที่เวลาตั้งแต่ 0.8 วินาทีเป็นต้นไป ค่าวัยเหตุนี้ค่ากระแส $i_{su,uncomp.}$, $i_{sv,uncomp.}$ และ $i_{sw,uncomp.}$ จึงมีค่าค่อนข้างเพิ่มขึ้นตั้งแต่วินาทีที่ 0.8 เป็นต้นไป และเข้าสู่สภาวะคงดัวที่เวลาประมาณ 0.9 วินาที โดยคูณจากรูปที่ 3.7 (b) ที่เป็นการพิจารณาผลการจำลองสถานการณ์ตั้งแต่เวลาที่ 0.75 ถึง 1 วินาที ส่วนรูปสัญญาณของกระแส i_{cu} , i_{cv} และ i_{cw} และกระแส $i_{su,comp.}$, $i_{sv,comp.}$ และ $i_{sw,comp.}$ ที่ได้จากการระบุเอกสารนี้าร์มอนิกด้วยวิธี DQ SWFA และ DQF แสดงไว้ดังรูปที่ 3.7 (c) ถึง 3.7 (f) ตามลำดับ จากผลการจำลองสถานการณ์ดังกล่าวสังเกตได้ว่า ก่อนการขาดเชย กระแส $i_{su,uncomp.}$, $i_{sv,uncomp.}$ และ $i_{sw,uncomp.}$ มีลักษณะบิดเบี้ยวไม่เป็นรูปสัญญาณไขว้ และมีแอมเพลจูดไม่เท่ากัน ซึ่งส่งผลให้ระบบอยู่ในสภาวะไม่สมดุลก่อนการขาดเชย โดยคูณจากรูปที่ 3.7 (b) อีกทั้งค่า %unbalance ก่อนการขาดเชยในตารางที่ 3.3 มีค่าเท่ากับ 6.15 เปอร์เซ็นต์ ในขณะที่หลังการขาดเชยกระแส $i_{su,comp.}$, $i_{sv,comp.}$ และ $i_{sw,comp.}$ มีลักษณะใกล้เคียงรูปสัญญาณไขว้มากขึ้น ทั้งนี้อาจดูได้จากค่า %THD_s จากตารางที่ 3.3 โดยที่ค่า %THD_s เคลื่อนก่อนการขาดเชยมีค่าเท่ากับ 28.39 เปอร์เซ็นต์ แต่ภายหลังการขาดเชย สังเกตได้ว่าวิธี DQF ให้ข้อมูลปริมาณสาร์มอนิกที่มีความถูกต้องสูงที่สุด จึงนำไปสู่การคำนวณสาร์มอนิกได้ดีที่สุด โดยค่า %THD_s เคลื่อนหลังการขาดเชยที่อาศัยวิธีการระบุเอกสารลักษณ์ดังกล่าวมีค่าเท่ากับ 1.60 เปอร์เซ็นต์ นอกจากนี้เมื่อพิจารณาความสมดุลภายในหลังการขาดเชย พบร้า การขาดเชยสาร์มอนิกที่อาศัยวิธี DQF เป็นวิธีการระบุเอกสารลักษณ์สามารถลดภาระไฟฟ้า



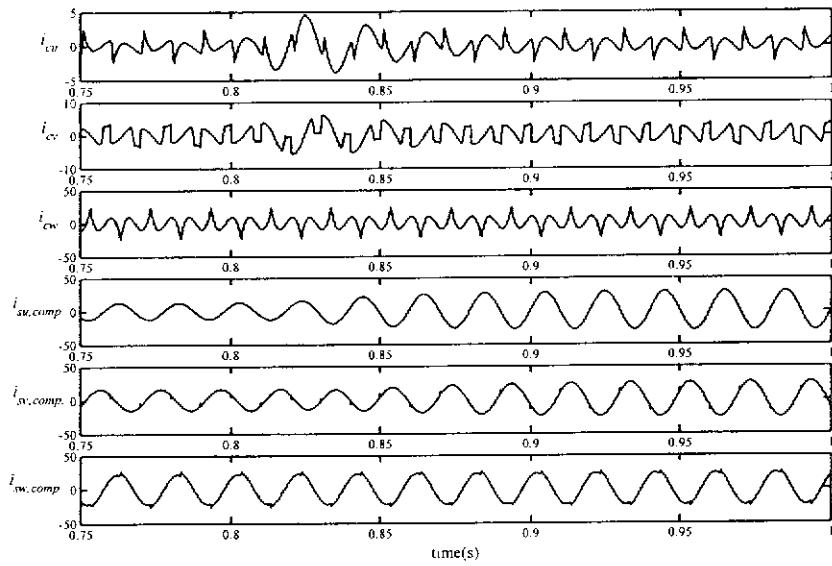
ก) แรงดันไฟฟ้าและกระแสไฟฟ้าที่เหลือจ่ายกำลังไฟฟ้าหลักก่อนการขาดเชย



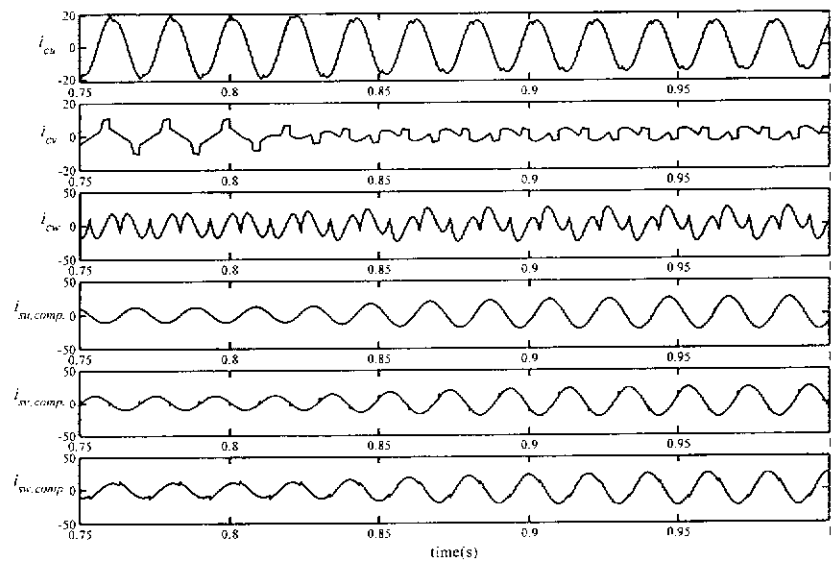
ข) แรงดันไฟฟ้าและกระแสไฟฟ้าที่เหลื่อยกำลังไฟฟ้าหลักก่อนการชดเชยเมื่อพิจารณาผลในช่วงเวลา 0.75 ถึง 1 วินาที



ค) ผลการจำลองสถานการณ์เมื่อใช้วิธี DQ ในการระบุเอกสารกัยษาร์มอนิก



ก) ผลการจำลองสถานการณ์เมื่อใช้วิธี SWFA ในการระบุเอกสารลักษณ์ชาร์มอนิก



ข) ผลการจำลองสถานการณ์เมื่อใช้วิธี DQF ในการระบุเอกสารลักษณ์ชาร์มอนิก

รูปที่ 3.7 ผลการจำจัดชาร์มอนิกเมื่อระบบไฟฟ้าสามเฟสต่อกับโหลดแบบไม่สมดุล
ในแต่ละเฟส

ตารางที่ 3.3 ผลการจำลองสถานการณ์ในสภาวะที่ระบบไฟฟ้าสามเฟสต่อ กับ โหลดแบบไม่สมดุล
ในแต่ละเฟส

วิธีการระบุเอกสารกษณ์ สาร์มอนิก	%THD _i เฟส u	%THD _i เฟส v	%THD _i เฟส w	%THD _i เฉลี่ย	i_{su} (rms)	i_{sv} (rms)	i_{sw} (rms)	unbalance (%)
ก่อนการชดเชย	3.68	10.52	47.89	28.39	20.96	18.79	19.49	6.15
หลังการชดเชย								
วิธี DQ	1.02	1.59	4.55	2.84	17.65	17.08	17.13	2.10
วิธี SWFA	0.16	1.31	2.74	1.76	20.89	18.59	17.48	10.03
วิธี DQF	0.14	1.46	2.35	1.60	16.68	16.65	16.70	0.16

สมดุลภายหลังการชดเชยได้ดีที่สุด ซึ่งค่า %unbalance ที่แสดงไว้ในตารางที่ 3.3 มีค่าเท่ากับ 0.16 เปอร์เซ็นต์ ในขณะที่การชดเชยสาร์มอนิกที่ใช้วิธี SWFA ในการระบุเอกสารกษณ์ไม่สามารถรักษาสภาพสมดุลภายหลังการชดเชยได้เลย ซึ่งค่า %unbalance ที่แสดงไว้ในตารางที่ 3.3 มีค่าเท่ากับ 10.03 เปอร์เซ็นต์ ส่วนการชดเชยสาร์มอนิกที่อาศัยวิธี DQ ใน การระบุเอกสารกษณ์ สามารถรักษาสภาพสมดุลได้บ้างภายหลังการชดเชย แต่ไม่ดีเท่ากับการชดเชยที่ใช้วิธี DQF ใน การระบุเอกสารกษณ์ สาเหตุที่การชดเชยสาร์มอนิกที่ใช้วิธี SWFA ในการระบุเอกสารกษณ์ไม่สามารถรักษาสภาพสมดุลไว้ได้ภายในหลังการชดเชย เนื่องจาก การชดเชยที่อาศัยวิธีการระบุเอกสารกษณ์สาร์มอนิกดังกล่าว ไม่มีการคำนวณค่ากระแสซีเควนซ์ศูนย์ (zero sequence) เมื่อเทียบกับวิธี DQF ซึ่งในสภาวะไม่สมดุลของระบบ จะมีค่ากระแสซีเควนซ์ศูนย์เกิดขึ้น และถ้าไม่มีการชดเชยกระแสดังกล่าว ค่ากระแสซีเควนซ์ศูนย์จะบังปรากฏอยู่ทำให้ระบบนั้นคงอยู่ในสภาวะไม่สมดุล นอกจากนี้เมื่อพิจารณาผลการจำลองสถานการณ์ในสภาวะชั่วครู่ สังเกตได้ว่า เมื่อมอเตอร์ไฟฟ้ากระแสตรง และมอเตอร์ไฟฟ้ากระแสสลับหนึ่งเฟส เริ่มขับโหลดที่เวลา 0.8 วินาที กระแส i_{cu} , i_{cv} และ i_{cw} ที่ได้จากการระบุเอกสารกษณ์สาร์มอนิกในแต่ละวิธี ดังรูปที่ 3.7 (ค) ถึง 3.7 (จ) เริ่มมีการเปลี่ยนแปลงที่เวลาดังกล่าวด้วยเห็นได้ จนกระทั่งเข้าสู่สภาวะคงตัวที่เวลา 0.9 วินาที ทั้งนี้เนื่องจาก การระบุเอกสารกษณ์สาร์มอนิกด้วยวิธีการต่างๆ ที่นำเสนอ มีการปรับเปลี่ยนปริมาณสาร์มอนิกที่ได้จากการระบุเอกสารกษณ์ ตามการเปลี่ยนแปลงของค่ากระแส $i_{su,uncomp}$, $i_{sv,uncomp}$ และ $i_{sw,uncomp}$. ด้วยเหตุนี้จึงส่งผลให้กระแส $i_{su,comp}$, $i_{sv,comp}$ และ $i_{sw,comp}$ ภายหลังการชดเชย มีลักษณะใกล้เคียงรูปสัญญาณโซน์ ถึงแม้จะมีการเปลี่ยนแปลงโหลดอย่างฉับพลัน

การจำลองสถานการณ์การกำจัดสาร์มอนิกที่นำเสนอในบทนี้ ระบบที่ใช้ทดสอบอัลกอริทึมการระบุเอกสารกษณ์สาร์มอนิก 3 วิธี มีทั้งหมด 3 ระบบด้วยกัน โดยในส่วนแรกเป็นระบบที่อยู่ในสภาวะสมดุลก่อนการชดเชย และในส่วนที่สองเป็นระบบที่อยู่ในสภาวะไม่สมดุลก่อนการชดเชย

จากผลการจำลองสถานการณ์ พบว่า วิธี DQF และ SWFA ให้ผลการระบุเอกสารลักษณ์สาร์มอนิกได้ดีที่สุด จึงส่งผลให้กำจัดสาร์มอนิกที่เกิดขึ้น ได้มากที่สุดในทุกสภาวะของระบบที่มีการทดสอบ ในขณะที่การขาดเชยที่อาศัยวิธี DQ ใน การระบุเอกสารลักษณ์ให้ผลการกำจัดสาร์มอนิกอยู่ในกรอบมาตรฐานของ IEEE Std. 519-1992 ในทุกสภาวะของระบบที่มีการทดสอบ แต่ผลการกำจัดสาร์มอนิกไม่ดีเมื่อเทียบ กับการขาดเชยที่อาศัยวิธี DQF และ SWFA ใน การระบุเอกสารลักษณ์ ทั้งนี้อาจเนื่องมาจากการวิธี DQ ใช้วงจรกรองผ่านสูงในการแยกองค์ประกอบสาร์มอนิก ออกจากองค์ประกอบมูลฐาน ซึ่งการใช้วงจรดังกล่าว ไม่สามารถแยกองค์ประกอบสาร์มอนิกได้อย่างสมบูรณ์ ในงานวิจัยนี้ได้ใช้ความถี่ตัดของวงจร ดังกล่าวเท่ากับ 5 เฮิรตซ์ ซึ่งเป็นค่าที่ได้ทดสอบด้วยการลองผิดลองถูก แล้วพบว่าสามารถแยก องค์ประกอบสาร์มอนิก ออกจากองค์ประกอบมูลฐาน ได้ค่อนข้างดี ถ้าพิจารณาการรักษาสภาวะ สมดุลหลังการขาดเชย สังเกตได้ว่า การขาดเชยที่ใช้วิธี DQF ระบุเอกสารลักษณ์ สามารถทำให้ระบบที่อยู่ ในสภาวะไม่สมดุลก่อนการขาดเชย กลับสู่สภาวะสมดุลหลังการขาดเชยได้ ส่วนการขาดเชยที่อาศัยวิธี DQ ใน การระบุเอกสารลักษณ์ สามารถรักษาสภาวะสมดุลหลังการขาดเชยได้ เช่นกัน แต่ไม่ดีเท่ากับวิธี DQF ส่วนการขาดเชยที่ใช้วิธี SWFA ใน การระบุเอกสารลักษณ์ ไม่สามารถรักษาสภาวะสมดุล ได้เลย ทั้งนี้ เนื่องมาจากการวิธี SWFA ไม่มีการคำนวณกระแสซีเรเวนซ์ศูนย์ ซึ่งทำให้วงจรกรองกำลังแยกทีฟไม่ สามารถฉีดกระแสซีเรเวนซ์ในส่วนนี้ได้ จากผลดังกล่าวข้างต้น งานวิจัยนี้ได้กำหนดเกณฑ์ในการชี้วัด สมรรถนะของการระบุเอกสารลักษณ์สาร์มอนิก โดยมีค่า %THD_d และค่า %unbalance หลังการขาดเชย เป็นตัวบ่งชี้ เกณฑ์ดังกล่าว ได้รับการแสดงไว้ในตารางที่ 3.4 ส่วนตารางที่ 3.5 แสดงคุณภาพ สมรรถนะของการใช้วิธีระบุเอกสารลักษณ์สาร์มอนิกแต่ละวิธี ซึ่งอาจสรุปได้ว่าการขาดเชยที่อาศัยการ ระบุเอกสารลักษณ์สาร์มอนิกด้วยวิธี DQF ให้ผลการกำจัดสาร์มอนิกได้ดีที่สุด และสามารถรักษาสภาวะ สมดุลของระบบสามเหลี่ยมหลังการขาดเชยได้อีกด้วย ถ้าพิจารณาผลการจำลองสถานการณ์ใน สภาวะชั่วครู่ ของระบบต่าง ๆ ที่ใช้ทดสอบอัลกอริทึมการระบุเอกสารลักษณ์สาร์มอนิก 3 วิธี พบว่า การ ขาดเชยสาร์มอนิกที่อาศัยวิธีการระบุเอกสารลักษณ์วิธีต่าง ๆ ให้ผลการขาดเชยเป็นที่น่าพอใจถึงแม้ว่ามีการ เปลี่ยนแปลงโหลดของระบบอย่างฉับพลัน การระบุเอกสารลักษณ์ทั้ง 3 วิธี ยังสามารถให้ข้อมูลสาร์มอนิกที่เปลี่ยนแปลงตามสภาวะโหลดของระบบได้อย่างดี แต่ระยะเวลาในการถูเข้าสู่สภาวะคงตัวที่ใช้ การระบุเอกสารลักษณ์สาร์มอนิกวิธี ต่าง ๆ มีค่าไม่เท่ากัน ทั้งนี้ขึ้นอยู่กับโครงสร้างของการระบุ เอกสารลักษณ์สาร์มอนิกในแต่ละวิธี ซึ่งได้แทรกการอธิบายไว้แล้วในแต่ละหัวข้อ

ตารางที่ 3.4 เกณฑ์ในการชี้วัดสมรรถนะการระบุเอกสารลักษณ์สาร์มอนิก

เกณฑ์	ค่า %THD	ค่า %unbalance
ดีมาก	$THD \leq 10^{-4} \approx 0\%$	$unbalance \leq 10^{-4} \approx 0\%$
ดี	$10^{-4} \approx 0\% < THD < 5\%$	$10^{-4} \approx 0\% < unbalance < 5\%$
ใช้ไม่ได้	$THD \geq 5\%$	$unbalance \geq 5\%$

ตารางที่ 3.5 สมรรถนะของการระบุเอกสารลักษณ์สาร์มอนิกในแต่ละวิธี

สภาวะโภลดของระบบ	วิธี DQ	วิธี SWFA	วิธี DQF
	สมรรถนะในด้านการกำจัดสาร์มอนิก		
วงจรเรียงกระแสสามเฟสที่มีโภลด เป็นความต้านทานเพียงอย่างเดียว	ดี	ดีมาก	ดีมาก
วงจรเรียงกระแสสามเฟสที่มีโภลด เป็นความต้านทานต่อร่วมกับตัวเหนี่ยวนำ	ดี	ดีมาก	ดีมาก
ระบบไฟฟ้าสามเฟสที่ต่อโภลดแบบไม่สมดุล	ดี	ดี	ดี
สภาวะโภลดของระบบ	สมรรถนะในด้านการรักษาสภาวะสมดุลหลังกำจัดสาร์มอนิก		
ระบบไฟฟ้าสามเฟสที่ต่อโภลดแบบไม่สมดุล	ดี	ใช้ไม่ได้	ดี

สรุป

ผลการจำลองสถานการณ์การกำจัดสาร์มอนิกที่นำเสนอในบทนี้ เป็นการเปรียบเทียบ สมรรถนะของการระบุเอกสารลักษณ์สาร์มอนิกแต่ละวิธี ซึ่งด้วยชี้วัดสมรรถนะดังกล่าวพิจารณาจากค่า %THD และค่า %unbalance หลังการซัดเชย ซึ่งจากผลการจำลองสถานการณ์พบว่า วิธี DQF เป็นวิธีการระบุเอกสารลักษณ์ที่ดีที่สุด เมื่อเปรียบเทียบกับวิธี DQ และ SWFA วิธี DQF ที่พัฒนาขึ้นนี้สามารถให้ข้อมูลสาร์มอนิกที่มีความถูกต้องมากที่สุด นำไปสู่การกำจัดสาร์มอนิกที่เกิดขึ้นในระบบได้ดีที่สุด รวมถึงสามารถรักษาสภาวะสมดุลหลังการซัดเชยได้อย่างดี

บทที่ 4

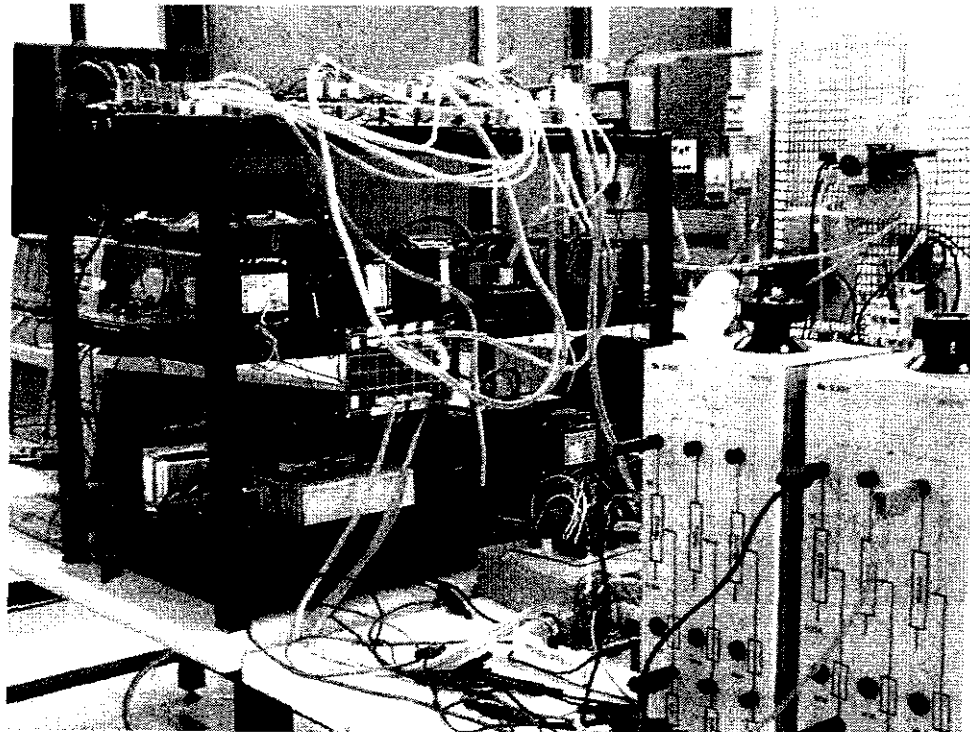
ผลการทดสอบการกำจัดอาร์มอนิก

กล่าวนำ

บทนี้นำเสนอเนื้อหาผลการทดสอบ และอภิปรายผล วิธีการระบุเอกสารลักษณ์สาร์มอนิก DQF ได้รับการอนุวัตลงบนหน่วยประมวลผลสัญญาณ DSP รุ่น eZdsp™ F2812 วงจรรองกำลังแอกทีฟมีรูปแบบเป็นวงจรขยายกำลัง มีอัตราพิกัด 150 วัตต์ ที่สามารถให้การตอบสนองทางความถี่รวมเรียงมากที่สุด ดังที่แสดงไว้ในภาคผนวก ๒. กลไกการกำจัดสาร์มอนิก จึงมีลำดับขั้นดังนี้ คือ เริ่มต้นจาก การนำผลวัดกระแสแต่ละเฟสไปผ่านกระบวนการระบุเอกสารลักษณ์สาร์มอนิกด้วยวิธี DQF ซึ่งดำเนินการโดย DSP eZdsp™ F2812 จากนั้นจึงนำกระแสแซดเชยกำลังต่ำจาก DSP ไปผ่านการขยายกำลัง และฉีดกระแสแซดเชยที่ขยายกำลังแล้วเข้าสู่ระบบ โหลดไม่เป็นเชิงเส้นของระบบที่ใช้ทดสอบ เป็นวงจรเรียงกระแสสามเฟสที่มีโหลดเป็นความต้านทานเพียงอย่างเดียว และโหลดเป็นความต้านทานต่ออนุกรมกับตัวเหนี่ยวนำ ซึ่งเป็นตัวแทนของโหลดทางไฟฟ้ากำลัง เช่น เครื่องจักรกล ไฟฟ้า เป็นต้น

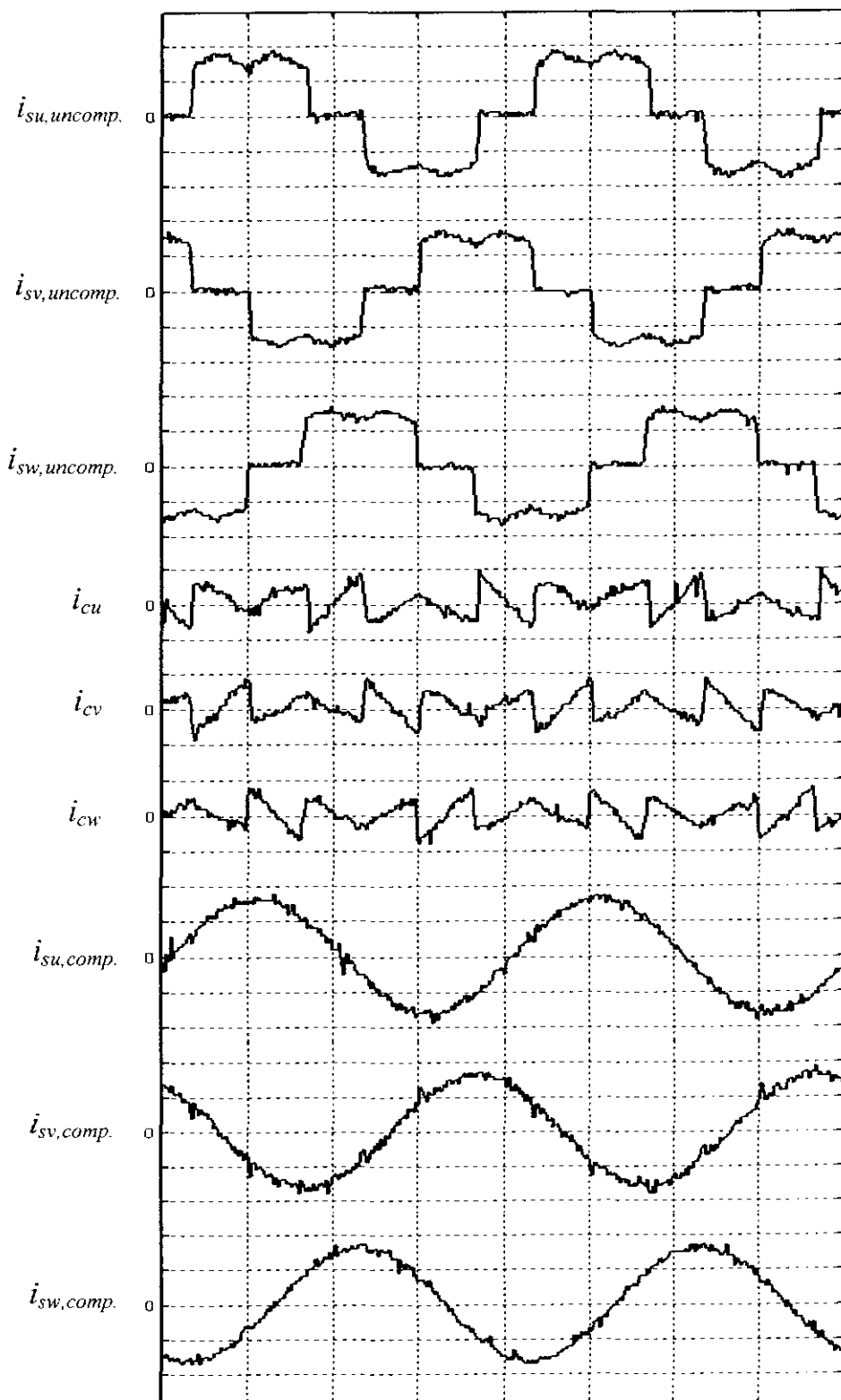
ผลการทดสอบกรณีโหลดของวงจรเรียงกระแสเป็นความต้านทานเพียงอย่างเดียว

ผลการทดสอบการกำจัดสาร์มอนิก ที่นำเสนอในหัวข้อนี้ ระบบที่ใช้ในการทดสอบมีโหลดไม่เป็นเชิงเส้นเป็นวงจรเรียงกระแสสามเฟสที่มีโหลดหนึ่งชุดเป็นความต้านทาน การทดสอบดังกล่าว มีการลดพิกัดแรงดันไฟฟ้าของระบบสามเฟส จาก 220 โวลต์อาร์เอมแอลในแต่ละเฟส เหลือเพียง 60 โวลต์อาร์เอมแอล หั้งนี้เพื่อลดพิกัดของอุปกรณ์อิเล็กทรอนิกส์ที่ใช้สำหรับการสร้างวงจรรองกำลัง แอกทีฟ และเพื่อความปลอดภัย ความต้านทานหนึ่งชุดที่เป็นโหลดของวงจรเรียงกระแสมีขนาด 400 โอห์ม รูปที่ 4.1 แสดงแผนภาพของระบบต้นแบบที่พัฒนาขึ้นเพื่อการทดสอบนี้ ผลการทดสอบของระบบได้รับการแสดงไว้ในรูปที่ 4.2 สเกลแกนตอนของรูปที่ 4.2 เป็น 5 มิลลิวินาทีต่อช่อง ในขณะที่ สเกลแกนตั้งเป็น 0.2 แมมนัปร์ต่อช่อง จากรูปดังกล่าว กระแสไฟฟ้าก่อนการชดเชย ($i_{su,uncomp.}, i_{sv,uncomp.}$ และ $i_{sw,uncomp.}$) มีลักษณะบิดเบี้ยวไม่เป็นรูปสัญญาณไซน์ โดยที่ค่า %THD_s ในแต่ละเฟส คูณได้จากตารางที่ 4.1 ค่า %THD_s เคลื่อนก่อนการชดเชยมีค่าเท่ากับ 28.28 เปอร์เซ็นต์ และ ภายในหลังการชดเชยสาร์มอนิก รูปสัญญาณกระแสไฟฟ้าหลังการชดเชย ($i_{su,comp.}, i_{sv,comp.}$ และ $i_{sw,comp.}$) มีลักษณะใกล้เคียงรูปสัญญาณไซน์บริสุทธิ์อย่างมาก ข้อมูลต้าน %THD_s ในแต่ละเฟส และ %THD_s เคลื่อนหลังการชดเชย คูณได้จากตารางที่ 4.1 ค่า %THD_s เคลื่อนหลังการชดเชยมีค่าเท่ากับ 2.64 เปอร์เซ็นต์ ซึ่งมีค่าลดลงอย่างมากเมื่อเทียบกับสภาวะก่อนมีการชดเชย เมื่อนำค่ากระแสไฟฟ้าก่อน และหลังการชดเชยของเฟส ๑ ไปวิเคราะห์หาสเปกตรัม เพื่อคุณภาพสาร์มอนิกที่เกิดขึ้น ซึ่งแสดงไว้

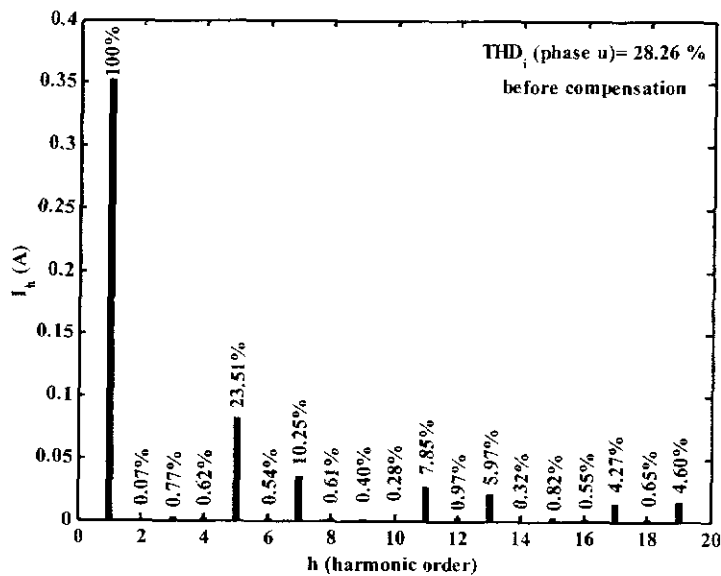


รูปที่ 4.1 ระบบที่ใช้ทดสอบการกำจัดสารมอนิกของงานวิจัย

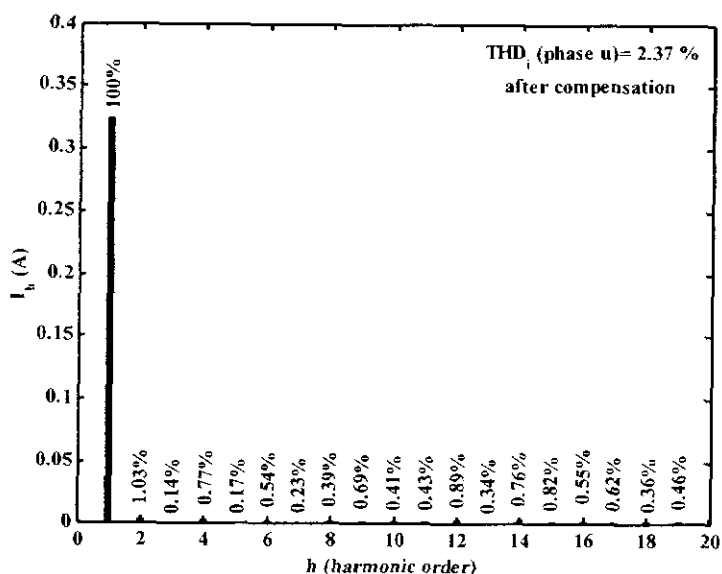
ในรูปที่ 4.3 แกนนอนของรูปดังกล่าว คือ ลำดับสารมอนิก (b) แกนตั้ง คือ ค่ากระแสสูงสุดแต่ละลำดับสารมอนิก (I_b) จากรูปที่ 4.3 สังเกตได้ว่า ก่อนการทดสอบสารมอนิกลำดับที่ 5 7 11 13 17 และ 19 มีปริมาณมากอย่างเห็นได้ชัด เมื่อเทียบกับปริมาณสารมอนิกที่ลำดับอื่น ๆ และมีค่าเกินกรอบมาตรฐานของ IEEE Std.519-1992 แต่ภายหลังการทดสอบ ปริมาณสารมอนิกที่ลำดับต่าง ๆ เหล่านี้มีค่าลดลงอย่างมาก โดยปริมาณสารมอนิกลำดับที่ 5 มีค่าลดลงจาก 23.51 เปอร์เซ็นต์ เหลือเพียง 0.17 เปอร์เซ็นต์ ลำดับที่ 7 ลดลงจาก 10.25 เปอร์เซ็นต์ เหลือ 0.23 เปอร์เซ็นต์ ลำดับที่ 11 ลดลงจาก 7.85 เปอร์เซ็นต์ เหลือ 0.43 เปอร์เซ็นต์ ลำดับที่ 13 ลดลงจาก 5.97 เปอร์เซ็นต์ เหลือ 0.34 เปอร์เซ็นต์ ลำดับที่ 17 ลดลงจาก 4.27 เปอร์เซ็นต์ เหลือ 0.62 เปอร์เซ็นต์ และลำดับที่ 19 ลดลงจาก 4.60 เปอร์เซ็นต์ เหลือ 0.46 เปอร์เซ็นต์ ซึ่งภายหลังการทดสอบ ปริมาณสารมอนิกที่ลำดับต่างๆ และค่า %THD_r อยู่ในกรอบมาตรฐานของ IEEE Std.519-1992 ส่วนผลการวิเคราะห์สเปกตรัม เพื่อคุณภาพสารมอนิก สำหรับไฟสี v และ w จะมีลักษณะในทำนองเดียวกับไฟสี n จึงไม่ได้นำเสนอไว้ ณ ที่นี่ และเมื่อพิจารณาความสมดุลก่อนและหลังการทดสอบ สังเกตได้ว่า ในสภาวะก่อนการทดสอบมีความไม่สมดุลเกิดขึ้นเล็กน้อย โดยดูได้จากค่า %unbalance ในตารางที่ 4.1 มีค่าเท่ากับ 6.85 เปอร์เซ็นต์ แต่ภายหลังการทดสอบปรากฏว่าค่า %unbalance มีค่าเท่ากับ 0 เปอร์เซ็นต์ ซึ่งหมายถึง ภายนอกการทดสอบระบบ



รูปที่ 4.2 ผลการทดสอบกรฟี โหลดของวงจรเรียงกระแสเป็นความต้านทานเพียงอย่างเดียว
(สเกลในแกนนอนเท่ากับ 5 ms/div. แกนตั้งเท่ากับ 0.2 A/div.)



ก) ก่อนการซัดเชย



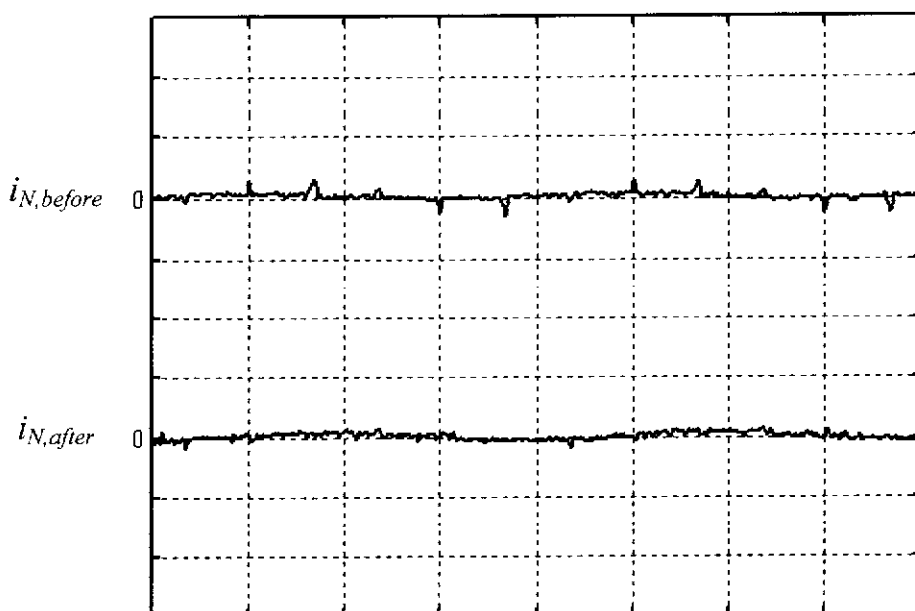
ข) หลังการซัดเชย

รูปที่ 4.3 สเปกตรัมของกระแสไฟฟ้าไฟส น ก่อนและหลังการซัดเชยกรณีโอลด
ของวงจรเรียงกระแสเป็นความต้านทานเพียงอย่างเดียว

อยู่ในสภาพแวดล้อมที่มีความสมดุล ทั้งนี้เป็นผลเนื่องจากผลกระทบจากภายนอกลักษณะของมนติกิใช้เครื่อง DQF ซึ่งเป็นวิธีที่มีการคำนวณกระแสเชิงคุณค่าสูงขึ้น ดังนั้นกระแสอ้างอิงที่คำนวณได้จะรวมผลการลดเชิงกระแสเชิงคุณค่าดังกล่าวด้วย จึงส่งผลให้ระบบภายในห้องแม่เหล็กไฟฟ้าในสภาพแวดล้อมนอกเหนือจากนี้ในงานวิจัยมีการตรวจวัดสัญญาณกระแสไฟฟ้าในสายนิวทรัลก่อนการลดเชย ($i_{N,before}$) และหลังการลดเชย ($i_{N,after}$) ซึ่งจากการตรวจพบว่าไม่มีกระแสไฟฟ้าในสายนิวทรัลภายในห้องแม่เหล็กไฟฟ้า ดังผลการตรวจวัดที่แสดงไว้ในรูปที่ 4.4 อาจกล่าวได้ว่า ผลการทดสอบทางปฏิบัติในกรณีนี้ ให้ผลคือย่างน่าพึงพอใจมาก ตลอดจนผลลัพธ์มีความสอดคล้องกับผลการจำลองสถานการณ์ที่ได้นำเสนอไว้ก่อนหน้านี้

ตารางที่ 4.1 ผลการทดสอบการกำจัดมนติกิในสภาพที่โหลดของระบบเป็นวงจรเรียงกระแส สามเฟสที่มีโหลดเป็นความต้านทานเพียงอย่างเดียว

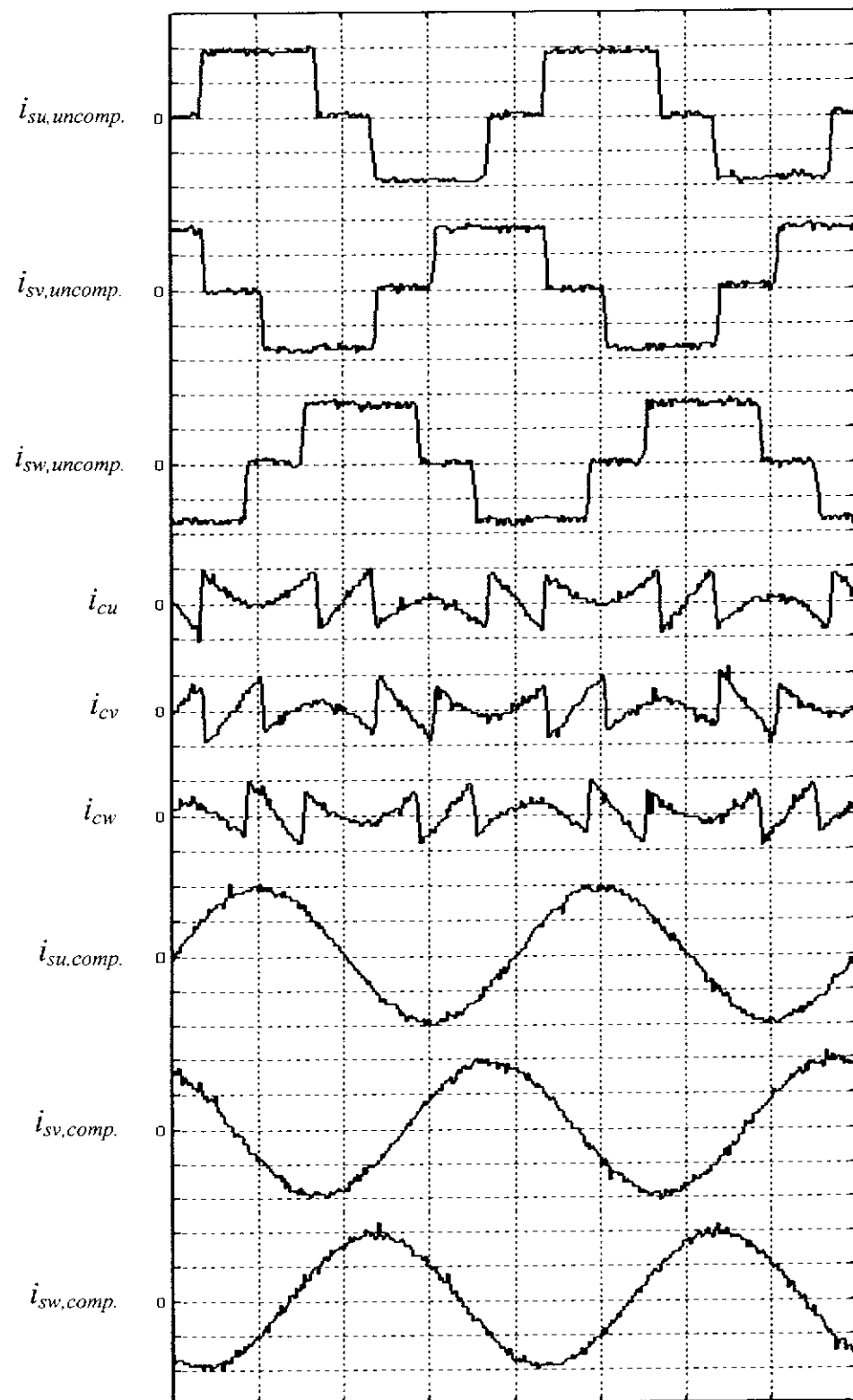
สภาพของระบบ	%THD _i เฟส u	%THD _i เฟส v	%THD _i เฟส w	%THD _i เฉลี่ย	i_{su} (rms)	i_{sv} (rms)	i_{sw} (rms)	unbalance (%)
ก่อนการลดเชย	28.26	28.31	28.28	28.28	0.26	0.24	0.23	6.85
หลังการลดเชย	2.37	2.43	3.06	2.64	0.23	0.23	0.23	0



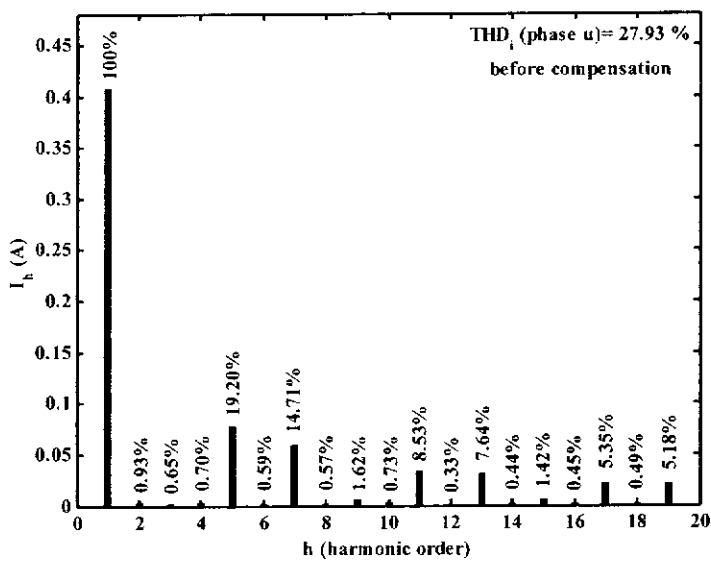
รูปที่ 4.4 รูปคลื่นกระแสในสายนิวทรัลก่อนและหลังการลดเชยกรณีโหลดเป็นความต้านทาน (สเกลในแกนนอนเท่ากับ 5 ms/div. แกนตั้งเท่ากับ 0.2 A/div.)

ผลการทดสอบกรณีโหลดของวงจรเรียงกระแสเป็นความต้านทานต่ออนุกรมกับตัวเหนี่ยวนำ

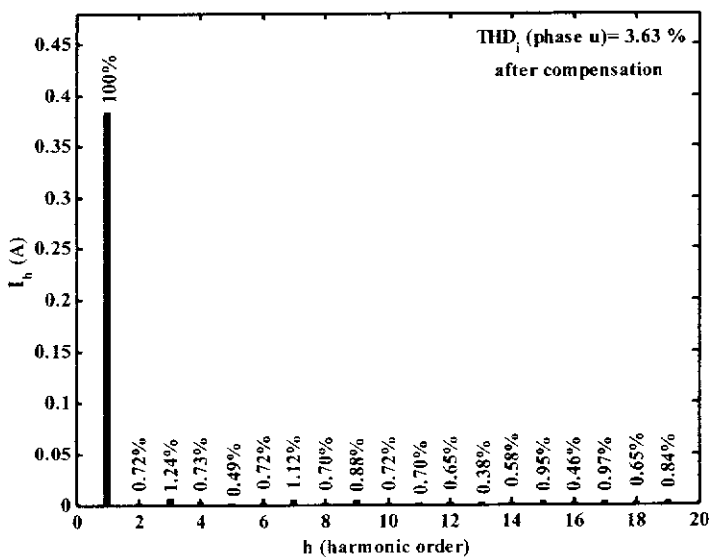
ระบบที่ใช้ในการทดสอบการกำจัดสาร์มอนิกในหัวข้อนี้ โหลดไม่เป็นเชิงเดี่ยวนี้เป็นวงจรเรียงกระแสสามเฟสที่มีโหลดหนึ่งชุดเป็นความต้านทานต่ออนุกรมกับตัวเหนี่ยวนำ พิกัดแรงดันไฟฟ้าที่ใช้ในการทดสอบเหมือนกันกับที่ได้อธิบายไว้ในหัวข้อที่ผ่านมา ความต้านทานที่ใช้เป็นโหลดให้กับวงจรเรียงกระแสสามเฟสมีขนาด 300 โอม์ ในขณะที่ตัวเหนี่ยวนำมีขนาด 1.95 เอ็นรี รูปคลื่นสัญญาณต่างๆ ที่บันทึกไว้จากการทดสอบ ได้รับการแสดงไว้ในรูปที่ 4.5 ซึ่งสังเกตได้ว่ากระแสไฟฟ้าก่อนการขาดเชยมีลักษณะบิดเบี้ยวไม่เป็นรูปคลื่นไอน์ มีค่า %THD, เหลือก่อนการขาดเชยเท่ากับ 27.98 เปอร์เซ็นต์ ดังตารางที่ 4.2 ภายหลังการขาดเชยกระแสไฟฟ้าที่แหล่งจ่ายกำลังไฟฟ้าหลักมีลักษณะใกล้เคียงรูปคลื่นไอน์บริสุทธิ์อย่างมาก ซึ่งค่า %THD, เหลือหลังการขาดเชยเท่ากับ 2.79 เปอร์เซ็นต์ ซึ่งลดลงอย่างมาก เมื่อเปรียบเทียบกับสภาวะก่อนการขาดเชย และเมื่อคำนวณวิเคราะห์สเปกตรัม เพื่อหาปริมาณสาร์มอนิก ก่อนและหลังการขาดเชยของเฟส n ในทำนองเดียวกันกับหัวข้อก่อนหน้านี้ จะได้สเปกตรัมดังรูปที่ 4.6 โดยก่อนการขาดเชยปริมาณสาร์มอนิกลำดับที่ 5 7 11 13 17 และ 19 มีค่าเกินขอบเขตมาตรฐานของ IEEE Std.519-1992 อุ่นมากแต่หลังการขาดเชย ปริมาณสาร์มอนิกลำดับที่ 5 ลดลงจาก 19.20 เปอร์เซ็นต์ เหลือ 0.49 เปอร์เซ็นต์ลำดับที่ 7 ลดลงจาก 14.71 เปอร์เซ็นต์ เหลือ 1.12 เปอร์เซ็นต์ ลำดับที่ 11 ลดลงจาก 8.53 เปอร์เซ็นต์ เหลือ 0.70 เปอร์เซ็นต์ ลำดับที่ 13 ลดลงจาก 7.64 เปอร์เซ็นต์ เหลือ 0.38 เปอร์เซ็นต์ ลำดับที่ 17 ลดลงจาก 5.35 เหลือ 0.97 เปอร์เซ็นต์ และลำดับที่ 19 ลดลงจาก 5.18 เปอร์เซ็นต์ เหลือ 0.84 เปอร์เซ็นต์ จากผลดังกล่าวข้างต้น ปริมาณสาร์มอนิกเหล่านี้ มีค่าลดลง และอยู่ในกรอบมาตรฐานของ IEEE Std.519-1992 ส่วนผลการวิเคราะห์สเปกตรัม เพื่อคุณปริมาณสาร์มอนิกสำหรับเฟส v และ w จะมีลักษณะในทำนองเดียวกันกับเฟส n จึงไม่ได้นำเสนอไว้ ทั้งนี้ และเมื่อพิจารณาความสมดุลของระบบ ก่อนและหลังการขาดเชย สังเกตได้ว่าที่สภาวะก่อนการขาดเชยระบบมีความไม่สมดุลเกิดขึ้นบ้างเล็กน้อย โดยคูณจาก %unbalance มีค่าเท่ากับ 5.88 เปอร์เซ็นต์ ในตารางที่ 4.2 แต่ภายหลังการขาดเชยระบบกลับเข้าสู่สภาวะสมดุล และมีค่า %unbalance ภายหลังการขาดเชยเท่ากับ 0 เปอร์เซ็นต์ ทั้งนี้เนื่องจากกระบวนการเริ่มต้นกลับคืนสู่ภาวะสมดุล แก้ไขโดยการลดความต้านทานของวงจร ที่ต้องการจะลดลง จึงส่งผลให้ภายหลังการขาดเชยระบบจะอยู่ในสภาวะสมดุล (รายละเอียดต่างๆ เกี่ยวกับการความสมดุลหลังการขาดเชยที่ใช้การระบุเอกสาร์มอนิกด้วยวิธี DQF ได้นำเสนอไว้แล้วในบทที่ 2) นอกจากนี้งานวิจัยได้ทำการวัดรูปคลื่นของกระแสไฟฟ้าในสายนิวทรัล ก่อนและหลังการขาดเชย ซึ่งแสดงไว้ดังรูปที่ 4.7 จากรูปดังกล่าวสังเกตได้ว่าภายหลังการขาดเชย ไม่ปรากฏกระแสไฟฟ้าในสายนิวทรัล



รูปที่ 4.5 ผลการทดสอบกรณีโหลดของวงจรเรียงกระแสเป็นความต้านทานอนุกรมกับตัวเหนี่ยวนำ
(สเกลในแกนนอนเท่ากับ 5 ms/div. แกนตั้งเท่ากับ 0.2 A/div.)



ก) ก่อนการซัดเชย

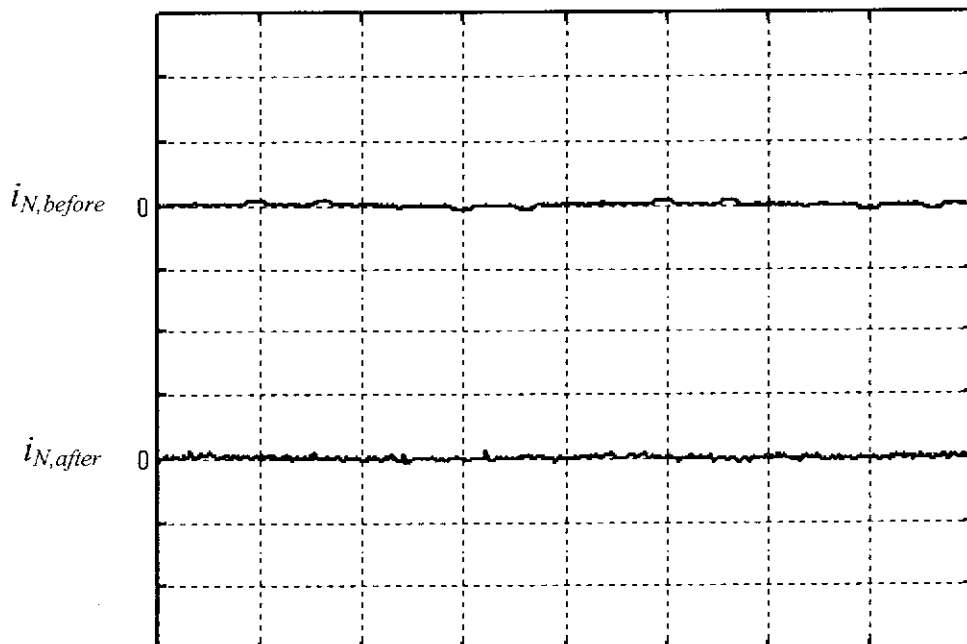


ข) หลังการซัดเชย

รูปที่ 4.6 สเปกตรัมของกระแสไฟฟ้าฟส บ ก่อนและหลังการซัดเชยกรณีโอลด์
ของวงจรเรียงกระแสเป็นความต้านทานต่ออนุกรมกับตัวเหนี่ยวนำ

ตารางที่ 4.2 ผลการทดสอบการกำจัดภารมอนิกในสภาวะที่โหลดของระบบเป็นวงจรเรียงกระแส
สามเฟสที่มีโหลดเป็นความต้านทานต่ออนุกรมกับตัวเหนี่ยวนำ

สภาวะของระบบ	%THD _i เฟส u	%THD _i เฟส v	%THD _i เฟส w	%THD _i เฉลี่ย	i_{su} (rms)	i_{sv} (rms)	i_{sw} (rms)	unbalance (%)
ก่อนการชดเชย	27.93	28.43	27.56	27.98	0.3	0.28	0.27	5.88
หลังการชดเชย	3.63	2.45	2.06	2.79	0.27	0.27	0.27	0



รูปที่ 4.7 รูปสัญญาณกระแสในสายนิวทรัลก่อนและหลังการชดเชยกรณีโหลดเป็นความต้านทาน
อนุกรมกับตัวเหนี่ยวนำ (สเกลในแกนนอนเท่ากับ 5 ms/div. แกนตั้งเท่ากับ 0.2 A/div.)

สรุป

ผลทดสอบในทางปฏิบัติ ของการใช้วิธี DQF ระบุเอกสารนี้ ภารมอนิก ควบคู่กับวงจรกรอง
กำลังแอกทีฟที่มีโครงสร้างเป็นวงจรขยายกำลัง ให้ผลลัพธ์ที่น่าพึงพอใจอย่างมาก ทึ้งในกรณีที่โหลด
ของวงจรเรียงกระแสสามเฟสเป็นความต้านทานเพียงอย่างเดียว และกรณีที่โหลดของวงจรเรียง
กระแสสามเฟสเป็นความต้านทานต่ออนุกรมกับตัวเหนี่ยวนำ โหลดที่ทดสอบดังกล่าวถือเป็นโหลด

แหล่งจ่ายกระแสไม่เป็นเชิงเส้น (current source nonlinear load, CSNL) เนื่องจากไม่ติดตั้งตัวเก็บประจุเพื่อการปรับเรียบแรงดัน ซึ่งก่อนการชดเชยค่า %THD_i เคลื่อนมีค่ามากกว่า IEEE Std. 519-1992 อุ่นมากทั้งสองกรณี ภายหลังการชดเชยตัวบ่งชี้ของกรองกำลังแอคทีฟ ปรากฏว่า รูปคลื่นกระแสไฟฟ้าที่แหล่งจ่ายกำลังไฟฟ้าหลักมีลักษณะใกล้เคียงความเป็นสัญญาณไชน์บิริสุทธิ์อย่างมาก และค่า %THD_i เคลื่อน หลังการชดเชยอยู่ในขอบเขตมาตรฐานของ IEEE Std. 519-1992 อาจกล่าวได้ว่า ในภาพรวมปริมาณสาร์มอนิกลดลงถึง 90 เปอร์เซ็นต์ นอกจากนี้ ภายหลังการชดเชยระบบจะกลับสู่ภาวะสมดุลอย่างสมบูรณ์ ถึงแม้ว่าก่อนการชดเชยระบบมีความไม่สมดุลเล็กน้อย ทั้งนี้เนื่องจากข้อดีของการระบุเอกสารลักษณ์สาร์มอนิกด้วยวิธี DQF ที่พิจารณาค่ากระแสซีเควนซ์ศูนย์ในการคำนวณค่ากระแสอ้างอิงให้กับวงจรกรองกำลังแอคทีฟ จากการอธิบายทั้งหมดข้างต้นจึงสรุปได้ว่า การกำจัดสาร์มอนิกด้วยวงจรกรองกำลังแอคทีฟที่สร้างขึ้น ประกอบกับการระบุเอกสารลักษณ์สาร์มอนิก ด้วยวิธี DQF ให้ผลการกำจัดสาร์มอนิกเป็นไปตามมาตรฐาน IEEE Std. 519-1992

บทที่ 5

สรุปและข้อเสนอแนะ

สรุป

งานวิจัยนี้ได้พัฒนาวิธีการระบุเอกลักษณ์สาร์มอนิกวิธีการใหม่ เพื่อหาปริมาณสาร์มอนิกที่เกิดขึ้นทั้งหมดในระบบไฟฟ้าสามเฟส ทั้งนี้เนื่องจาก การระบุเอกลักษณ์สาร์มอนิกเป็นขั้นตอนที่สำคัญที่สุด สำหรับการกำจัดสาร์มอนิกในระบบไฟฟ้า โดยเฉพาะอย่างยิ่งกับการทำงานของวงจรรองกำลังแอกทีฟและได้นำเสนอของวงจรรองกำลังแอกทีฟแบบใหม่ ที่มีโครงสร้างสองส่วนหลัก เป็นชุดระบุเอกลักษณ์สาร์มอนิกคู่วิธีการใหม่ของงานวิจัยนี้ กับวงจรขยายกำลังที่ให้การตอบสนองรวมเรียบมากที่สุดในทางความถี่ งานวิจัยเริ่มต้นจากการศึกษาค้นคว้าผลงานที่เคยปรากฏมา ก่อนแล้ว พบว่า การระบุเอกลักษณ์สาร์มอนิก แบ่งออกเป็น 2 กลุ่ม ด้วยกัน กลุ่มแรกเป็นการระบุเอกลักษณ์สาร์มอนิกที่สนใจ ใจผลรวมของสาร์มอนิกที่เกิดขึ้นทั้งหมดในระบบ โดยไม่แสดงรายละเอียด อันดับของสาร์มอนิก การระบุเอกลักษณ์สาร์มอนิกประเภทนี้หมายความว่า กระบวนการกำจัดสาร์มอนิกทั้งหมดในระบบ ส่วนกลุ่มที่สอง เป็นการระบุเอกลักษณ์สาร์มอนิกที่แสดงรายละเอียดอันดับของสาร์มอนิก ซึ่ง การระบุเอกลักษณ์สาร์มอนิกประเภทนี้หมายความว่า กระบวนการกำจัดสาร์มอนิกบางอันดับ แต่เนื่องจาก วัตถุประสงค์ของงานวิจัย ต้องการ กำจัดสาร์มอนิกทั้งหมดในระบบ ดังนั้นจึงมุ่งเน้นเพื่อศึกษาวิธีการ ระบุเอกลักษณ์สาร์มอนิกที่สนใจ ใจผลรวมของสาร์มอนิกที่เกิดขึ้นทั้งหมดในระบบเพียงอย่างเดียว และ จากการศึกษา พบว่า วิธีการระบุเอกลักษณ์สาร์มอนิกที่นิยมใช้ในอดีตมีหลายวิธี วิธีการที่มีผู้สนใจ ประยุกต์ใช้กันกว้างขวาง มี 2 วิธี ได้แก่ วิธีการหมุนแกน (วิธี DQ) และวิธีวิเคราะห์แบบฟูริเยร์วินโคล์ เลื่อน (วิธี SWFA) วิธีการดังกล่าว นี้ มีความน่าสนใจ ตรงที่รูปแบบ และหลักการของ การระบุเอกลักษณ์สาร์มอนิก มีลักษณะที่แตกต่างกัน โดยสิ้นเชิง นั่นคือ วิธี DQ ใช้หลักการหมุนแกน เพื่อหา ปริมาณสาร์มอนิกทั้งหมด บนแกน d และแกน q ส่วนวิธี SWFA ใช้หลักการคำนวณหาค่ากระแสสูตรฐาน ด้วยอนุกรมฟูริเยร์ ผสมผสานเทคนิค-winโคล์เลื่อน และเมื่อได้ค่ากระแสสูตรฐานแล้ว จะนำ ค่ากระแสสูตรฐาน ไปคำนวณหาปริมาณสาร์มอนิกที่เกิดขึ้นทั้งหมดในระบบอีกต่อหนึ่ง รายละเอียด ดังนี้ เกี่ยวกับวิธีการระบุเอกลักษณ์สาร์มอนิกที่วิธีข้างต้น ได้นำเสนอไว้ในบทที่ 2 การพัฒนาวิธีการ ระบุเอกลักษณ์สาร์มอนิกวิธีการใหม่ สำหรับงานวิจัยนี้ ตั้งต้นจากการศึกษา และทำความเข้าใจ เกี่ยวกับการระบุเอกลักษณ์สาร์มอนิกในอดีต ทั้งนี้เพื่อวิเคราะห์ถึงข้อดี และข้อเสียของการระบุเอกลักษณ์สาร์มอนิกแต่ละวิธี วิธีระบุเอกลักษณ์สาร์มอนิกวิธีใหม่ที่พัฒนาขึ้น เป็นการผสมผสานข้อดี ของวิธี DQ และวิธี SWFA เข้าไว้ด้วยกัน จึงเรียกวิธีนี้ว่า วิธี DQF (DQ axis with Fourier) ข้อดีของวิธี DQ ที่นำมาใช้ คือ มีการคำนวณค่ากระแสไฟฟ้าลำดับศูนย์ (zero sequence current) หรือ i_0 ซึ่ง กระแสสูตรจะเกิดขึ้นในระบบไฟฟ้าที่ไม่สมดุล เมื่อคำนึงกระแสสูตร จะส่งผลให้วงจร

กรองกำลังแยกที่ฟ้าสามารถนิคกระแสงด้วยได้อ่าย่างเหมาะสม เพื่อให้ระบบกลับมาอยู่ในสภาพสมดุลหลังกำจัดสาร์มอนิก ส่วนข้อดีของวิธี SWFA คือ การคำนวณเพื่อหาปริมาณสาร์มอนิก ตามหลักการของวิธี SWFA เมนະกับการใช้งานในเวลาจริง อีกทั้งมีความถูกต้องสูง ส่งผลให้การกำจัดสาร์มอนิกที่ใช้วิธี DQF ระบุเอกสารลักษณ์สาร์มอนิก ได้อ่ายางถูกต้อง ใช้เวลาคำนวณสั้น และส่งผลให้การกำจัดสาร์มอนิก ด้วยวิธี SWFA ระบุเอกสารลักษณ์สาร์มอนิก ได้แม่นยำ แต่ต้องใช้เวลาคำนวณสั้น แต่ต้องใช้เวลาคำนวณสั้น และส่งผลให้การกำจัดสาร์มอนิก ที่ใช้วิธี SWFA ระบุเอกสารลักษณ์สาร์มอนิก ซึ่งถ้าใช้การระบุเอกสารลักษณ์สาร์มอนิก ด้วยวิธี SWFA จะไม่สามารถทำให้ระบบกลับสู่สภาวะสมดุลภายหลังกำจัดสาร์มอนิก ได้เหมือนกับวิธี DQF นอกจากวิธี DQF เป็นการทดสอบข้อดีระหว่างวิธี DQ และวิธี SWFA แล้ว ยังเป็นวิธีที่แก้จุดด้อยของวิธี DQ และวิธี SWFA ด้วยเช่นกัน รายละเอียดค่า ๆ เกี่ยวกับการระบุเอกสารลักษณ์สาร์มอนิกด้วยวิธี DQF ได้นำเสนอไว้ในบทที่ 3

การเปรียบเทียบประสิทธิผลของการระบุเอกสารลักษณ์สาร์มอนิกด้วยวิธี DQF กับวิธีอื่น ๆ ในอดีตสองวิธี เปรียบเทียบโดยใช้ผลการจำลองสถานการณ์การกำจัดสาร์มอนิก ที่พิจารณาแบบจำลองของวงจรกรองเป็นแหล่งจ่ายกระแสอุคุณคติ ที่กำจัดสาร์มอนิกได้อ่ายางสมบูรณ์ ทั้งนี้เพื่อการศึกษาเปรียบเทียบสมรรถนะของวิธีการระบุเอกสารลักษณ์สาร์มอนิกเพียงอย่างเดียว โดยยังไม่คำนึงถึงข้อจำกัดในทางปฏิบัติของวงจรกรองกำลังแยกที่ฟ ดังนี้ชี้วัดสมรรถนะของวิธีการระบุเอกสารลักษณ์สาร์มอนิก แต่ละวิธี พิจารณาจากค่า %THD และค่า %unbalance หลังการกำจัดสาร์มอนิกเป็นสำคัญ การจำลองสถานการณ์ได้พิจารณาระบบ 3 รูปแบบที่มีโหลดไม่เป็นเชิงเส้นแตกต่างกัน ได้แก่ วงจรเรียงกระแสสามเฟสที่มีโหลดเป็นความต้านทานเพียงอย่างเดียว วงจรเรียงกระแสสามเฟสที่มีโหลดเป็นความต้านทานต่ออนุกรมกับตัวหนี่ยวน่า และระบบไฟฟ้าสามเฟสที่ต่อโหลดแบบไม่สมดุลในแต่ละเฟส โหลดไม่เป็นเชิงเส้นเหล่านี้ ไม่มีการติดตั้งตัวเก็บประจุในการปรับเรียนแรงดัน จึงขัดเป็นโหลดในกลุ่มแหล่งจ่ายกระแสไม่เป็นเชิงเส้น (current-source nonlinear load, CSNL) ที่ทำให้เกิดเฉพาะกระแสสาร์มอนิกในระบบเท่านั้น ทั้งนี้เนื่องจากงานวิจัยนี้มีกรอบของการศึกษาไว้ขึ้นในด้านการชดเชยกระแสสาร์มอนิกเป็นการโดยเฉพาะ จึงยังไม่พิจารณาผลเนื่องจากแรงดันสาร์มอนิก ซึ่งจากผลการจำลองสถานการณ์ พบว่า %THD, เฉลี่ยก่อนการชดเชยในกรณีที่โหลดของวงจรเรียงกระแสสามเฟสเป็นความต้านทานเพียงอย่างเดียว มีค่าเท่ากับ 28.65 เปอร์เซ็นต์ แต่ภายหลังการชดเชยที่ใช้วิธีการระบุเอกสารลักษณ์สาร์มอนิกด้วยวิธี DQ SWFA และ DQF มีค่า %THD, เฉลี่ยหลังการชดเชย เท่ากับ 1.02 0 และ 0 เปอร์เซ็นต์ ตามลำดับ และในกรณีที่โหลดของวงจรเรียงกระแสสามเฟสเป็นความต้านทานต่ออนุกรมกับตัวหนี่ยวน่า พบว่า %THD, เฉลี่ยก่อนการชดเชย มีค่าเท่ากับ 28.52 เปอร์เซ็นต์ แต่ภายหลังการชดเชยที่ใช้วิธี DQ SWFA และ DQF ในกรณีที่เอกสารลักษณ์สาร์มอนิก มีค่า %THD, เฉลี่ยหลังการชดเชย เท่ากับ 0.93 0 และ 0 เปอร์เซ็นต์ ตามลำดับ ระบบดังกล่าวสองระบบที่ใช้ในการ

จำลองสถานการณ์ ดังที่กล่าวข้างต้น เป็นระบบที่อยู่ในสภาวะสมดุลก่อนการขาดเชย แต่ในระบบสุดท้ายที่ใช้ในการจำลองสถานการณ์เป็นระบบไฟฟ้าสามเฟสที่ต่อกับโหลดไม่สมดุลในแต่ละเฟส โดยก่อนการขาดเชย %THD₁ เฉลี่ย และ %unbalance มีค่าเท่ากับ 28.39 และ 6.15 เปอร์เซ็นต์ ตามลำดับ และภายหลังการขาดเชย ที่ใช้วิธี DQ ในการระบุเอกสารกักษณ์ พนว่า %THD₁ เฉลี่ย และ %unbalance หลังการขาดเชยมีค่าเท่ากับ 2.84 และ 2.10 เปอร์เซ็นต์ ซึ่งยังปรากฏความไม่สมดุลอยู่บ้าง เล็กน้อย และถ้าใช้การระบุเอกสารกักษณ์ ชาร์มอนิกด้วยวิธี SWFA %THD₁ เฉลี่ยหลังการขาดเชยมีค่าเท่ากับ 1.76 เปอร์เซ็นต์ ซึ่งอยู่ในกรอบมาตรฐานของ IEEE Std.519-1992 แต่การระบุเอกสารกักษณ์ ชาร์มอนิกด้วยวิธี SWFA มีข้อเสีย คือ ไม่สามารถทำให้ระบบอยู่ในสภาวะสมดุลได้หลังการขาดเชย โดยค่า %unbalance หลังการขาดเชยมีค่าเท่ากับ 10.03 เปอร์เซ็นต์ วิธีการสุดท้ายของการระบุเอกสารกักษณ์ ชาร์มอนิก ที่ใช้ในการจำลองสถานการณ์ คือ วิธี DQF โดย %THD₁ เฉลี่ย และ %unbalance หลังการขาดเชยที่ใช้การระบุเอกสารก Kashen's ชาร์มอนิกด้วยวิธีนี้ มีค่าเท่ากับ 1.60 และ 0.16 เปอร์เซ็นต์ ตามลำดับ ซึ่งมีค่าน้อยที่สุดเมื่อเทียบกับสองวิธีข้างต้น ดังนั้นจากผลดังกล่าว จึงอาจสรุปได้ว่า วิธี DQF เป็นวิธีการระบุเอกสารก Kashen's ชาร์มอนิกที่ให้ประสิทธิผลสูงสุด เมื่อเปรียบเทียบกับวิธี DQ และ SWFA โดยวิธี DQF ที่พัฒนาขึ้นนี้สามารถให้ข้อมูลชาร์มอนิกที่มีความถูกต้องมากที่สุด นำไปสู่การกำจัดชาร์มอนิกที่เกิดขึ้นในระบบ ได้ดีที่สุด รวมถึงสามารถรักษาสภาวะสมดุลหลังการกำจัดชาร์มอนิกได้อย่างดี ผลการจำลองสถานการณ์ดังกล่าวทั้ง 3 ระบบ ได้รับการนำเสนอไว้ในบทที่ 3

งานวิจัยนี้ได้ดำเนินการทดสอบในทางปฏิบัติ เพื่อเป็นการยืนยันถึงสมรรถนะของวิธี DQF เมื่อใช้เป็นโครงสร้างหลักส่วนหนึ่งของวงจรกรองกำลังแยกทีฟ การทดสอบดำเนินการกับระบบที่มีโหลดไม่เป็นเชิงเส้นเป็นวงจรเรียงกระแสสามเฟสที่จ่ายกระแสไฟฟ้าให้ความต้านทาน และระบบที่มีโหลดไม่เป็นเชิงเส้นเป็นวงจรเรียงกระแสสามเฟสที่จ่ายกระแสไฟฟ้าให้ความต้านทานต่ออนุกรมกับตัวเหนี่ยวนำ ชาร์ดแวร์ที่ใช้ในการทดสอบประกอบด้วยอุปกรณ์ตรวจวัดแรงดันไฟฟ้า และกระแสไฟฟ้า วงจรปรุงแต่งสัญญาณ การ์ด DSP Texas Instruments-eZdsp™ F2812 ดำเนินงานที่พิกัด 60 วอตต์ อาร์เอ็มเอส 0.3 แอมเปอร์ อาร์เอ็มเอส ปริมาณชาร์มอนิกที่ได้จากการระบุเอกสารกษณ์นั้นอยู่ในรูปของกระแสอ้างอิงสามเฟส กระแสอ้างอิงเหล่านี้ถูกส่งออกมาทางวงจรแปลงสัญญาณดิจิตอลเป็นอะนalogที่มีความแยกชัด 16 บิต และส่งต่อให้วงจรกรองกำลังแยกทีฟ เพื่อสร้างกระแสแซคเชย ชาร์มอนิกให้กับระบบ วงจรกรองกำลังแยกทีฟที่ใช้ในงานวิจัยนี้ใช้วงจรขยายสัญญาณ 150 วัตต์ ที่อ้างอิงมาจากวารสาร Popular Electronics ยานที่เหมาะสมสำหรับการใช้งานวงจรกรองกำลังแยกทีฟนี้อยู่ในช่วง 10 เฮิรตซ์ถึง 20 กิโลเฮิรตซ์ ผลทดสอบในทางปฏิบัติ ของการใช้วงจรกรองกำลังแยกทีฟแบบใหม่นี้ที่มีวิธี DQF ระบุเอกสารก Kashen's ชาร์มอนิก ให้ผลลัพธ์ที่น่าพึงพอใจอย่างมาก ในกรณีที่โหลดของวงจรเรียงกระแสเป็นความต้านทานเพียงอย่างเดียว ค่า %THD₁ เฉลี่ยก่อนการขาดเชยมีค่าเท่ากับ 28.28% และในกรณีที่โหลดของวงจรเรียงกระแสเป็นความต้านทานต่ออนุกรมกับตัวเหนี่ยวนำ ค่า

%THD₁ เฉลี่ยก่อนการซัดเซยมีค่าเท่ากับ 27.98% ซึ่งค่าทั้งสองมีค่ามากกว่าที่กำหนดโดยมาตรฐาน IEEE Std.519-1992 แต่ภายหลังการซัดเซยด้วยวงจรกรองกำลังแยกทีฟ ปรากฏว่า รูปคลื่นกระแสไฟฟ้าที่เหลือจ่ายกำลังไฟฟ้าหลักมีลักษณะใกล้เคียงความเป็นสัญญาณไซน์บริสุทธิ์ทั้งสองกรณี และค่า %THD₁ เฉลี่ยหลังการซัดเซยในกรณีโหลดของวงจรเรียงกระแสเป็นความต้านทานเพียงอย่างเดียว และโหลดของวงจรเรียงกระแสเป็นความต้านทานต่ออนุกรมกับตัวเหนี่ยวนำมีค่าเท่ากับ 2.64 % และ 2.79% ตามลำดับ ซึ่งค่าดังกล่าวอยู่ในกรอบมาตรฐาน IEEE Std.519-1992 โดยในภาพรวม ปริมาณสาร์มอนิกลดลงถึง 90 เปอร์เซ็นต์ รายละเอียดต่าง ๆ เกี่ยวกับผลการทดสอบการกำจัดสาร์มอนิก ได้รับการนำเสนอไว้ในบทที่ 4

ข้อเสนอแนะ

1. ควรมีการเปรียบเทียบสมรรถนะของวงจรกรองกำลังแยกทีฟที่มีโครงสร้างเป็นวงจรขยายกำลัง กับวงจรกรองกำลังแยกทีฟที่มีโครงสร้างเป็นอินเวอร์เตอร์แบบแหล่งจ่ายแรงดัน การเปรียบเทียบอาจพิจารณาในหลาย ๆ ด้านด้วยกัน เช่น ราคาที่ใช้ในการสร้างวงจรกรองกำลังแยกทีฟ โดยพิจารณาเปรียบเทียบราคาที่พิจัดกำลังเท่ากัน ประสิทธิภาพการฉีดกระแสแซดเซยในการกำจัดสาร์มอนิก ซึ่งอาจคูจากค่า %THD₁ เฉลี่ย หลังการซัดเซย การเปรียบเทียบสมรรถนะของวงจรกรองกำลังแยกทีฟนี้ จะนำไปสู่การตัดสินใจในการเลือกใช้วงจรกรองกำลังแยกทีฟได้อย่างมีประสิทธิภาพ และเมื่อได้ข้อสรุปในการเปรียบเทียบข้างต้น ควรมีการพัฒนาวงจรกรองกำลังแยกทีฟต่อไป จนกว่าการฉีดกระแสแซดเซยเพื่อกำจัดสาร์มอนิก จะมีสมรรถนะใกล้เคียงกับวงจรกรองกำลังแยกทีฟอุดมคติ ที่สามารถกำจัดสาร์มอนิกได้ทั้งหมดอย่างสมบูรณ์

2. ควรพัฒนาอัลกอริทึมการระบุเอกสารลักษณ์สาร์มอนิกวิธี DQE ให้สามารถใช้งานร่วมกับวงจรกรองกำลังไบนาริค ที่เป็นการผสมผสานข้อดีระหว่างวงจรกรองกำลังพาสซีฟ และวงจรกรองกำลังแยกทีฟเข้าด้วยกัน อีกทั้งในปัจจุบัน ต้นทุนของวงจรกรองกำลังไบนาริคมีราคาถูกกว่าวงจรกรองกำลังแยกทีฟ จึงอาจส่งผลให้ในอนาคตมีการใช้วงจรกรองกำลังไบนาริคกันอย่างแพร่หลาย ด้วยเหตุนี้ จึงควรพัฒนาอัลกอริทึมการระบุเอกสารลักษณ์สาร์มอนิกวิธี DQE เพื่อหาปริมาณสาร์มอนิกในแต่ละอันดับได้ แบบแยกอันดับ เพื่อใช้งานร่วมกับวงจรกรองกำลังไบนาริคได้อย่างมีประสิทธิภาพ นอกจากนี้ ควรหาข้อสรุปเกี่ยวกับการใช้วงจรกรองกำลังแยกทีฟ ร่วมกับวงจรกรองกำลังพาสซีฟ ว่า วงจรกรองประเพณைใด เหมาะสมกับการกำจัดสาร์มอนิกอันดับใด ทั้งนี้อาจคูความหมายส่วนเกี่ยวกับต้นทุนการสร้างวงจรังกล่าวด้วย

បរវត្ថុក្រម

- Abdel-Rahim, N., and Shaltout, A. (2002). Operation of single-phase induction motor as two-phase motor. **IEEE 28th Annual Conf. on Industrial Electronics Society (IECON02)**. 2: 967-972.
- Arrillaga, J., and Watson, N. R. (2003). **Power System Harmonics**. England: John Wiley & Sons, Ltd.
- Chang, G. W., and Shee, T.-C. (2002). A Comparative Study of Active Power Filter Reference Compensation Approaches. **IEEE Power Engineering Society Summer Meeting**. 2: 1017– 1021.
- Cheng, P.T., Bhattacharya, S. and Divan, D. M. (1996). Hybrid Solutions For Improving Passive Filter Performance in High Power Applications. **IEEE Applied Power Electronics Conference and Exposition (APEC'96)**. 2: 911-917.
- El-Habrouk, M., and Darwish, M. K. (2001). Design and Implementation of a Modified Fourier Analysis Harmonic Current Computation Technique for Power Active Filter Using DSPs. **IEE Proc.-Electr. Power Appl.** 148 (1): 21-28.
- George, J. W. (2001). **Power Systems Harmonics: Fundamentals, Analysis and Filter Design**. New York: Springer.
- Gu, H. J., and Gyu, H. C. (1998). New Active Power Filter with Simple Low Cost Structure without Tuned Filters. **IEEE Power Electronics Specialists Conference (PESC'98)**. 1: 217-222.
- IEEE Std. 141-1993. (1993). **IEEE Recommended Practice for Electric Power Distribution For Industrial Plants**.
- IEEE Std. 519-1992. (1993). **IEEE Recommended Practices and Requirements for Harmonic Control in Electrical Power Systems**.
- Jung, G. H. and Cho, G. H. (1998). New Active Power Filter with Simple Low Cost Structure without Tuned Filters. **IEEE Power Electronics Specialists Conference (PESC'98)**. 1: 217-222.
- Laurene, V. F. (1999). **Applied numerical analysis using MATLAB**. United States of America: Prentice-Hall.

- Naewngerndee, N., Sukcharoen, C., and Kulworawanichpong, T. (2006). Simulation of Single-Phase Induction Motor Drives with Non-sinusoidal Power Supply. **WSEAS Transactions on Systems.** 5(5): 1029-1034.
- Ong, C. M. (1998). **Dynamic Simulation of Electric Machinery.** United States of America: Prentice-Hall.
- Takeda, M., Ikeda, K., Teramoto, A., and Aritsuka, T. (1988). Harmonic Current and Reactive Power Compensation with an Active Filter. **IEEE Power Electronics Specialists Conference (PESC '88).** 2: 1174-1179.

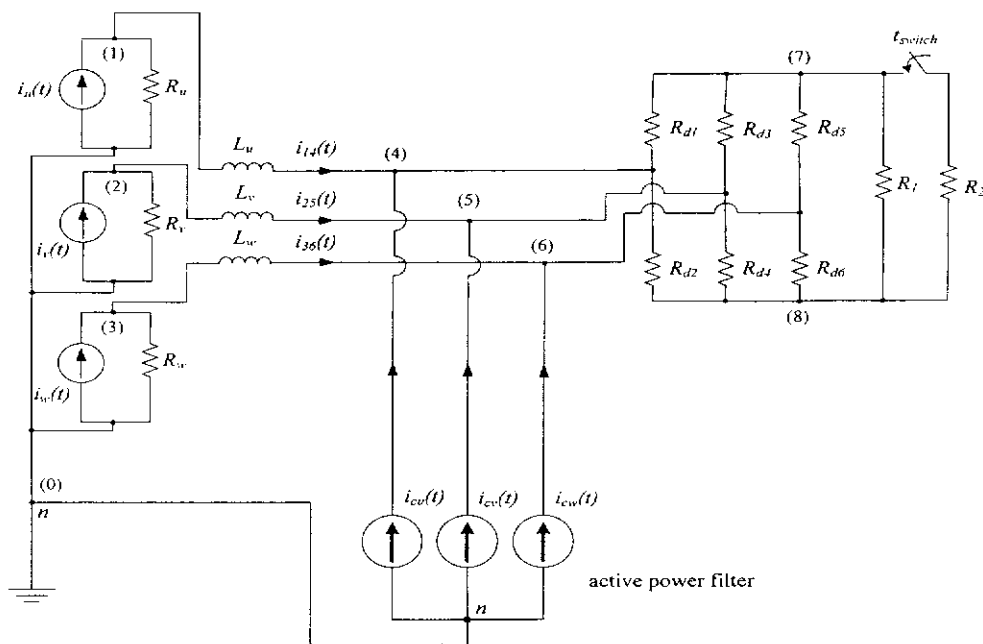
ภาคผนวก

ภาคผนวก ก.

แบบจำลองทางคณิตศาสตร์ของระบบที่มีวงจรเรียงกระแสสามเฟสต่อกับโหลดความต้านทานเพียงอย่างเดียว

ก.1 แบบจำลองทางคณิตศาสตร์ของระบบที่มีวงจรเรียงกระแสสามเฟสต่อกับโหลดความต้านทานเพียงอย่างเดียว

โครงสร้างของระบบที่กล่าวถึงในหัวข้อนี้ มีแผนภาพดังที่แสดงไว้ในรูปที่ ก.1 และจากรูปดังกล่าวเมื่อใช้กฎกระแสของเเคร์ชอฟฟ์ในการพิจารณาโโนดที่ (1) ถึง โโนดที่ (8) จะได้สมการโโนดังสมการที่ (ก-1) ถึง (ก-8) ตามลำดับต่อไปนี้



รูปที่ ก.1 แผนภาพวงจรไฟฟ้าของระบบที่มีวงจรเรียงกระแสต่อกับโหลดความต้านทาน

เพียงอย่างเดียว

$$\frac{v_1(t)}{R_u} + \frac{1}{L_u} \int_{t_0}^t [v_1(t) - v_4(t)] dt + i_{14}(t_0) = i_u(t) \quad (\text{ก-1})$$

$$\frac{v_2(t)}{R_v} + \frac{1}{L_v} \int_{t_0}^t [v_2(t) - v_5(t)] dt + i_{25}(t_0) = i_v(t) \quad (\text{ก-2})$$

$$\frac{v_3(t)}{R_w} + \frac{1}{L_w} \int_{t_0}^t [v_3(t) - v_6(t)] dt + i_{36}(t_0) = i_w(t) \quad (\text{ก-3})$$

$$\frac{1}{L_u} \int_{t_0}^t [v_4(t) - v_1(t)] dt + i_{41}(t_0) + \frac{v_4(t) - v_7(t)}{R_{d1}} + \frac{v_4(t) - v_8(t)}{R_{d2}} = i_{cu}(t) \quad (\text{ก-4})$$

$$\frac{1}{L_v} \int_{t_0}^t [v_5(t) - v_2(t)] dt + i_{52}(t_0) + \frac{v_5(t) - v_7(t)}{R_{d3}} + \frac{v_5(t) - v_8(t)}{R_{d4}} = i_{cv}(t) \quad (\text{ก-5})$$

$$\frac{1}{L_w} \int_{t_0}^t [v_6(t) - v_3(t)] dt + i_{63}(t_0) + \frac{v_6(t) - v_7(t)}{R_{d5}} + \frac{v_6(t) - v_8(t)}{R_{d6}} = i_{cw}(t) \quad (\text{ก-6})$$

$$-\frac{v_4(t)}{R_{d1}} - \frac{v_5(t)}{R_{d3}} - \frac{v_6(t)}{R_{d5}} + \left[\frac{1}{R_{d1}} + \frac{1}{R_{d3}} + \frac{1}{R_{d5}} + \frac{1}{R(t)} \right] v_7(t) - \frac{v_8(t)}{R(t)} = 0 \quad (\text{ก-7})$$

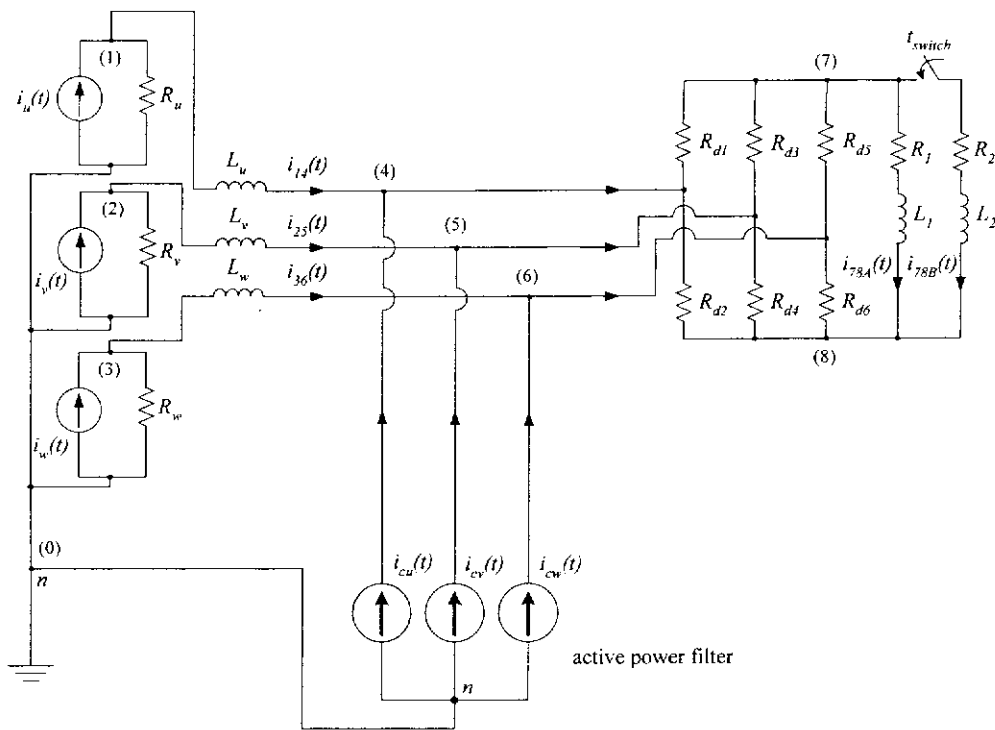
$$-\frac{v_4(t)}{R_{d2}} - \frac{v_5(t)}{R_{d4}} - \frac{v_6(t)}{R_{d6}} - \frac{v_7(t)}{R(t)} + \left[\frac{1}{R_{d2}} + \frac{1}{R_{d4}} + \frac{1}{R_{d6}} + \frac{1}{R(t)} \right] v_8(t) = 0 \quad (\text{ก-8})$$

จากสมการที่ (ก-1) ถึง (ก-8) ข้างต้น $v_i(t)$ คือ แรงดันไฟฟ้าที่โคนด i โดยที่ i มีค่าตั้งแต่ 1 ถึง 8 ในขณะที่ $i_{jk}(t)$ คือ กระแสไฟฟ้าที่ไหลจากโคนด j ไปโคนด k โดยที่ j และ k มีค่าตั้งแต่ 1 ถึง 8 เช่นเดียวกัน ส่วนค่า $R(t)$ ในสมการที่ (ก-7) และ (ก-8) เป็นค่าความต้านทานที่ขึ้นอยู่กับเวลา ตามจังหวะการทำงานของสวิตช์ โดยที่ $R(t) = R_1 \Omega$ ในช่วงเวลา $0 < t \leq t_{switch}$ วินาที และ $R(t) = R_1 R_2 / (R_1 + R_2) \Omega$ ในช่วงเวลา $t_{switch} < t \leq t_f$ วินาที โดยที่ t_f เป็นค่าตัวเลขที่เป็นค่าไฟในตัว ใช้กำหนดเวลาที่สิ้นสุดการจำลองสถานการณ์

ก.2 แบบจำลองทางคณิตศาสตร์ของระบบที่มีวงจรเรียงกระแสสามเฟสต่อ กับ โหลดความต้านทานที่ต่ออนุกรมกับตัวหนี่ยวนำ

โครงสร้างของระบบที่กล่าวถึงในหัวข้อนี้ มีแผนภาพดังที่แสดงไว้ในรูปที่ ก.2 ซึ่งสังเกตได้ว่าการต่อเขื่อนอุปกรณ์ต่าง ๆ ของโคนดที่ (1) ถึงโคนดที่ (6) จะเหมือนกับการต่อในวงจรไฟฟ้าของระบบในรูปที่ ก.1 ทุกประการ เพราะฉะนั้นเมื่อใช้กู้กระแสของเครื่องซอฟฟ์ในการพิจารณาโคนดที่

(1) ถึง โนดที่ (6) สำหรับระบบในรูปที่ ก.2 จะได้สมการ ในคดีสมการที่ (ก-1) ถึง (ก-6) ซึ่ง
เหมือนกับการพิจารณาระบบในรูปที่ ก.1 แต่ข้อแตกต่างระหว่างระบบที่ ก.1 และ ก.2 คือ ระหว่าง
โนดที่ (7) และ โนดที่ (8) ระบบในรูปที่ ก.1 มีความต้านทานเพียงอย่างเดียว แต่ในรูปที่ ก.2 มีความ



รูปที่ ก.2 แผนภาพวงจรไฟฟ้าของระบบที่มีวงจรเรียงกระแสต่อ กับ โหลดความต้านทาน
ที่ต่ออนุกรมกับตัวเหนี่ยวนำ

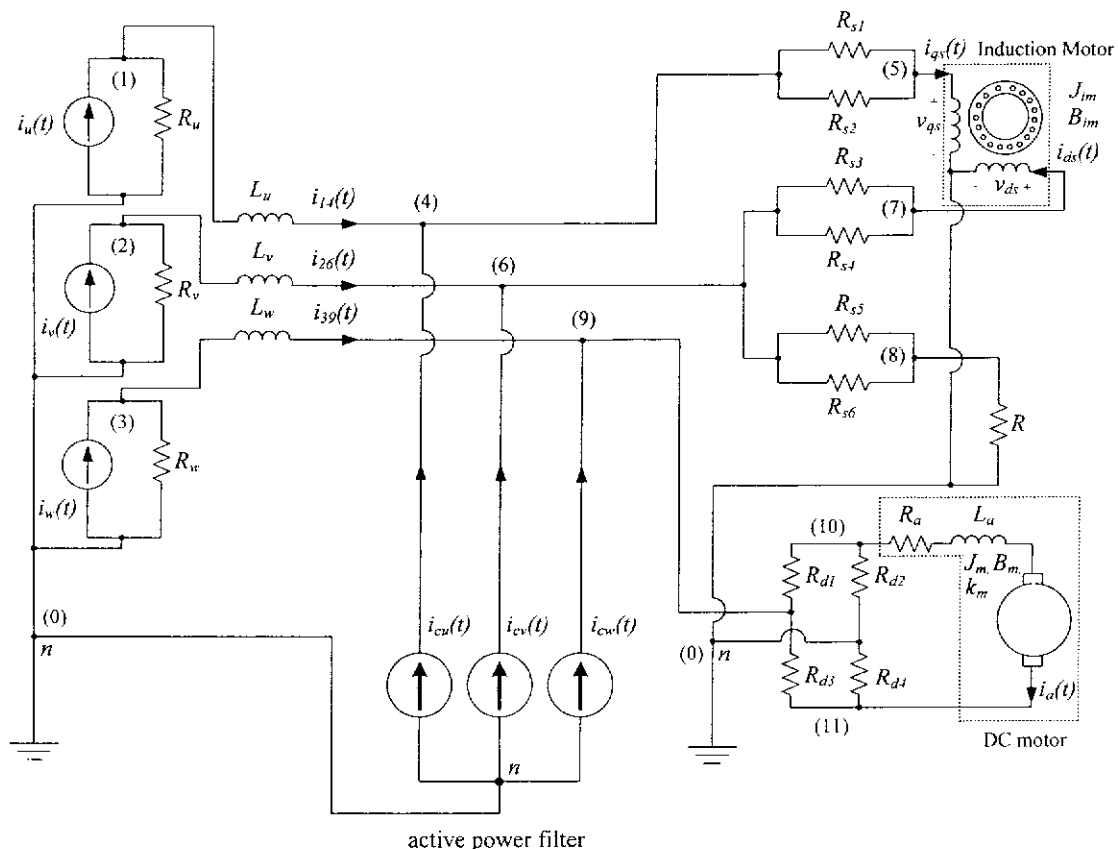
ต้านทานค่าอนุกรมกับตัวเหนี่ยวนำ ดังนั้นมีใช้กฎกระแสของเคอร์ชอฟฟ์ในการพิจารณาโนด
ที่ (7) และ โนดที่ (8) ของระบบรูปที่ ก.2 จะได้ดังสมการที่ (ก-9) และ (ก-10) ตามลำดับ

$$\frac{v_7(t) - v_4(t)}{R_{d1}} + \frac{v_7(t) - v_5(t)}{R_{d3}} + \frac{v_7(t) - v_6(t)}{R_{d5}} + i_{78A}(t) + i_{78B}(t) = 0 \quad (\text{ก-9})$$

$$\frac{v_8(t) - v_4(t)}{R_{d2}} + \frac{v_8(t) - v_5(t)}{R_{d4}} + \frac{v_8(t) - v_6(t)}{R_{d6}} - i_{78A}(t) - i_{78B}(t) = 0 \quad (\text{ก-10})$$

ก.3 แบบจำลองทางคณิตศาสตร์ของระบบไฟฟ้าสามเฟสที่ต่อโหลดแบบไม่สมดุลในแต่ละเฟส

โครงสร้างของระบบที่กล่าวถึงในหัวข้อนี้ มีแผนภาพดังที่แสดงไว้ในรูปที่ ก.3 และจากรูป ดังกล่าวเมื่อใช้กฎกระแสของเคอร์ชอฟฟ์ในการพิจารณาโโนดที่ (1) ถึงโโนดที่ (11) สามารถสร้าง สมการโโนดได้ดังสมการที่ (ก-11) ถึง (ก-21) ตามลำดับต่อไปนี้



รูปที่ ก.3 แผนภาพทางวงจรไฟฟ้าระบบสามเฟสที่โหลดไม่สมดุลในแต่ละเฟส

$$\frac{v_1(t)}{R_u} + \frac{1}{L_u} \int_{t_0}^t [v_1(t) - v_4(t)] dt + i_{14}(t_0) = i_u(t) \quad (\text{ก-11})$$

$$\frac{v_2(t)}{R_v} + \frac{1}{L_v} \int_{t_0}^t [v_2(t) - v_6(t)] dt + i_{26}(t_0) = i_v(t) \quad (\text{ก-12})$$

$$\frac{v_3(t)}{R_w} + \frac{1}{L_w} \int_{t_0}^t [v_3(t) - v_9(t)] dt + i_{39}(t_0) = i_w(t) \quad (\text{ก-13})$$

$$\frac{1}{L_u} \int_{t_0}^t [v_4(t) - v_1(t)] dt + i_{41}(t_0) + \frac{v_4(t) - v_5(t)}{R_{s1}} + \frac{v_4(t) - v_5(t)}{R_{s2}} = i_{cu}(t) \quad (\text{n-14})$$

$$\frac{v_5(t) - v_4(t)}{R_{s1}} + \frac{v_5(t) - v_4(t)}{R_{s2}} + i_{qs}(t) = 0 \quad (\text{n-15})$$

$$\begin{aligned} & \frac{1}{L_v} \int_{t_0}^t [v_6(t) - v_2(t)] dt + i_{62}(t_0) + \frac{v_6(t) - v_7(t)}{R_{s3}} \\ & + \frac{v_6(t) - v_7(t)}{R_{s4}} + \frac{v_6(t) - v_8(t)}{R_{s5}} + \frac{v_6(t) - v_8(t)}{R_{s6}} = i_{cv}(t) \end{aligned} \quad (\text{n-16})$$

$$\frac{v_7(t) - v_6(t)}{R_{s3}} + \frac{v_7(t) - v_6(t)}{R_{s4}} + i_{ds}(t) = 0 \quad (\text{n-17})$$

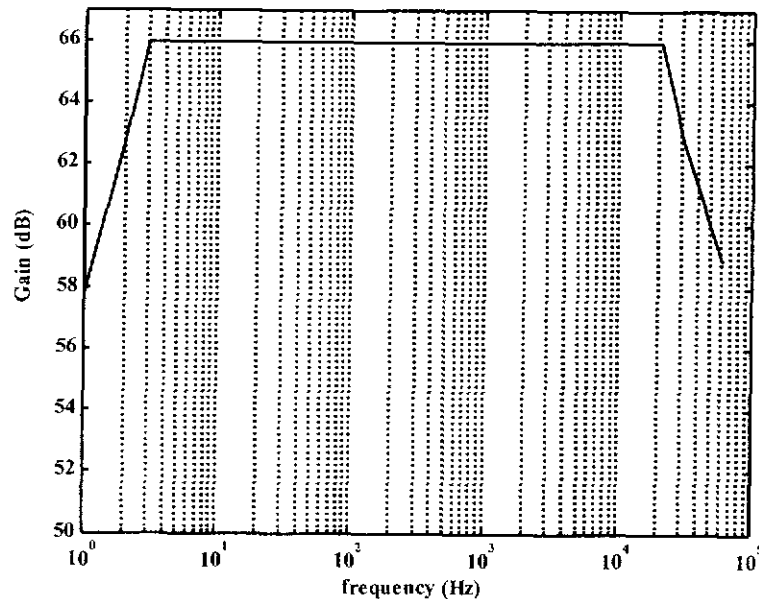
$$\frac{v_8(t) - v_6(t)}{R_{s5}} + \frac{v_8(t) - v_6(t)}{R_{s6}} + \frac{v_8(t)}{R} = 0 \quad (\text{n-18})$$

$$\frac{1}{L_w} \int_{t_0}^t [v_9(t) - v_3(t)] dt + i_{93}(t_0) + \frac{v_9(t) - v_{10}(t)}{R_{d1}} + \frac{v_9(t) - v_{11}(t)}{R_{d3}} = i_{cw}(t) \quad (\text{n-19})$$

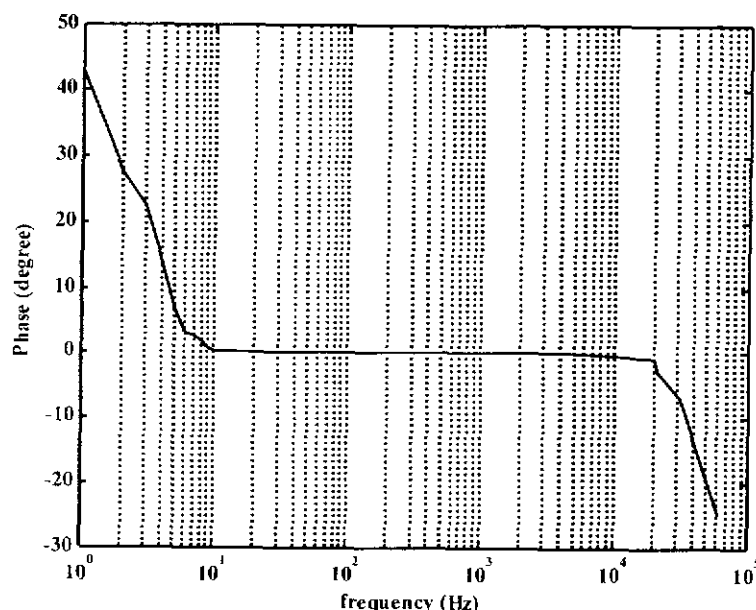
$$\frac{v_{10}(t) - v_9(t)}{R_{d1}} + \frac{v_{10}(t)}{R_{d2}} + i_a(t) = 0 \quad (\text{n-20})$$

$$\frac{v_{11}(t) - v_9(t)}{R_{d3}} + \frac{v_{11}(t)}{R_{d4}} - i_a(t) = 0 \quad (\text{n-21})$$

ภาคผนวก ช.
การตอบสนองทางความถี่ของวงจรขยายกำลัง



ก) อัตราข่าย (เดซิเบล)



ข) เฟส (องศา)

รูปที่ ช.1 กราฟการตอบสนองทางความถี่ของวงจรขยายกำลัง

ภาคผนวก ค.

บทความที่ได้รับการตีพิมพ์เผยแพร่และผลงานการจดสิทธิบัตร

รายชื่อบทความวิจัยที่ได้รับการตีพิมพ์เผยแพร่ในระดับนานาชาติ

1. K-L. Areerak, T. Kulworawanichpong, and S. Sujitjorn, “Analytical Approach for Three-Phase, Four-Wire Active Power Filter Modeling”, Proc. The 2005 Electrical Engineering/Electronics, Computer, Telecommunications, and Information Technology (ECTI) International Conference, Pattaya, Thailand, May 12-13, vol. 1, 2005, pp. 48-51.
2. T. Kulworawanichpong, K-L. Areerak, K-N. Areerak, and S. Sujitjorn, “Harmonic Identification for Active Power Filters Via Adaptive Tabu Search Method”, LNCS (Lecture Notes in Computer Science), Springer-Verlag Heidelberg, 2004 (online).
3. T. Kulworawanichpong, K-L. Areerak, and S. Sujitjorn, “Active Power Filter Design by a Simple Heuristic Search”, LNCS (Lecture Notes in Computer Science), Springer-Verlag Heidelberg, 2004 (online).

รายการจดสิทธิบัตร

1. สราวุฒิ สุจิตร และ กองพล อารีรักษ์, “วิธีการออกแบบตัวเหนี่ยวน้ำ ตัวเก็บประจุ และ ความถี่ในการสวิตซ์ของ ไอีบีที สำหรับวงจรกรองกำลังแอกทีฟที่ควบคุมกระแสด้วยวิธีอิสเตอริชีส”, 25 มีนาคม 2548, เลขที่คำขอ 099011.

ประวัติผู้วิจัย

นราภรณ์ ดร. สราญชี สุจิตชร สำเร็จการศึกษาวิศวกรรมไฟฟ้า (เกียรตินิยมอันดับ 1) จากโรงเรียนนายเรืออากาศ เมื่อ พ.ศ. 2527 และ PhD (Electronic and Electrical Engineering) จาก University of Birmingham, UK เมื่อ พ.ศ. 2530 ปัจจุบัน เป็นศาสตราจารย์ประจำสาขาวิชา วิศวกรรมไฟฟ้า สำนักวิชาวิศวกรรมศาสตร์ มหาวิทยาลัยเทคโนโลยีสุรนารี มีความชำนาญด้าน control systems, applied signal processing, AI มีความชำนาญพิเศษด้านเครื่องสายไทย การเลี้ยงและฝึกสุนัข มีผลงานหนังสือและตำรา 3 รายการ บทความวิจัยกว่า 100 รายการ และได้จดสิทธิบัตรกว่า 12 รายการ